

数学物理方法 (复变函数 + 数学物理方程)

404-NOT-FOUND

April 1, 2025

1 解析函数的性质

1.1 极限, 连续, 可导与可微

极限: 若函数 $f(z)$ 在 z_0 的空心邻域有定义, 若存在复数 $A, \forall \varepsilon > 0, \exists \delta(\varepsilon) > 0$, 使得 $0 < |z - z_0| < \delta$ 恒有 $|f(z) - A| < \varepsilon$, 则称

$$\lim_{z \rightarrow z_0} f(z) = A \quad (1-1)$$

连续: 若函数 $f(z)$ 在 z_0 的邻域有定义, 且 $\lim_{z \rightarrow z_0} f(z) = f(z_0)$, 称作 $f(z)$ 在 z_0 连续。

复变函数类似于二元函数, 因此邻域的概念是二维的。而正因如此, 在有界闭区域内连续的函数 $f(z)$ 有两条重要的性质:

性质 1: 有界, 且上下界在区域内可达;

性质 2: 在区域内一致连续。

可导: 若 $w = f(z)$ 是区域内的单值函数, 如果区域内有某点 z , 且:

$$\lim_{\Delta z \rightarrow 0} \frac{\Delta w}{\Delta z} = \lim_{\Delta z \rightarrow 0} \frac{f(z + \Delta z) - f(z)}{\Delta z} \quad (1-2)$$

存在, 我们称 $f(z)$ 在 z 点可导, 记作 $f'(z)$ 。在实数域的求导公式仍然适用。

复变函数类似于二元函数, 因此邻域的概念是二维的, 因此 Δz 的趋近方向也是任意的。我们考虑 $\Delta x = 0, \Delta y \rightarrow 0$ 与 $\Delta y = 0, \Delta x \rightarrow 0$ 两种方向:

$$\begin{aligned} f'(z) &= \lim_{\Delta x \rightarrow 0} \frac{\Delta u + i\Delta v}{\Delta x} = \frac{\partial u}{\partial x} + i \frac{\partial v}{\partial x} \\ f'(z) &= \lim_{\Delta y \rightarrow 0} \frac{\Delta u + i\Delta v}{i\Delta y} = \frac{\partial u}{\partial y} - i \frac{\partial v}{\partial y} \end{aligned}$$

两式必须相等, 因此得到了**可导的必要条件**: Cauchy-Riemann 条件:

$$\frac{\partial u}{\partial x} = \frac{\partial v}{\partial y} \quad \frac{\partial v}{\partial x} = -\frac{\partial u}{\partial y} \quad (1-3)$$

可导的充分条件还要要求四个偏导数存在且连续!

1.2 解析函数

函数在区域内**处处可导**就说函数在区域内**解析**。由 Cauchy-Riemann 条件可以知道, $u(x, y), v(x, y)$ 不是独立的, 我们知道其中一个就可以求出另一个。一种求法是直接求偏导, 然后利用 Cauchy-

Riemann 条件得到另一函数的偏导, 再积分回去; 另一种是利用线积分:

$$\begin{aligned} dv &= \frac{\partial v}{\partial x} dx + \frac{\partial v}{\partial y} dy = -\frac{\partial u}{\partial y} dx + \frac{\partial u}{\partial x} dy \\ v(x, y) &= \int^{(x,y)} \frac{\partial u}{\partial y} dx + \frac{\partial u}{\partial x} dy \end{aligned} \quad (1-4)$$

而根据 Cauchy—Riemann 条件, 又可以证明:

$$\frac{\partial^2 u}{\partial^2 x} + \frac{\partial^2 u}{\partial^2 y} = 0 \quad \frac{\partial^2 v}{\partial^2 x} + \frac{\partial^2 v}{\partial^2 y} = 0 \quad (1-5)$$

因此 $u(x, y), v(x, y)$ 满足 Laplace 方程, 它们是调和函数。

函数在 z_0 解析: 函数在包含 z_0 的实心邻域处处可导。 $z = \infty$ 要做变换 $z = 1/t$ 来判断 $t = 0$ 是否解析。

1.3 习题补充

例 1: 判断下面两个函数哪里可导, 哪里解析。

$$(1) f(z) = \sin x \cosh y + i \cosh x \sin y$$

$$(2) f(z) = \frac{1}{z^2 + 1}$$

解 (1):

$$\begin{aligned} \frac{\partial u}{\partial x} &= \cos x \cosh y & \frac{\partial v}{\partial y} &= \cosh x \cosh y \\ \frac{\partial u}{\partial y} &= \sin x \sinh y & \frac{\partial v}{\partial x} &= -\sinh x \sin y \end{aligned}$$

全平面可导, 全平面满足 Cuachy-Riemann 条件, 因此全平面解析。

(2) 奇点显然是 $\pm i$, 但是用 Cauchy—Riemann 证明太麻烦。我们直接用可导的定义:

$$\lim_{\Delta z \rightarrow 0} \frac{f(z + \Delta z) - f(z)}{\Delta z} = \lim_{\Delta z \rightarrow 0} \frac{-2z - \Delta z}{[(z + \Delta z)^2 + 1](z^2 + 1)} = \frac{-2z}{(z^2 + 1)}$$

当 $z \neq \pm i$, 极限存在。

例 2: 我们做如下代换:

$$\begin{aligned} u(x, y) + iv(x, y) &= u\left(\frac{z + z^*}{2}, \frac{z - z^*}{2i}\right) + iv\left(\frac{z + z^*}{2}, \frac{z - z^*}{2i}\right) = f(z, z^*) \\ \text{证明: } \frac{\partial f(z, z^*)}{\partial z^*} &= 0 \end{aligned}$$

proof: 本题考查的是复合函数的求偏导法则。

$$\begin{aligned} \frac{\partial f(z, z^*)}{\partial z^*} &= \frac{\partial(u + iv)}{\partial x} \frac{\partial x}{\partial z^*} + \frac{\partial(u + iv)}{\partial y} \frac{\partial y}{\partial z^*} \\ &= \frac{1}{2} \left(\frac{\partial u}{\partial x} + i \frac{\partial v}{\partial x} \right) - \frac{1}{2i} \left(\frac{\partial u}{\partial y} + i \frac{\partial v}{\partial y} \right) \\ &= \frac{1}{2} \left[\left(\frac{\partial u}{\partial x} - \frac{\partial v}{\partial y} \right) + i \left(\frac{\partial u}{\partial y} + \frac{\partial v}{\partial x} \right) \right] \\ &= 0 \end{aligned}$$

例 3: 已知 $f(z)$ 是解析函数, 根据以下条件求 $f(z)$:

$$(1)v(x, y) = e^{-x}(x \sin y - y \cos y) \quad (2)u + v = x^2 - y^2 - 2xy$$

解: (1) 利用线积分法, 注意最后一步怎么整理成关于 z 的方程即可。

$$\begin{aligned} \frac{\partial v}{\partial x} &= -e^{-x}(x \sin y - y \cos y) + e^{-x}(\sin y) = e^{-x}((1-x) \sin y + y \cos y) \\ \frac{\partial v}{\partial y} &= e^{-x}(-\cos y + y \sin y + x \cos y) = e^{-x}((x-1) \cos y + y \sin y) \\ u(x, y) &= \int^{(x,y)} \frac{\partial v}{\partial y} dx - \frac{\partial v}{\partial x} dy \\ &= -e^{-x}(x \cos y + y \sin y) + C \\ f(z) &= u + iv|_{x=z, y=0} = -ze^{-z} + C \end{aligned}$$

(2) 直接对式子求偏导, 利用 Cauchy-Riemann 条件列方程即可:

2 复变函数的积分

2.1 复变函数积分的引入

从不定积分的角度理解, 复变函数积分同样是分割取极限:

$$\sum_{k=1}^n f(\alpha_k)(z_k - z_{k-1}) = \sum_{k=1}^n f(\alpha_k) \Delta z_k \quad (2-1)$$

也就相当于:

$$\int_c f(z) dz = \lim_{\max |\Delta z_k| \rightarrow 0} \sum_{k=1}^n f(\alpha_k) \Delta z_k \quad (2-2)$$

同时由于 $z = x + iy$, 我们可以把积分式拆解为二元积分:

$$\begin{aligned} \int_c f(z) dz &= \int_c (u + iv)(dx + idy) \\ &= \int_c (u dx - v dy) + i \int_c (u dy + v dx) \end{aligned} \quad (2-3)$$

与实函数的积分一样, 复变函数的不定积分也有以下几条性质:

$$\int_c (f_1 + f_2 + \dots + f_n) dz = \int_c f_1 dz + \int_c f_2 dz + \dots + \int_c f_n dz \quad (2-4)$$

$$\int_{c_1} f dz + \int_{c_2} f dz + \dots + \int_{c_n} f dz = \int_{(c_1 + \dots + c_n)} f dz \quad (2-5)$$

$$\int_{C^-} f(z) dz = - \int_C f(z) dz \quad \text{其中 } C^- \text{ 是 } C \text{ 的反方向} \quad (2-6)$$

$$\left| \int_c f(z) dz \right| \leq \int_c |f(z)| |dz| \quad (2-7)$$

$$\left| \int_c f(z) dz \right| \leq ML \quad M \text{ 为积分值的模的最大值, } L \text{ 是积分路径长度} \quad (2-8)$$

这里从 2-7 推理到 2-8 并不难, 而 2-7 则是类似于实函数中不定积分的相似法则, 这里我们来讨论一下 $|dz|$ 到底意味着什么。显然这是模长的含义, 所以我们习惯于做 $z = re^{i\theta}$ 的代换, 这样我们可以发现, $|dz| = |ire^{i\theta}d\theta| = rd\theta$, 这样的代换是非常重要的, 我们之后的的一道例题可以感受一下这样代换。

2.2 Cauchy 引理

我们先看一下引理内容: 若 $f(z)$ 在单连通区域 \hat{G} 中解析, 则沿该区域任意一个分段光滑围道 C 有:

$$\oint_C f(z)dz = 0 \quad (2-9)$$

当这个区域内有奇点的时候, 我们需要在奇点周围挖洞, 构造反向围道, 这和我们在 Green 公式中学到的方法一致。原式可以写成 $\sum_{i=1}^n \oint_{C_i} f(z)dz$, 且所有的积分围道走向都相同。因此我们也可得到推论: 单连通区域内解析的函数, 积分值与积分路径无关。我们定义复变函数不定积分的原函数: 若 $f(z)$ 在单连通区域内解析, 则 $F(z) = \int_{z_0}^z f(z)dz$ 也解析, 且 $F'(z) = f(z)$, 现在我们来证明原函数的解析性:

proof: 由于 $F(z) = \int_{z_0}^z f(\varepsilon)d\varepsilon$, 我们计算:

$$\frac{\Delta F}{\Delta z} = \frac{F(z + \Delta z) - F(z)}{\Delta z} = \frac{1}{\Delta z} \int_z^{z+\Delta z} f(\varepsilon)d\varepsilon$$

因此我们进一步得到

$$\begin{aligned} \left| \frac{\Delta F}{\Delta z} - f(z) \right| &= \left| \frac{1}{\Delta z} \int_z^{z+\Delta z} f(\varepsilon)d\varepsilon - f(z) \right| \\ &= \left| \frac{1}{\Delta z} \int_z^{z+\Delta z} [f(\varepsilon) - f(z)]d\varepsilon \right| \\ &\leq \frac{1}{|\Delta z|} |f(\varepsilon) - f(z)| |d\varepsilon| \quad (\text{这一步用到了结论 2-7}) \end{aligned}$$

由于 $f(z)$ 连续, 因此对 $\forall \varepsilon > 0$, $\exists \delta > 0$, 使得 $|\varepsilon - z| < \varepsilon$ 时, $|f(\varepsilon) - f(z)| < \beta$ (连续性的定义), 因此有:

$$\text{原式} \leq \frac{\beta |\Delta z|}{|\Delta z|} = \beta$$

证毕。

2.3 两个引理与 Cauchy 积分

小圆弧定理: 若函数 $f(z)$ 在 $z = a$ 的邻域内连续, 且当 $\theta_1 \leq \arg(z - a) \leq \theta_2, |z - a| \rightarrow 0$ 时, $(z - a)f(z) \xrightarrow{\text{一致趋近}} k$, 则有:

$$\lim_{\delta \rightarrow 0} \int_C f(z)dz = ik(\theta_2 - \theta_1) \quad (2-10)$$

大圆弧定理: 若函数 $f(z)$ 在 $z = \infty$ 的邻域内连续, 且当 $\theta_1 \leq \arg(z - a) \leq \theta_2, z \rightarrow \infty$ 时, $zf(z) \xrightarrow{\text{一致趋近}} K$, 则有:

$$\lim_{\delta \rightarrow 0} \int_C f(z)dz = iK(\theta_2 - \theta_1) \quad (2-11)$$

这里我们不做证明。具体可参考课本，不作为证明重点。

Cauchy 积分：

版本 1 (有界版本)：设 $f(z)$ 是 \hat{G} 内的单值解析函数， \hat{G} 的边界 C 分段光滑， a 为区域内一点，则：

$$f(a) = \frac{1}{2\pi i} \oint_C \frac{f(z)}{z-a} dz \quad (2-12)$$

我们来对这个定理进行证明：

proof: 在区域 G 内作围道圆 $|z-a| < r$ ，则

$$\begin{aligned} \oint_{|z-a|<r} \frac{f(z)dz}{z-a} &= \lim_{r \rightarrow 0} \oint_{|z-a|=r} \frac{f(z)dz}{z-a} \\ \because \lim_{z \rightarrow a} \frac{f(z)}{z-a} \times (z-a) &= f(a) \\ \therefore \lim_{r \rightarrow 0} \oint_{|z-a| \rightarrow r} \frac{f(z)dz}{z-a} &= if(a)(2\pi - 0) \end{aligned}$$

证毕。这里第二步到第三步使用了小圆弧定理。而 Cauchy 有界区域我们选择圆形区域 $|z-a| = Re^{i\theta}$, 2-12 进一步化简成：

$$\begin{aligned} f(a) &= \frac{1}{2\pi i} \int_0^{2\pi} \frac{f(a + Re^{i\theta})}{Re^{i\theta}} iRe^{i\theta} d\theta \\ &= \frac{1}{2\pi} \int_0^{2\pi} f(a + Re^{i\theta}) d\theta \end{aligned} \quad (2-13)$$

2-13 表明，这一点的值就是绕其一周的圆上值的平均。

版本 2 (无界版本)：若函数 $f(z)$ 在 C 上/外解析， $z \rightarrow \infty, f(z) \xrightarrow{\text{一致趋近}} 0$ ，则 2-12 成立。这里证明省略。

2.4 高阶导数

定理：若 $f(z)$ 在 \hat{G} 解析，则 G 内 $f(z)$ 的任意阶导数 $f^n(z)$ 存在，且

$$f^{(n)}(z) = \frac{n!}{2\pi i} \oint_C \frac{f(\varepsilon)}{(\varepsilon-z)^{n+1}} d\varepsilon \quad (2-14)$$

证明过程如下：

$$\begin{aligned} f'(z) &= \lim_{h \rightarrow 0} \frac{f(z+h) - f(z)}{h} \\ &= \lim_{h \rightarrow 0} \frac{1}{2\pi i} \frac{1}{h} \oint_C \left[\frac{f(\varepsilon)}{\varepsilon-z-h} - \frac{f(\varepsilon)}{\varepsilon-z} \right] dz \quad \text{有界 Cauchy 定理} \\ &= \lim_{h \rightarrow 0} \frac{1}{2\pi i} \oint_C \frac{f(\varepsilon)}{(\varepsilon-z-h)(\varepsilon-z)} dz \\ &= \frac{1}{2\pi i} \oint_C \frac{f(\varepsilon)}{(\varepsilon-z)(\varepsilon-z)} dz \quad \text{?????} \end{aligned}$$

最后一步我们把积分和取极限互换了位置，这需要我们证明其合理性。

$$\begin{aligned} & \left| \lim_{h \rightarrow 0} \frac{1}{2\pi i} \frac{1}{h} \oint_C \left[\frac{f(\varepsilon)}{\varepsilon - z - h} - \frac{1}{2\pi i} \oint_C \frac{f(\varepsilon)}{(\varepsilon - z)(\varepsilon - z)} dz \right] \right| \\ &= \frac{|h|}{2\pi} \left| \oint_C \frac{f(\varepsilon) d\varepsilon}{(\varepsilon - z - h)(\varepsilon - z)^2} \right| \\ &\leq \frac{|h|}{2\pi} \frac{ML}{(\delta - h)\delta^2} \end{aligned}$$

而当 $|h| \rightarrow 0, \frac{ML}{(\delta - h)\delta^2}$ 有界，故右边整体趋近于 0，证毕。最后一步使用了 2-8。

我们发现，复变函数中只要解析，所有阶数的导数均存在，这与实函数中不同。这是因为，复变函数“类似”与二重积分，处处解析类似于“可微”而不是“可偏导”，复变函数解析的效果更强。复变函数的导数在解决一些积分问题也有奇效（因为 Cauchy 积分要求分母是一次项，高阶导数可以解决 n 次项的问题）

由 Cauchy 积分和高阶导数，我们可以得到以下推论：

Cauchy 不等式：

$$|f^{(n)}(z)| \leq \frac{n!}{2\pi} \frac{ML}{d^{n+1}} \quad l \text{ 为边界周长, } d \text{ 是 } z \text{ 到边界最短距离} \quad (2-15)$$

当轨迹是一个以 z 点为中心的圆时，Cauchy 不等式可以写成：

$$|f^{(n)}(z)| \leq \frac{n!M}{R^n} \quad (2-16)$$

Liouville 定理： $f(z)$ 在全平面解析，且 $z \rightarrow \infty$ 时， $|f(z)|$ 有界，则 $f(z)$ 是一常数。

2.5 习题补充

例 1： 计算积分 $\oint_C \frac{\cos z}{(z-a)^2} |dz|$ $C: |z| = b \neq a$ ，逆时针方向。

解： 先处理 $|dz|$

$$|dz| = |d(be^{i\theta})| = |bie^{i\theta} d\theta| = bz d\theta = -ib \frac{dz}{z} \quad (2-17)$$

这个式子非常重要！ 因此我们在求 $-ib \oint_C \frac{\cos z}{z(z-a)^2} dz$ ，这个函数的奇点是 $z = 0$ 与 $z = a$ 。当 $b < |a|$ 与 $b > |a|$ 的时候，积分围道内的奇点分别是一个和两个。

第一种情况，0 为奇点，由于 Cauchy 积分可得：

$$\begin{aligned} \frac{\cos 0}{(0-a)^2} &= \frac{1}{2\pi i} \oint_C \frac{\frac{\cos z}{z}}{z-a} dz \\ -ib \oint_{C_0} \frac{\cos z}{z(z-a)^2} dz &= -ib \cdot 2\pi i \frac{\cos 0}{(0-a)^2} = \frac{2\pi b}{a^2} \end{aligned}$$

第二种情况：0 是一个奇点，周围的围道积分算出来了。我们需要再加上 a 附近的围道积分，根据高阶导数我们知道：

$$\begin{aligned} \left(\frac{\cos a}{a}\right)' &= \frac{1}{2\pi i} \oint_C \frac{\frac{\cos z}{z}}{(z-a)^2} dz \\ -ib \oint_{C_a} \frac{\cos z}{z(z-a)^2} dz &= -ib \cdot 2\pi i \cdot \left(\frac{\cos z}{z}\right)' \Big|_{z=a} = -\frac{2\pi b}{a} (\cos a + a \sin a) \\ \text{原式} &= -\frac{2\pi b}{a} (\cos a + a \sin a) + \frac{2\pi b}{a^2} \end{aligned}$$

这里我们注意：第一点是分类讨论奇点在围道内还是围道外；第二点是要注意，高阶导数公式的使用。观察式子 2-13，分母是多项式系数而非 Cauchy 公式的一次项。这样也是求奇点附近围道积分的方法。

例 2：计算积分 $\oint_{|z|=R} \frac{z}{e^{2\pi iz^2}-1} dz \quad n < R^2 < n+1 \quad n \in \mathcal{N}^+$

解：先计算奇点，有 $(4n+1)$ 个，分别是

$$z = 0 \quad z = \sqrt{m}e^{ik\pi/2} (m = 1, 2, \dots, n \quad k = 0, 1, 2, 3)$$

然后我们利用留数定理求解，这里不再赘述（因为分母的形式不好处理）主要是求根的方法!!!
 $z^2 = m, z = \pm\sqrt{m}, m = -R - \dots - R$ 对于正整数 n ，我们称满足 $z^n = 1$ 的所有复数为 n 阶单位根，记为 ω_n ，并且这些单位根可以表示为：

$$\omega_n^k = e^{\frac{2\pi ik}{n}}, \quad k = 0, 1, 2, \dots, n-1.$$

这里的 $\omega_n = e^{\frac{2\pi i}{n}}$

例 3：计算积分 $\oint_{|z|=2} \frac{dz}{z^3(z^{10}-2)}$

解：方法 1：原式可以写成：

$$\oint_{z=2} \frac{dz}{z^3 \prod_{k=0}^9 (z - z_k)}$$

在 0 处用高阶导数公式，在其他根用 Cauchy 定理，这样显然比较麻烦。

方法 2：找一个更大的围道 $\oint_{|z|=R} \frac{dz}{z^3(z^{10}-2)}$ ，则在 $|z|=R$ 与 $|z|=2$ 之间没有奇点，所以就有：

$$\oint_{|z|=2} \frac{dz}{z^3(z^{10}-2)} = - \oint_{|z|=R} \frac{dz}{z^3(z^{10}-2)}$$

取 $R \rightarrow \infty$ ，根据大圆弧定理由于 $\lim_{z \rightarrow \infty} z \cdot \frac{z}{z^3(z^{10}-2)} = 0$ ，所以原答案为 0

方法 3：做代换 $z = 1/t$ ，则原式变为：

$$\oint_{|z|=2} \frac{dz}{z^3(z^{10}-2)} = - \oint_{|t|=1/2} \frac{t^{11} dt}{2t^{10}-1}$$

而在这个范围内是没有奇点的，因此答案为 0.

例 4：证明：

$$\frac{d^n f(\xi)}{d\xi^n} = (-1)^n \rho^{n+1} \frac{d^n}{d\rho^n} \left[\rho^{n-1} f\left(\frac{1}{\rho}\right) \right] \quad \rho = \xi^{-1}$$

proof:

$$\begin{aligned} f^{(n)}(\xi) &= \frac{n!}{2\pi i} \oint_{|z|=R} \frac{f(z)}{(z-\xi)^{n+1}} dz \\ f^{(n)}(\xi) &= \frac{n!}{2\pi i} \oint_{|\xi|=1/R} \frac{f(1/\xi)}{(\xi^{-1}-\rho^{-1})^{n+1}} \left(-\frac{d\xi}{\xi^2}\right) \quad \xi = z^{-1} \\ &= (-1)^n \rho^{n+1} \frac{n!}{2\pi i} \oint_{|\xi|=1/R} \frac{f(1/\xi)}{(\xi-\rho)^{n+1}} \xi^{n-1} d\xi \\ \text{而 } f^{(n)}(z) &= \frac{n!}{2\pi i} \oint_c \frac{f(\xi)}{(\xi-z)^{n+1}} d\xi \\ (\rho^{n-1} f(1/\rho))^{(n)} &= \frac{n!}{2\pi i} \oint_c \frac{\xi^{n-1} f(1/\xi)}{(\xi-\rho)^{n+1}} d\xi \end{aligned}$$

证毕。

3 无穷级数

由于 $u_n = \alpha_n + i\beta_n$, 则 $S_n = \sum_{k=0}^n \alpha_k + i \sum_{k=0}^n \beta_k$, 一个复数级数收敛相当于两个实数级数收敛。高数中学习的收敛判断条件同样适用于复数级数。复数级数绝对收敛相当于模长级数收敛, 且它是一个正项级数。

3.1 绝对收敛与二重级数

绝对收敛判断是正项级数判断, 因此:

比较判别法: $|u_n| < |v_n|$, 且 $\sum_{n=0}^{\infty} v_n$ 收敛, 则 $\sum_{n=0}^{\infty} u_n$ 绝对收敛。

比值判别法: 存在与 n 无关的 ρ , 使得 $|\frac{u_{n+1}}{u_n}| < \rho < 1$, 则 $\sum_{n=0}^{\infty} u_n$ 绝对收敛。

达朗贝尔判别法: 若 $\overline{\lim}_{n \rightarrow \infty} |\frac{u_{n+1}}{u_n}| = l < 1$, 则 $\sum_{n=0}^{\infty} u_n$ 绝对收敛。

Cauchy 判别法: 若 $\overline{\lim}_{n \rightarrow \infty} |u_n|^{\frac{1}{n}} < 1$, 则 $\sum_{n=0}^{\infty} u_n$ 绝对收敛。

绝对收敛可以改换次序, 且绝对收敛的子序列同样绝对收敛。并且绝对收敛的级数之积也同样收敛, 即:

$$\sum_{k=0}^{\infty} u_k \times \sum_{l=0}^{\infty} v_l = \sum_{k=0, l=0}^{\infty} u_k v_l \quad (3-1)$$

3-1 实际上是一个二重级数, 他等同于 $u_0 v_0 + u_0 v_1 + u_0 v_2 + \dots + u_1 v_0 + u_1 v_1 + \dots$ 。因此我们修改求和方式, 把下标和相同的项在一起求和, 也就相当于:

$$\sum_{k=0}^{\infty} u_k \times \sum_{l=0}^{\infty} v_l = \sum_{n=0}^{\infty} \sum_{k=0}^n u_k v_{n-k} \quad (3-2)$$

上面的式子非常重要, 在后续的学习中还会用到。

3.2 函数级数的敛散性

首先我们需要明白一致收敛的含义: 对于 $\forall \varepsilon > 0, \exists N_\varepsilon$ 与 z 无关, 当 $n > N_\varepsilon$ 时, $|S(z) - \sum_{k=1}^n u_k(z)| < \varepsilon$ 。但显然用定义判断一致收敛并不好用。这里我们介绍:

Weistrass 判别法: 若在区域 G 内有 $|u_k(z)| < a_k$, 且 a_k 与 z 无关, 则绝对一致收敛成立。

一致收敛保连续, 保积分, 保求导。

含参积分也有一致收敛性。我们介绍定理: 若

1. $f(t, z)$ 为 t, z 的连续函数, $t > a, z \in G$
2. $\forall t \geq a, f(t, z)$ 在区域内是单值解析函数
3. $\int_a^\infty f(t, z)$ 在区域上一致收敛

则 $F(z) = \int_0^\infty f(t, z) dt$ 在区域内解析, 且 $F'(z) = \int_0^\infty \frac{\partial f(t, z)}{\partial z} dt$

proof: 任取一个无界序列 $\{a_n\}, a_0 < a_1 < a_2 < \dots, \lim_{n \rightarrow \infty} a_n = \infty$, 令 $u_n = \int_{a_n}^{a_{n+1}} f(t, z) dt$ 显然 $|u_n(z)|$ 单值解析, 而 $F(z) = \sum_{n=0}^{\infty} u_n(z)$ 一致收敛, 利用 Weierstrass 定理得证。

因此我们可以利用强函数积分收敛证明原函数积分收敛。下面是一道例题:

example: 计算 $F(z) = \int_0^\infty e^{-t^2} \cos 2zt dt$, 其中 $\text{Im}(z) < y_0$

$$|\cos 2zt| = \sqrt{\cosh^2 2yt - \sinh^2 2xt} \leq |\cosh 2yt| \leq e^{|2yt|}$$

$$\operatorname{Im}(z) < y_0 \quad |e^{-t^2} \cos 2zt dt| \leq e^{|-t^2+2y_0t|}$$

$$\int_0^\infty e^{|-t^2+2y_0t|} dt \text{ 一致收敛, 所以原函数一致收敛}$$

$$F'(z) = - \int_0^\infty e^{-t^2} 2t \sin 2zt dt = -2zF(z) \quad \text{分部积分法}$$

$$F'(z) + 2zF(z) = 0 \quad F(z) = Ce^{-z^2}$$

$$\text{其中 } C = F(0) = \int_0^\infty e^{-t^2} dt = \frac{\sqrt{\pi}}{2}$$

$$F(z) = \frac{\sqrt{\pi}}{2} e^{-z^2}$$

3.3 幂级数

通项为幂函数的函数项级数。即： $\sum_{n=0}^\infty c_n(z-a)^n = c_0 + c_1(z-a) + c_2(z-a)^2 + \dots$

Abel 第一定理：若级数 $\sum_{n=0}^\infty c_n(z-a)^n$ 在 z_0 收敛，则在以 a 为圆心， $|z_0 - a|$ 为半径的圆内绝对收敛，而且在圆内一致收敛。

因此幂函数存在一个收敛圆，圆心就是 $z = a$ 点，收敛半径记作 R ，求收敛半径有以下两种方法：

Cauchy 判别法： $\lim_{n \rightarrow \infty} |c_n(z-a)^n|^{\frac{1}{n}} < 1$ ，即就是 $|z-a| < \frac{1}{\lim_{n \rightarrow \infty} |c_n|^{\frac{1}{n}}} = R$ ，绝对收敛，且求出了半径。

d'Alembert 判别法：若 $\lim_{n \rightarrow \infty} \left| \frac{c_{n+1}(z-a)^{n+1}}{c_n(z-a)^n} \right| = \lim_{n \rightarrow \infty} |z-a| \left| \frac{c_{n+1}}{c_n} \right|$ 存在，则极限小于 1 的时候绝对收敛。 $R = \lim_{n \rightarrow \infty} \left| \frac{c_n}{c_{n+1}} \right|$

3.4 习题补充

我们再次强调收敛半径的求法 $\lim_{n \rightarrow \infty} |1/c_n|^{1/n}$ 或 $\lim_{n \rightarrow \infty} |c_n/c_{n+1}|$

例 1：(复数级数) 判断级数 $\sum_{n=1}^\infty \frac{i^n}{n^\alpha} (\alpha > 0)$ 的收敛性和绝对收敛性

解：判断条件收敛：拆成两个级数，实数项系数和虚数项系数，利用莱布尼茨判别法可轻松证明。判断绝对收敛： p 级数， $\alpha > 1$ 收敛，反之发散。

例 2：确定下列级数的收敛半径：

$$\sum_{n=1}^\infty \frac{(n!)^2}{n^n} z^n \qquad \sum_{n=0}^\infty \frac{z^{2n}}{2^{2n}}$$

解：我们记住两个求收敛半径的方法：

$$\begin{aligned} \lim_{n \rightarrow \infty} \left| \frac{(n!)^2/n^n}{(n+1!)^2/(n+1)^{n+1}} \right| &= \lim_{n \rightarrow \infty} \left| \frac{(1 + \frac{1}{n})^n (n+1)}{(n+1)^2} \right| \\ &= e \lim_{n \rightarrow \infty} \frac{1}{n+1} = 0 = R \\ \lim_{n \rightarrow \infty} \left| \frac{1}{2^{2n}} \right|^{1/n} &= 2 \end{aligned}$$

在这里我们需要注意，第二项幂函数的系数为 $1/2^n$ 或者 0，这个题也可以直接求和。

4 解析函数的局域展开

4.1 Taylor 展开

设 $f(z)$ 在以 a 为圆心的圆 C 和 C 上解析, 对圆内任意点 $z, f(z)$ 可用幂级数展开, 即:

$$f(z) = \sum_{n=0}^{\infty} a_n (z-a)^n$$

$$a_n = \frac{1}{2\pi i} \oint_c \frac{f(\varepsilon)}{(\varepsilon-a)^{n+1}} d\varepsilon = \frac{f(a)^{(n)}}{n!} \quad (4-1)$$

proof:

由 Cauchy 积分可知, $f(z) = \frac{1}{2\pi i} \oint_c \frac{f(\varepsilon)}{\varepsilon-z} d\varepsilon$

$$\therefore \frac{1}{\varepsilon-z} = \frac{1}{(\varepsilon-a)-(z-a)} = \frac{1}{\varepsilon-a} \sum_{n=0}^{\infty} \left(\frac{z-a}{\varepsilon-a}\right)^n$$

(这一步实际上是等比数列求和)

这个幂级数的收敛半径是 $\varepsilon-a$ 逐项积分:

$$f(z) = \frac{1}{2\pi i} \oint_c \left[\sum_{n=0}^{\infty} \frac{(z-a)^n f(\varepsilon)}{(\varepsilon-a)^{n+1}} d\varepsilon \right] = \sum_{n=0}^{\infty} \left[\frac{1}{2\pi i} \oint_c \frac{f(\varepsilon)}{(\varepsilon-a)^{n+1}} d\varepsilon \right] (z-a)^n$$

根据高阶导数, 化简得: $f(z) = \frac{f^{(n)}(a)}{n!} (z-a)^n$

Taylor 展开要注意, 函数只需要在圆内解析。由于复变函数和实数域不同, 幂级数的收敛范围是圆, 因此 Taylor 展开只需要在圆内解析。因此, 复变函数的奇点完全决定了收敛半径。收敛半径就是距离展开点最近的奇点到展开点的距离。

同实数域的 Taylor 展开一样, 复变函数的 Taylor 展开也具有唯一性, 这里提供常见的 Taylor 展开公式 (本质上与实数域中的 Taylor 展开形式一致):

$$e^z = \sum_{n=0}^{\infty} \frac{z^n}{n!} \quad |z| < \infty \quad (4-2)$$

$$\frac{1}{1+z^2} = \sum_{n=0}^{\infty} (-1)^n z^{2n} \quad |z| < 1 \quad (4-3)$$

$$\sin z = \frac{e^{iz} - e^{-iz}}{2i}$$

$$= \sum_{n=0}^{\infty} \frac{(-1)^n}{(2n+1)!} z^{2n+1} \quad |z| < \infty \quad (4-4)$$

$$\cos z = \sum_{n=0}^{\infty} \frac{(-1)^n}{(2n)!} z^{2n} \quad |z| < \infty \quad (4-5)$$

$$\frac{1}{1-z} = \sum_{n=0}^{\infty} z^n \quad |z| < 1 \quad (4-6)$$

example: 求出 $\frac{1}{(1-z)(1-2z)}$ 与 $\tan z$ 的泰勒展开。

这种问题需要用到泰勒展开的唯一性。

$$\begin{aligned}\frac{1}{(1-z)(1-2z)} &= \sum_{k=0}^{\infty} z^k \times \sum_{l=0}^{\infty} 2^l z^l = \sum_{k=0}^{\infty} \sum_{l=0}^{\infty} z^{k+l} 2^l \\ &= \sum_{n=0}^{\infty} \left(\sum_{l=0}^{\infty} 2^l \right) z^n \\ &= \sum_{n=0}^{\infty} (2^{n+1} - 1) z^n\end{aligned}$$

$$\begin{aligned}\tan z = -\tan(-z) \text{ 只有奇次幂, 令 } \tan z &= \sum_{n=0}^{\infty} a_{2k+1} z^{2k+1} = \frac{\sin z}{\cos z} \\ \sum_{n=0}^{\infty} \frac{(-1)^n}{(2n+1)!} z^{(2n+1)} &= \sum_{l=0}^{\infty} \frac{(-1)^l}{(2l+1)!} z^{2l} \sum_{k=0}^{\infty} a_{2k+1} z^{2k+1} \\ &= \sum_{l=0}^{\infty} \sum_{k=0}^{\infty} a_{2k+1} \frac{(-1)^l}{(2l+1)!} z^{2(l+k)+1} \\ &= \sum_{n=0}^{\infty} \left(\sum_{k=0}^{\infty} a_{2k+1} \frac{(-1)^{n-k}}{(2n-2k)!} \right) z^{2k+1}\end{aligned}$$

然后我们逐项比较系数即可。第一问我们没有用拆分式的做法, 因为这会产生负幂项, 不符合 Taylor 展开的准则。第一问在 $|z| < \frac{1}{2}$ 收敛, 因为这是最近的奇点。第二问 $|z| < \frac{\pi}{2}$ 。

4.2 无穷远处的 Taylor 展开, 零点孤立性

无穷远处的 Taylor 展开: 在无穷远处 $z = \infty$ 解析, 我们需要做代换 $z = \frac{1}{t}$, 这样只需讨论在 $t = 0$ 点是否解析。

解析函数的零点: 若 $f(z)$ 在 $z = a$ 处为 0, 在 a 邻域解析, 称 a 为零点。当 $|z - a| < R$ 时, $f(z) = \sum_{n=0}^{\infty} a_n (z - a)^n$, $z = a$ 为零点, 则有 $a_0 = a_1 = \dots = a_{m-1} = 0$, 即就是 $f^{(k)}(a) = 0$ 当且仅当 $k < m$, 此时称 $z = a$ 为 **m 阶零点**。

零点孤立性定理: 若 $f(z)$ 不恒等于 0, 且在包含 $z = a$ 的区域内解析, 则必可以找到区域 $|z - a| = \rho > 0$, 使得圆内只有这一个零点。

4.3 Laurent 展开

Taylor 展开要求展开点附近的区域解析, 但是有的时候附近区域有奇点, 例如 $\frac{1}{1-z}$ 怎么在 $|z| > 1$ 处在 $z = 0$ 展开? 因此我们介绍:

Laurent 展开: 设 $f(z)$ 在 b 为中心的环区 $R_1 \leq |z - a| \leq R_2$ 单值解析, 对环域任一点, 都有:

$$\begin{aligned}f(z) &= \sum_{n=-\infty}^{\infty} a_n (z - b)^n \\ a_n &= \frac{1}{2\pi i} \oint_c \frac{f(\varepsilon)}{(\varepsilon - b)^{n+1}} d\varepsilon\end{aligned}\tag{4-7}$$

proof: 我们在 z 靠近 R_1 的位置构造逆时针围道 C_1 , 在无穷远处构造逆时针围道 C_2 , 利用有界 Cauchy 定理 (这两个围道合起来是一个 Jordan 曲线, 类似 Green 公式的理解), 则有:

$$\begin{aligned}
 f(z) &= \frac{1}{2\pi i} \oint_{c_2} \frac{f(\varepsilon)d\varepsilon}{\varepsilon - z} - \frac{1}{2\pi i} \oint_{c_1} \frac{f(\varepsilon)d\varepsilon}{\varepsilon - z} \\
 \text{one side, } -\frac{1}{2\pi i} \oint_{c_1} \frac{f(\varepsilon)d\varepsilon}{\varepsilon - z} &= \frac{1}{2\pi i} \oint_{c_1} \frac{f(\varepsilon)d\varepsilon}{(z-b) - (\varepsilon-b)} = \frac{1}{2\pi i} \oint_{c_1} \frac{f(\varepsilon)d\varepsilon}{z-b} \sum_{n=0}^{\infty} \left(\frac{\varepsilon-b}{z-b}\right)^k d\varepsilon \\
 &= \sum_{k=0}^{\infty} \left[\frac{1}{2\pi i} \oint_{c_1} f(\varepsilon)(\varepsilon-b)^k d\varepsilon \right] (z-b)^{-k-1} \\
 &= \sum_{n=-1}^{-\infty} \left[\frac{1}{2\pi i} \oint_{c_1} f(\varepsilon)(\varepsilon-b)^{-n-1} d\varepsilon \right] (z-b)^n \tag{a}
 \end{aligned}$$

$$\text{another side, } \frac{1}{2\pi i} \oint_{c_2} \frac{f(\varepsilon)d\varepsilon}{\varepsilon - z} = \sum_{n=0}^{\infty} \left[\frac{1}{2\pi i} \oint_{c_2} f(\varepsilon)(\varepsilon-b)^{-n-1} d\varepsilon \right] (z-b)^n \tag{b}$$

(a) + (b), 证毕。

Laurent 展开也有很多性质, 例如环域边界不一定需要单值解析。且 b 有可能是奇点, 也有可能解析。这就导致 $a_n = \frac{1}{n!} f^{(n)}(b)$ 不一定成立。若 b 为唯一的奇点, 那么可以令 $R_1 \rightarrow 0$, 就得到了孤立奇点的 Laurent 展开。

Laurent 展开和 Taylor 展开的关系: Laurent 展开是带有负幂项的, Taylor 展开则没有。负幂项来源于非可去奇点 (之后会介绍), 即这一点无定义/值并非从周围邻域趋近而来的极限。若其不是奇点, 我们得到的 Laurent 展开和 Taylor 展开是一个形式的。我们因此可以在这里使用 Taylor 展开的求法求 Laurent 展开, Laurent 展开式也是唯一的。

example: 求 $\frac{1}{z(z-1)}$ 的 Laurent 展开。

solution: 原函数有两个奇点 $z=0, 1$, 因此在 $0 < |z| < 1$ 与 $1 < |z| < \infty$ 是不一样的 (不同区域有不同的 Laurent 展开)

$$\text{原式} = -\frac{1}{z} \frac{1}{1-z} = -\frac{1}{z} \sum_{n=0}^{\infty} z^n = \sum_{n=-1}^{\infty} z^n \quad 0 < |z| < 1$$

$$\text{原式} = -\frac{1}{z^2} \frac{1}{1-\frac{1}{z}} = -\frac{1}{z^2} \sum_{n=0}^{\infty} z^{-n} = \sum_{n=-2}^{-\infty} z^n \quad 1 < |z| < \infty$$

第二个式子拆出 $-\frac{1}{z^2}$ 是为了让后面的部分可以 Taylor 展开

4.4 奇点的种类

奇点首先分为孤立奇点和非孤立奇点。例如函数 $f(z) = \frac{1}{\sin(\frac{1}{z})}$, 显然 $x = (n\pi)^{-1}$ 都是孤立奇点。但是 $x=0$ 附近有无数多个零点, 因此 0 是非孤立奇点。

孤立奇点又分为可去奇点, 极点, 本性奇点。它们的分类取决于 Laurent 展开中负幂项的数量, 分别是 0 项, 有限项, 无穷多项。

可去奇点: 例如 $\frac{\sin z}{z} = \sum_{n=0}^{\infty} \frac{(-1)^n z^{2n}}{(2n+1)!}$ 中, 0 就是可去奇点。右边去 $z=0$ 的时候值为 1, 正好是原函数在 0 点的极限。因此可去奇点的特征是:

在这一点无定义, 但周围的值都趋向于同一值, 即 $\lim_{z \rightarrow z_0} f(z)$ 存在。

极点：极点满足：

$$\begin{aligned} f(z) &= \sum_{n=-m}^{\infty} a_n(z-b)^n \\ &= (z-b)^{-m}[a_{-m} + a_{-m+1}(z-b) + \dots] = (z-b)^{-m}g(z) \end{aligned} \quad (4-8)$$

因此 $z \rightarrow b$ 时, $f(z) \rightarrow \infty$, 且 $z=b$ 为 $\frac{1}{f(z)}$ 的 m 阶零点。

同理, $z = \infty$ 作代换 $z = \frac{1}{t}$ 来研究。

4.5 解析延拓

若 $f_1(z)$ 在 G_1 解析, $f_2(z)$ 在 G_2 解析, 在 $G_1 \cap G_2$ 处有 $f_1(z) = f_2(z)$, 则称 $f_2(z)$ 是 $f_1(z)$ 在 G_2 的解析延拓, 反之亦然。

4.6 习题补充

例 1 (直接展开)： (1) 求函数 $f(z) = \frac{z-3}{(z-1)(z-2)}$ 在 $z=0$ 的所有展开; (2) 求函数 $f(z) = \frac{1}{z^2 - 2 \cos t z + 1}$ 在 $z=0, t \in \mathbb{R}$ 的幂级数展开。

解: (1) 我们先判断奇点: $1, 2, \infty$, 因此我们要分成 $|z| < 1$ 的 Taylor 展开, $1 < |z| < 2$ 的 Laurent 展开, $|z| > 2$ 的 Laurent 展开。

$$\begin{aligned} f(z) &= \frac{-2}{1-z} + \frac{1}{2(1-z/2)} \\ &= -2 \sum_{n=0}^{\infty} z^n + \frac{1}{2} \sum_{n=0}^{\infty} \frac{z^n}{2^n} = \sum_{n=0}^{\infty} \frac{1-2^{n+2}}{2^{n+1}} z^n (|z| < 1) \\ f(z) &= \frac{2}{z} \frac{1}{1-1/z} + \frac{1}{2} \frac{1}{1-z/2} \\ &= 2 \sum_{n=-\infty}^{-1} z^n + \sum_{n=0}^{\infty} \frac{1}{2^{n+1}} z^n (1 < |z| < 2) \\ f(z) &= \frac{2}{z} \frac{1}{1-1/z} - \frac{1}{z} \frac{1}{1-2/z} = \sum_{n=1}^{\infty} (2 - 2^{n-1}) z^{-n} \end{aligned}$$

我们需要注意, Laurent 展开的求法也是类似泰勒展开, 只是我们要注意泰勒级数收敛的范围, 因此产生了不同的式子。

(2) 第二个式子我们需要把三角函数拆开成为指数函数。由于 0 不是奇点, 我们可以做 Taylor 展开:

$$\begin{aligned} f(z) &= \frac{1}{z^2 - (e^{it} + e^{-it})z + 1} = \left(\frac{1}{z - e^{it}} - \frac{1}{z - e^{-it}} \right) \frac{-1}{e^{it} - e^{-it}} \\ &= \frac{-1}{e^{it} - e^{-it}} \left[-e^{-it} \sum_{n=0}^{\infty} \left(\frac{z}{e^{it}} \right)^n - e^{it} \sum_{n=0}^{\infty} (ze^{it})^n \right] \\ &= \frac{1}{-2i \sin t} \left[\sum_{n=0}^{\infty} z^n e^{-i(n+1)t} - \sum_{n=0}^{\infty} z^n e^{i(n+1)t} \right] \\ &= \sum_{n=0}^{\infty} \frac{\sin(n+1)t}{\sin t} z^n (|z| > |e^{\pm it}|) \end{aligned}$$

例 2：待定系数法：求 $\frac{z}{\sin z}$ 与 $(1+z)^\alpha (\alpha < 0, \alpha \in \mathbb{Z})$ 在 $z=0$ 的展开。

解：由于我们不能直接展开分母，因此我们不能直接展开。我们先确定 0 的奇点的性质。很显然这是一个可去奇点。 $\lim_{z \rightarrow 0} \frac{z}{\sin z} = 1$ ，因此我们假设： $\frac{z}{\sin z} = \sum_{n=0}^{\infty} c_n z^n$ ，因此我们得到：

$$\begin{aligned} z &= \sum_{k=0}^{\infty} \frac{(-1)^k}{(2k+1)!} z^{2k+1} \sum_{l=0}^{\infty} c_l z^l \\ &= \sum_{n=0}^{\infty} \sum_{m=0}^n c_m z^{n+(n-m)+1} \frac{(-1)^{n-m}}{(2n-2m+1)!} \end{aligned}$$

由于只有一次项的系数为 1，剩下的都为 0。关注一次项的系数，则 $2n-m+1=1$ ，再加上 $n < m$ 的限制，因此 $c_0=1$ ，然后我们再递推即可。答案应该为：

$$\frac{z}{\sin z} = 1 + \frac{1}{6}z^2 + \frac{1}{360}z^4 + \dots$$

第二个题由于 $\alpha < 0$ ，我们应该做 Taylor 展开。分母不好直接展开，因此我们做类似代换：

$$\begin{aligned} 1 &= (1+z)^{-\alpha} \sum_{k=0}^{\infty} c_k z^k \\ &= \sum_{l=0}^{\infty} C_{-\alpha}^l z^l \sum_{k=0}^{\infty} c_k z^k \\ &= \sum_{n=0}^{\infty} \sum_{m=0}^n C_{-\alpha}^m c_{n-m} z^n \end{aligned}$$

比较系数即可。在这里我们需要确定是 Taylor 展开还是 Laurent 展开，都是因为我们确定假设的新级数最低次项是多少。

例 3：找出下列函数的奇点。并且判断其类型。

$$\frac{1}{1-\cos z} - \frac{2}{z^2} \qquad z^9 \cos \frac{1}{z}$$

解：奇点的类型判断：**先判断非独立奇点和独立奇点。再判断奇点种类。常用方法是：求极限；求 Laurent 展开。极点阶数可判断倒数的零点阶数。**

第一题： $z=2k\pi, z=\infty$ 为奇点。 $k \neq 0$ 的时候，极限 ∞ 。极点。此时我们看 $\frac{z^2+2\cos z-2}{z^2(1-\cos z)}$ 。对于上面来说， $z=2k\pi$ 是常点，对下面是 2 阶零点，因此 $\frac{z^2+2\cos z-2}{z^2(1-\cos z)} = \frac{1}{z^2} \phi(z)$ ，是二阶极点。当 $z=0$ 时，求该点的极限：

$$\begin{aligned} \lim_{z \rightarrow 0} \frac{z^2 + 2\cos z - 2}{z^2(1-\cos z)} &= \lim_{z \rightarrow 0} \frac{2z - 2\sin z}{2z(1-\cos z) + z^2 \sin z} \\ &= \lim_{z \rightarrow 0} \frac{2 - 2\cos z}{2(1-\cos z) + 4z \sin z + z^2 \cos z} = \lim_{z \rightarrow 0} \frac{2 \sin z}{6 \sin z + 6z \cos z - z^2 \sin z} \\ &= 1/6 \end{aligned}$$

0 是可去奇点。

∞ 做代换， $\cos \frac{1}{t}$ 在 $t=0$ 附近有无穷多个奇点，因此是非独立奇点。

第二题的奇点显然是 $z=0, \infty$ ，附近我们做 Laurent 展开：

$$z^9 \cos \frac{1}{z} = z^9 \sum_{n=0}^{-\infty} \frac{(-1)^n}{(2n)!} z^{2n}$$

最低次项是 $-\infty$, 因此 0 是本性奇点。然后我们做 $z = 1/t$ 判断无穷远点的性质, 所以我们继续做 Laurent 展开:

$$t^{-9} \cos t = t^{-9} \sum_{n=0}^{\infty} \frac{(-1)^n}{(2n)!} t^{2n}$$

因此 ∞ 是 9 阶极点。

5 Γ 函数, B 函数, δ 函数

5.1 Γ 函数

Γ 函数的常见定义式是:

$$\Gamma(z) = \int_0^{\infty} e^{-t} t^{z-1} dt \quad \operatorname{Re} z > 0 \quad \operatorname{arg} t = 0 \quad (5-1)$$

证明: Γ 函数在右半平面解析。由于这是一个反常积分 ($t=0$ 瑕积分 + 无穷积分), 我们拆成:

$$\int_0^{\infty} e^{-t} t^{z-1} dt = \int_0^1 e^{-t} t^{z-1} dt + \int_1^{\infty} e^{-t} t^{z-1} dt \quad (5-2)$$

要证明含参积分的解析性, 我们要证明积分的一致收敛。我们先看第二项积分。因 $e^t = \sum_{n=0}^{\infty} \frac{t^n}{n!}$ 在 $|t| < \infty$ 恒成立, 因此 $t > 0 \exists N \in \mathbb{N}^+$, 使得 $e^t > \frac{t^N}{N!}$, 即就是 $e^{-t} < \frac{N!}{t^N}$ 。

我们选取复平面上的任何一个有界闭区域, 在不含边界上的所有点, z 的实部都会在一个范围之间, 即就是 $\delta < \operatorname{Re} z < x_0$ 。因此我们有:

$$|e^{-t} t^{z-1}| < N! \times t^{x_0-N-1}$$

而且当 $t > 1$ 的时候, 我们令 $N > x_0 - 1$, 则 $\int_1^{\infty} t^{x_0-N-1}$ 收敛, 则第二项积分在全平面内解析。

我们解释: 拆成两项是因为我们要说明 $\int_1^{\infty} t^{x_0-N-1}$ 收敛, 这个必须要求 $t > 1$ 。而我们选取的是复平面上的任何一个有界闭区域, 因此它是全平面内解析的。

我们现在来证明第一个积分解析, 我们选取复平面上的右半平面任意一个有界闭区域, 在不含边界上的所有点, z 的实部都会在一个范围之间, 即就是 $\delta < \operatorname{Re} z < x_0$ 。因此我们令 $x = \operatorname{Re} z$, 则

$$|e^{-t} t^{z-1}| = e^{-t} t^{x-1} \leq t^{\delta-1}$$

而 $\int_0^1 t^{\delta-1}$ 收敛, 所以第一项积分在右半平面解析, 所以原函数在右半平面解析。

我们发现, 5-1 式要求了 $\operatorname{Re} z > 0$ 。那么我们怎么才能把它延拓到整个平面呢? 由于 5-2 中第二项积分全平面解析, 那么我们只需要对第一项积分延拓到全平面即可。我们将第一项积分进行 Taylor 展开如下:

$$\begin{aligned} \int_0^1 e^{-t} t^{z-1} dt &= \sum_{n=0}^{\infty} \frac{(-1)^n}{n!} \int_0^1 t^{n+z-1} dt \\ &= \sum_{n=0}^{\infty} \frac{(-1)^n}{n!} (n+z) \end{aligned} \quad (5-3)$$

Taylor 展开要求 $\text{Re}z > 0$, 但是右侧的无穷级数全平面解析, 因此这一项代替第一项就是原函数的解析延拓式。 Γ 函数有非常多的基本性质。

性质 1: $\Gamma(1) = 1$, 直接带入可证。

性质 2: $\Gamma(z+1) = z\Gamma(z)$, 利用分部积分。

由性质 1,2 可以得出: n 为正整数的时候: $\Gamma(n) = (n-1)!$

性质 3: $\Gamma(z)\Gamma(1-z) = \frac{\pi}{\sin \pi z}$

由性质 3 可以得出, $\Gamma(\frac{1}{2}) = \sqrt{\pi}$

性质 4: Stirling 公式渐进推导。

$$\ln n! \approx n \ln n - n \quad (5-4)$$

5.2 B 函数

B 函数的定义如下:

$$B(p, q) = \int_0^1 t^{p-1} (1-t)^{q-1} dt \quad \text{Re} p > 0 \quad \text{Re} q > 0 \quad (5-5)$$

$$= 2 \int_0^{\frac{\pi}{2}} \sin^{2p-1} \theta \cos^{2q-1} \theta d\theta \quad (5-6)$$

5-5 到 5-6 利用了代换 $t = \sin^2 \theta$ 。不难得出

$$B(p, q) = \frac{\Gamma(p)\Gamma(q)}{\Gamma(p+q)} \quad (5-7)$$

现在给出证明:

$$\begin{aligned} \because \Gamma(p) &= \int_0^\infty e^{-t} t^{p-1} dt & t &= x^2 \\ &= 2 \int_0^\infty e^{-x^2} x^{2p-1} dx \\ \therefore \Gamma(p)\Gamma(q) &= 4 \int_0^\infty \int_0^\infty e^{-(x^2+y^2)} x^{2p-1} y^{2q-1} dx dy & x &= r \sin \theta & y &= r \cos \theta \\ &= 4 \int_0^\infty e^{-r^2} r^{2(p+q)-1} dr \int_0^{\frac{\pi}{2}} \sin^{2p-1} \theta \cos^{2q-1} \theta d\theta \\ &= \Gamma(p+q)B(p, q) \end{aligned}$$

利用 5-7 式可以去证明性质 3。

5.3 δ 函数

我们考虑这样一个分段函数

$$\delta_l(x) = \begin{cases} 0 & x \leq -\frac{l}{2} \\ \frac{1}{l} & -\frac{l}{2} < x < \frac{l}{2} \\ 0 & x \geq \frac{l}{2} \end{cases}$$

不难得到, $\int_{-\infty}^{\infty} \delta_l(x) dx = 1$, 对任意连续函数 $f(x)$, 我们利用中值定理, 可以得到:

$$\begin{aligned} \int_{-\infty}^{\infty} f(x) \delta_l(x) dx &= f(\theta l) \quad -1/2 \leq \theta \leq 1/2 \\ \delta(x) &= \lim_{l \rightarrow 0} \delta_l(x) = \begin{cases} 0 & x \neq 0 \\ \infty & x = 0 \end{cases} \\ \int_{-\infty}^{\infty} f(x) \delta(x) dx &= f(0) \end{aligned} \quad (5-8)$$

并且积分值也同样为 1。5-8 本质上才是 δ 函数的真正定义。在计算中, 我们把它当做任意阶可微的函数 (但本质上没有意义)。利用 δ 函数的定义, 我们可以发现如下的计算公式:

$$x\delta(x) = 0 \quad (5-9)$$

$$\delta(x-t)f(x) = f(t) \quad (5-10)$$

$$\delta(ax) = \frac{1}{|a|} \delta(x) \quad (5-11)$$

$$\delta(x) = \frac{d\eta(x)}{dx} \quad (5-12)$$

$$\text{Fourier 变换} \delta(x) = \frac{1}{2\pi} \int_{-\infty}^{\infty} e^{ikx} dk \quad (5-13)$$

$$\text{Laplace 变换} \delta(t-t_0) = \int_0^{\infty} \delta(t-t_0) e^{-pt} dt = e^{-pt_0}, t_0 > 0 \quad (5-14)$$

其中 5-12 中, $\eta(x)$ 的值在小于 0 的时候是 0, 大于等于 0 的时候是 1. 我们来看一道例题:
证明:

$$\begin{aligned} \nabla^2 \frac{1}{r} &= -4\pi \delta(\mathbf{r}) \\ \text{其中 } \nabla^2 &\equiv \left(\frac{\partial}{\partial x}, \frac{\partial}{\partial y}, \frac{\partial}{\partial z} \right)^2 \equiv \frac{\partial^2}{\partial x^2} + \frac{\partial^2}{\partial y^2} + \frac{\partial^2}{\partial z^2} \\ r &\equiv |\mathbf{r}| = \sqrt{x^2 + y^2 + z^2} \quad \delta(\mathbf{r}) = \delta(x)\delta(y)\delta(z) \end{aligned}$$

proof: 面对 δ 函数的问题, 我们去考虑其积分定义:

$$\iiint \nabla^2 \frac{1}{r} d\mathbf{r} = \begin{cases} 0 & r = 0 \\ -4\pi & r \neq 0 \end{cases}$$

当 $r \neq 0$ 时, 可得:

$$\begin{aligned} \frac{\partial^2}{\partial x^2} \left(\frac{1}{\sqrt{x^2 + y^2 + z^2}} \right) &= \frac{3x^2 - (x^2 + y^2 + z^2)}{(x^2 + y^2 + z^2)^{\frac{5}{2}}} \\ \nabla^2 \frac{1}{r} &= 0 \end{aligned}$$

当 $r = 0$ 的时候, 我们利用球坐标换元可得,

$$\begin{aligned}\iiint \nabla^2 \frac{1}{r} d\mathbf{r} &= \lim_{a \rightarrow 0} \iiint \frac{1}{\sqrt{x^2 + y^2 + z^2 + a^2}} dx dy dz \\ &= - \lim_{a \rightarrow 0} \iiint \frac{3a^2 r^2}{(r^2 + a^2)^{\frac{5}{2}}} \sin \theta dr d\theta d\phi \\ &= -12\pi \lim_{a \rightarrow 0} \int_{a=0}^{\infty} \frac{a^2 r^2}{(r^2 + a^2)^{\frac{5}{2}}} dr \\ &= -4\pi\end{aligned}$$

5.4 常微分方程初值问题的 Green 函数

我们关注这样的方程:

$$\begin{aligned}\frac{d^2 g(t; \tau)}{dt^2} + k^2 g(t; \tau) &= \delta(t - \tau) \quad t > 0, \tau > 0 \\ g(0; \tau) > 0 \quad g'(0; \tau) &= 0\end{aligned}\tag{5-15}$$

我们可以先写出它的一个通解:

$$g(t; \tau) = \begin{cases} A(\tau) \sin kt + B(\tau) \cos kt & t < \tau \\ C(\tau) \sin kt + D(\tau) \cos kt & t > \tau \end{cases}$$

根据初值问题我们可以得到 $A(\tau) = B(\tau) = 0$ 而且在 $t = \tau$ 的时候, 函数应该是连续的, 而且利用两边的积分性, 在 $t = \tau$ 的时候, $k^2 g(t; \tau)$ 是基本不变的, $\delta(t - \tau)$ 的值变化为 1, 所以 $\int_{t=\tau^-}^{t=\tau^+} \frac{d^2 g(t; \tau)}{dt^2} dt = \frac{dg(t; \tau)}{dt}$ 的变化为 1, 于是就有:

$$\begin{aligned}C(\tau) \sin k\tau + D(\tau) \cos k\tau &= 0 \\ C(\tau) \cos k\tau - D(\tau) \sin k\tau &= \frac{1}{k}\end{aligned}$$

$$\text{解出 } C(\tau) = \frac{\cos k\tau}{k}, D(\tau) = \frac{-\sin k\tau}{k}$$

5.5 习题补充

牢记 Γ 函数的定义是有用的。 $\int_0^\infty e^{-t} t^{z-1} dt$ 这个函数主要可以化简连乘表达式。我们还要注意: $\Gamma(-n) = \frac{(-1)^n}{n!} (n = 0, 1, 2, \dots)$ 。

例 1: 化简表达式 $f(k) = (a+b)(a+2b)\dots(a+kb)$

解: 根据 Γ 函数的阶乘性质, 可以得到:

$$f(k) = b^{k+1} (a/b + 1)(a/b + 2)\dots(a/b + k) = b^{k+1} \frac{\Gamma(a/b + 1)}{\Gamma(a/b + k + 1)}$$

例 2: (1) 证明: $\delta(x^2 - a^2) = \frac{1}{2a} [\delta(x - a) + \delta(x + a)]$

(2) 把 $\delta(x - x_0)\delta(y - y_0)$ 理解为在 (x_0, y_0) 处有一单位点电荷, 求 $\delta(x^2 - 1)\delta(y^2 - 4)$ 的物理含义。

6 留数定理

6.1 留数定理的引入

留数定理：设有界区域 G 的边界 C 为分段光滑简单闭合曲线，若除去有限个奇点 $b_k (k = 1, 2, 3, \dots)$ 外，函数 $f(z)$ 在区域内单值解析，在 \hat{G} 连续，则沿区域边界正向的积分：

$$\oint_C f(z) dz = 2\pi i \sum_{k=1}^n \text{res} f(b_k) \quad (6-1)$$

$\text{res} f(b_k)$ 是称函数在奇点处的**留数**。她等于在奇点 Laurent 展开的负一次项的系数。

留数定理本质上就是有界 Cauchy 公式和 Laurent 展开的综合运用。如果 b_k 是极点，那么我们该怎么快速计算出留数吗？设 $z = b$ 是 $f(z)$ 的 m 阶极点，则：

$$\begin{aligned} f(z) &= a_{-m}(z-b)^{-m} + a_{-m+1}(z-b)^{-m+1} + \dots + a_{-1}(z-b)^{-1} + a_0 + \dots \\ (z-b)^m f(z) &= a_{-m}(z-b) + a_{-m+1}(z-b)\dots + a_{-1}(z-b)^{-1+m} + a_0(z-b)^m + \dots \\ a_{-1} &= \frac{1}{(m-1)!} \frac{d^{m-1}}{dz^{m-1}} (z-b)^m f(z) \quad (z=b) \end{aligned} \quad (6-2)$$

特殊的，当 b_k 是一阶极点的时候：

$$a_{-1} = \lim_{z \rightarrow b} (z-b)f(z) \quad (6-3)$$

这个极限可以用洛必达法则进一步化简。

example: (1) 求出 $\frac{e^{iaz} - e^{ibz}}{z^2}$, $\frac{1}{(z^2+1)^3}$ 所有独立奇点，并说明它们是几阶极点。

(2) 求孤立奇点的留数。

解: (1) $\frac{e^{iaz} - e^{ibz}}{z^2}$ 的奇点为 0，判断 $\frac{z^2}{e^{iaz} - e^{ibz}}$ 中 0 是几阶零点，判断其一阶导数不为 0，因此是 0 为原函数一阶极点。(或者判断分子是二阶零点，分母是二阶零点，因此是一阶零点) $\frac{1}{(z^2+1)^3}$ 的奇点是 i 与 $-i$ ，是三阶极点。

(2) 对于第一个式子：

$$\text{res} f(0) = \lim_{z \rightarrow 0} z \cdot \frac{e^{iaz} - e^{ibz}}{z^2} = i(a-b)$$

对于第二个式子：

$$\text{res} f(\pm i) = \frac{1}{2!} \frac{d^2}{dz^2} [(z \pm (-i))^3 \cdot \frac{1}{(z^2+1)^3}] = \pm \frac{-3}{16} i$$

无穷远点的留数该怎么确认呢？令 $z = \frac{1}{t}$ ，则：

$$\begin{aligned} \text{res} f(\infty) &= \frac{-1}{2\pi i} \oint_C \frac{f(\frac{1}{t})}{t^2} dt \\ &= \frac{f(\frac{1}{t})}{t^2} \text{在 } t=0 \text{ 展开中负一次项系数} \\ &= -f(\frac{1}{t}) \text{在 } t=0 \text{ 展开时 1 次项系数} \\ &= -f(z) \text{在 } z=\infty \text{ 展开的负一次项系数} \end{aligned}$$

因此只是需要我们加上一个负号即可。

6.2 有理三角积分与无穷积分

对于以下的有理三角积分：

$$I = \int_0^{2\pi} R(\sin \theta, \cos \theta) d\theta$$

我们做换元： $\sin \theta = \frac{z^2-1}{2iz}$, $\cos \theta = \frac{z^2+1}{2z}$, 上述的式子可以化简成：

$$I = \oint_{|z|=1} R\left(\frac{z^2-1}{2iz}, \frac{z^2+1}{2z}\right) \frac{dz}{iz} \quad (6-4)$$

example: 计算积分 $I = \int_0^\pi \frac{1}{1+\varepsilon \cos \theta} d\theta, |\varepsilon| < 1$

$$\begin{aligned} \int_0^\pi \frac{1}{1+\varepsilon \cos \theta} d\theta &= \frac{1}{2} \int_{-\pi}^\pi \frac{1}{1+\varepsilon \cos \theta} d\theta \\ &= \frac{1}{2} \oint_{|z|=1} \frac{1}{1+\varepsilon \frac{z^2+1}{2z}} \frac{dz}{iz} \\ &= \frac{1}{2} \oint_{|z|=1} \frac{2}{\varepsilon z^2 + 2z + \varepsilon} \frac{dz}{iz} \\ &= \pi \sum_{|z|<1} \operatorname{res} \frac{2}{\varepsilon z^2 + 2z + \varepsilon} \\ &= \frac{2\pi}{\varepsilon z^2 + 2z + \varepsilon} \Big|_{z=(-1+\sqrt{1-\varepsilon^2})/\varepsilon} \\ &= \frac{\pi}{\sqrt{1-\varepsilon^2}} \end{aligned}$$

重要的是我们在找模长小于 1 的奇点，因此我们没有求另一个奇点的留数。并且我们倒数第二步直接使用了洛必达法则，即分母求导数了，因此我们可以快速得到结果。

无穷积分：无穷积分在复平面路径上来看，积分路径是一条实轴，并不是一个积分围道。因此我们的办法是：(1) 将实函数 $f(x)$ 定义域延拓到整个复平面为复函数 $f(z)$ 。(2) 补充适当的积分路径形成闭合围道，在上半平面补上以 O 为圆心， R 为半径的半圆弧 C_R (**围道的选取方式不只有这一种**)。(3) 如果闭合围道上没有奇点并且范围内有只有有限个奇点，应用留数定理计算围道积分。并且令 $R \rightarrow \infty$ 。

example: 计算积分 $\int_{-\infty}^{\infty} \frac{dx}{(1+x^2)^3}$

解：考虑复平面上的积分，考虑 (2) 的类似围道。根据留数定理：

$$\oint_C \frac{dz}{(1+z^2)^3} = \int_{-R}^R \frac{dx}{(1+x^2)^3} + \int_{C_R} \frac{dz}{(1+z^2)^3} = 2\pi i \operatorname{res} \frac{1}{(1+z^2)^3} \Big|_{z=i} = \frac{3}{8}\pi$$

根据大圆弧引理，当 $R \rightarrow \infty$ 时， $z \cdot \frac{1}{(1+x^2)^3} = 0$ ，原第二项积分的值为 $i \cdot 0 \cdot [\pi - (-\pi)] = 0$ 因此原式值为 $\frac{3\pi}{8}$ 。当然第二项也可以换元 $z = Re^{i\theta}$ 积分，但是不一定能积出来。

example: 计算定积分 $\int_0^\infty \frac{dx}{1+x^4}$

解：我们考虑一个 $\frac{1}{4}$ 圆的围道： $0 \rightarrow R \rightarrow iR$ ，因此在这个围道里只有一个奇点 $e^{\frac{i\pi}{4}}$ ，根据留

数定理我们有:

$$\begin{aligned}
 \oint_c \frac{dz}{1+z^4} &= \int_0^R \frac{dx}{1+x^4} + \oint_{C_R} \frac{dz}{1+z^4} + \int_0^R \frac{idy}{1+(iy)^4} \\
 &= (1-i) \int_0^R \frac{dx}{1+x^4} + \oint_{C_R} \frac{dz}{1+z^4} \\
 &= 2\pi i \operatorname{res} \frac{1}{1+z^4} \Big|_{z=e^{i\pi/4}} \\
 &= \frac{\pi(1-i)}{2\sqrt{2}}
 \end{aligned}$$

而且第二项同样用大圆弧定理理解出为 0, 因此原式答案为 $\frac{\sqrt{2}\pi}{4}$

含三角函数的无穷积分: 我们考虑如下的两个积分:

$$I = \int_{-\infty}^{\infty} f(x) \cos px dx \quad I = \int_{-\infty}^{\infty} f(x) \sin px dx$$

这里我们仍然选择半圆的积分围道。但是被积函数我们不选择上述函数, 因为有了 $zf(z)$ 的一致收敛性, 大圆弧定理不适用, 直接积分也不一定有效。因此我们考虑 $f(z)e^{ipz}$, 则有:

$$\begin{aligned}
 \oint_c f(z)e^{ipz} dz &= \int_{-R}^R f(x)e^{ipx} dx + \int_{C_R} f(z)e^{ipz} dz \\
 &= \int_{-R}^R (\cos px + i \sin px) dx + \int_{C_R} f(z)e^{ipz} dz
 \end{aligned} \tag{6-5}$$

那么第二项积分我们怎么算呢? 我们介绍一个引理:

Jordan 引理: 设 $0 \leq \arg z \leq \pi$ 的范围内, 当 $|z| \rightarrow \infty$ 时 $Q(z)$ 一致趋近于 0, 则:

$$\lim_{R \rightarrow \infty} \int_{C_R} Q(z)e^{ipz} dz = 0 \tag{6-6}$$

证明: 本质上是对一致收敛的理解: $|Q(z)| < \varepsilon$ 并且与辐角无关。我们来说明:

$$\begin{aligned}
 \left| \int_{C_R} Q(z)e^{ipz} dz \right| &= \left| \int_0^\pi Q(Re^{i\theta}) e^{ipR(\cos \theta + i \sin \theta)} Re^{i\theta} i d\theta \right| \\
 &\leq |Q(Re^{i\theta})| e^{-pR \sin \theta} R d\theta \\
 &< \varepsilon R \int_0^\pi e^{-pR \sin \theta} d\theta \\
 &= 2\varepsilon R \int_0^{\frac{\pi}{2}} e^{-pR \sin \theta} d\theta \\
 &< 2\varepsilon R \int_0^{\frac{\pi}{2}} e^{-pR 2\theta/\pi} d\theta \\
 &= \frac{\varepsilon \pi}{p} (1 - e^{-pR}) \rightarrow 0
 \end{aligned}$$

example: 计算积分 $\int_0^\infty \frac{x \sin x}{x^2+a^2} dx \quad a > 0$

解: 我们采用半圆形的围道, 利用留数定理可得:

$$\begin{aligned}
 \oint_c \frac{ze^{iz}}{z^2+a^2} dz &= \int_{-R}^R \frac{xe^{ix}}{x^2+a^2} dx + \int_{C_R} \frac{ze^{iz}}{z^2+a^2} dz \\
 &= 2\pi i \operatorname{res} \frac{ze^{iz}}{z^2+a^2} \Big|_{z=ai} \\
 &= \pi i e^{-a}
 \end{aligned}$$

而且 $\lim_{z \rightarrow \infty} \frac{z}{z^2 + a^2} = 0$, 由 Jordan 引理可知原式为 $\pi i e^{-a}$, 那么则就有:

$$\begin{aligned}\int_{-\infty}^{\infty} \frac{x \sin x}{x^2 + a^2} dx &= \operatorname{Im}[\pi i e^{-a}] \\ \int_0^{\infty} \frac{x \sin x}{x^2 + a^2} dx &= \frac{\pi}{2} e^{-a}\end{aligned}$$

6.3 积分路径上有奇点的情形

example: 计算主值积分 $\text{v.p.} \int_{-\infty}^{\infty} \frac{dx}{x(1+x+x^2)}$

解: 由于 0 是原函数的瑕点, 因此在延拓到复平面的时候, 我们需要考虑挖去原点, 因此在半圆的路径上在原点为圆心挖去一个半径为 δ 的小半圆, 即就是:

$$\begin{aligned}\oint_c \frac{dz}{z(1+z+z^2)} &= \int_{-R}^{-\delta} \frac{dx}{x(1+x+x^2)} + \int_{C_\delta} \frac{dx}{x(1+x+x^2)} + \int_R^\delta \frac{dx}{x(1+x+x^2)} + \int_{C_R} \frac{dx}{x(1+x+x^2)} \\ &= 2\pi i \operatorname{res} \left. \frac{1}{z(1+z+z^2)} \right|_{z=e^{2\pi/3}} \\ &= -\frac{\pi}{\sqrt{3}} - i\pi\end{aligned}$$

第二项积分由小圆弧定理: $\lim_{z \rightarrow 0} z \cdot \frac{1}{z(1+z+z^2)} = 1$ 可知, 积分值为 $i \cdot 1 \cdot (0 - \pi) = -\pi i$

第四项积分由大圆弧定理: $\lim_{z \rightarrow \infty} z \cdot \frac{1}{z(1+z+z^2)} = 0$ 可知, 积分值为 0

因此原式为 $-\frac{\pi}{\sqrt{3}}$

在这里我们要注意一个问题, 比如 $\frac{\sin x}{x}$ 延拓到复平面为 $\frac{e^{iz}}{z}$, 而 0 不是前者的瑕点, 但确是后者的奇点, 那么**我们的积分围道仍然需要绕开 0**.

6.4 习题补充

我们先重申一遍: **只有极点才能用微分法求留数, 其他的奇点都必须用 Laurent 展开去找, 且极点的阶数确认是很重要的。**

例 1: $f(z) = \frac{p(z)q(z)}{m(z)}$ 其中 $z = z_0$ 是 $p(z)$ 的二阶极点、 $q(z)$ 的一阶零点、 $m(z)$ 的二阶零点, 求问 $z = z_0$ 是 $f(z)$ 的几阶零点/极点。

解: 例 1 在后续的例题中有广泛的运用, 因此需要熟练。 $p(z) = \frac{P(z)}{(z-z_0)^2}$ $q(z) = (z - z_0)Q(z)$ $m(z) = (z - z_0)M(z)$, 因此 $f(z) = \frac{1}{(z-z_0)^2} \frac{P(z)Q(z)}{M(z)}$, 所以是二阶极点。

例 2: (求留数) 求下列函数在孤立奇点的留数:

$$z^m \sin \frac{1}{z} (m = 2, 3, 4, \dots) \qquad \frac{1}{z} e^{1/1-z}$$

解: 对于第一个函数, 非独立奇点为 0, ∞ 。并且 0 是本性奇点, ∞ 是 m 阶极点。我们进行 Laurent 展开求解, 可得到:

$$\operatorname{res} f(0) = \begin{cases} \frac{(-1)^k}{(2k+1)!} & m = 2k \\ 0 & m = 2k + 1 \end{cases}$$

由于 Cauchy 积分在围道的积分值等于奇点邻域的积分值, 因此做一个包括所有奇点的奇点, 所有奇点邻域的积分值和为 0。因此**留数和也为 0, 所以有:**

$$\operatorname{res} f(\infty) = -\operatorname{res} f(0)$$

第二个方程: $z=0$ 是一阶极点, $z=1$ 是本性奇点 (发现无法模仿例 1 的哪种方式, 极限也不是常数的时候就要考虑本性奇点了), $z=\infty$ 是可去奇点。在 $z=1$ 做 Laurent 展开一定要注意换元 $z-1=t$ 来变成在原点展开。

$$\operatorname{res} f(0) = e^{1/1-z} \Big|_{z=0} = e$$

$$\frac{1}{1-(-t)} e^{1/-t} = \sum_{k=0}^{\infty} (-t)^k \sum_{l=0}^{\infty} \frac{(-t)^{-l}}{l!} = \sum_{n=0}^{\infty} \sum_{m=0}^n \frac{(-t)^{n-2m}}{m!}$$

我们关注负 1 次项, 因此 $n-2m=-1, m=1, 2, 3, \dots$, 因此有:

$$\operatorname{res} f(1) = - \sum_{m=1}^{\infty} \frac{1}{k!} = 1 - \sum_{m=0}^{\infty} \frac{1}{k!} = 1 - e$$

因此我们就能得到:

$$\operatorname{res} f(\infty) = -f(0) - f(1) = -1$$

例 3: 计算下列积分

$$\oint_{|z|=R} \frac{z dz}{e^{i2\pi z^2} - 1} (n^2 < R^2 < n^2 + 1, n \in \mathcal{N}^+) \quad \int_0^\pi \frac{d\theta}{1 + \cos^2 \theta} \quad \int_{-\infty}^{\infty} \frac{dx}{(1+x^2) \cosh \pi x/2}$$

第一个式子我们在第二章处理过, 奇点为 $z = \pm\sqrt{k}$ 。当 z 不为 0 的时候, 显然是一个 1 阶极点, 此时:

$$\operatorname{res} f(\sqrt{k}) = \frac{z}{4\pi i z e^{i2\pi z^2}} \Big|_{z=\sqrt{k}} = \frac{1}{4\pi i}$$

当 z 为 0 的时候, 是分母的二阶极点, 分子的一阶极点, 因此也是整体的一阶极点。因此

$$\operatorname{res} f(0) = \frac{z}{4\pi i z e^{i2\pi z^2}} \Big|_{z=0} = \frac{1}{4\pi i}$$

因此原式

$$= 2\pi i(4n+1)/4\pi i = (4n+1)/2$$

第二题我们可以直接换三角函数, 但是稍微麻烦一丢丢, 我们用倍角公式简化一下:

$$\begin{aligned} \int_0^\pi \frac{d\theta}{1 + \cos^2 \theta} &= \int_0^\pi \frac{2d\theta}{3 + 2\cos 2\theta} = \int_0^{2\pi} \frac{d\phi}{3 + \cos \phi} \\ &= \oint_{|z|=1} \frac{2z}{6z + (z^2 + 1)} \frac{dz}{iz} \\ &= 2\pi \frac{2}{2z + 6} \Big|_{z=2\sqrt{2}-3} = \frac{\pi}{\sqrt{2}} \end{aligned}$$

第三题我们要想起来: $\cosh t = (e^{it} + e^{-it})/2$ 。延拓到复数域积分为 $f(z) = \frac{dz}{(1+z^2) \cosh \pi z/2}$ 由于:

$$\lim_{n \rightarrow \infty} \frac{z}{(1+z^2) \cosh \pi z/2} < \lim_{n \rightarrow \infty} \frac{z}{(1+z^2)} = 0$$

大圆弧定理仍旧适用, 为 0。因此原式就是上半平面的留数和。上半平面所有的奇点为 $z = (2k+1)i$, 下边过程不再叙述。

例 3: 计算下列积分:

$$\int_0^{\infty} \frac{x - \sin \pi x}{x(x^2 - 1)} dx \qquad \int_0^{\infty} \sin(x^2) dx$$

解: 构造函数 $f(z) = \frac{z+ie^{i\pi z}}{z(z^2-1)}$, 这样使得原函数是它的实部。因此我们有:

$$\oint \frac{z+ie^{i\pi z}}{z(z^2-1)} dz = \int_{-\infty}^{\infty} \frac{x+ie^{i\pi x}}{x(x^2-1)} dx + \int_{c_{\infty}} \frac{z+ie^{i\pi z}}{z(z^2-1)} dz \\ + \int_{c_1} \frac{z+ie^{i\pi z}}{z(z^2-1)} dz + \int_{c_0} \frac{z+ie^{i\pi z}}{z(z^2-1)} dz + \int_{c_{-1}} \frac{z+ie^{i\pi z}}{z(z^2-1)} dz$$

这是因为 0, -1, 1 是奇点。由于 Jordan 定理, C_{∞} 第二项积分是 0。然后判断奇点小圆弧定理的性质, 求 $zf(z)$ 的极限:

$$\lim_{z \rightarrow 0} z \cdot \frac{z+ie^{i\pi z}}{z(z^2-1)} dz = -i \\ \lim_{z \rightarrow 1} (z-1) \cdot \frac{z+ie^{i\pi z}}{z(z^2-1)} dz = \frac{1-i}{2} \\ \lim_{z \rightarrow -1} (z+1) \cdot \frac{z+ie^{i\pi z}}{z(z^2-1)} dz = -\frac{1+i}{2} \\ \therefore \int_{c_1} \frac{z+ie^{i\pi z}}{z(z^2-1)} dz + \int_{c_0} \frac{z+ie^{i\pi z}}{z(z^2-1)} dz + \int_{c_{-1}} \frac{z+ie^{i\pi z}}{z(z^2-1)} dz \\ = -i\pi(-i + \frac{1-i}{2} - \frac{1+i}{2}) = -2i\pi$$

而等式左边使用留数定理。上半平面没有奇点, 等式左边为 0, 因此原式答案为 $\text{Re}(2i\pi) \cdot 1/2 = \pi$
第二题我们想到变换 e^{iz^2} 。如果我们取半圆则我们要说明 $\int_c e^{iz^2} dz$ 的敛散性。这不能用 Jordan 引理。

实际上, 这也不能用 $\frac{1}{4}$ 圆, 我们实际用得是 $\frac{\pi}{2n} (n=2)$ 的扇形。下略。

7 Laplace 变换

7.1 Laplace 变换的定义与性质

拉氏变换是一种积分变换, 它把定义在正实轴上的函数 $f(t)$ 变换为复平面上的函数 $F(p)$

$$F(p) = \int_0^{\infty} e^{-pt} f(t) dt \quad (7-1)$$

这里的 t 是非负实数, p 是复数, $F(p)$ 是 $f(t)$ 的 **Laplace 换式**, e^{-pt} 是 **Laplace 变换的核**, 我们写作 $F(p) = \mathcal{L}\{f(t)\}$ 或 $f(t) = \mathcal{L}^{-1}\{F(p)\}$ 。我们也称为**原函数和像函数**, 求像函数的运算称作求原函数的 Laplace 变换, 求原函数的运算称作**反演**。

在本章我们约定 $t < 0$ 时, $f(t) = 0$, 即就是 $f(t)\eta(t)$, 后者称作**单位阶跃函数**。

例如 $f(t) = e^{\alpha t}$ 做 Laplace 变换:

$$e^{\alpha t} = \int_0^{\infty} e^{-pt} \cdot e^{\alpha t} dt = -\frac{e^{-pt+\alpha t}}{t} \Big|_0^{\infty} = \frac{1}{p-\alpha} \quad \text{Re } p > \text{Re } \alpha \quad (7-2)$$

显然可知, Laplace 变换存在的条件就是积分收敛的条件。我们来介绍 Laplace 变换存在的充分条件:

(1) $f(t)$ 在区间 $0 \leq t < \infty$ 上除了第一类间断点外都是连续的, 且导数连续, 且在任意区间内间断点有限:

$$(2) \exists M > 0, t_0 > 0, s' \geq 0. \forall t > t_0, |f(t)| < Me^{s't}$$

这里不加证明。Laplace 变换还具有许多性质:

性质 1: Laplace 变换是一个线性变换。若 $F_1(p) = \mathcal{L}\{f_1(t)\}$ 且 $F_2(p) = \mathcal{L}\{f_2(t)\}$, 则有:

$$\mathcal{L}\{f_1(t) + f_2(t)\} = F_1(p) + F_2(p) \quad (7-3)$$

因此我们可以得到:

$$\sin \omega t = \frac{e^{i\omega t} - e^{-i\omega t}}{2i} = \frac{1}{2i} \left(\frac{1}{p - i\omega} - \frac{1}{p + i\omega} \right) = \frac{\omega}{p^2 + \omega^2} \quad (7-4)$$

$$\cos \omega t = \frac{p}{p^2 + \omega^2} \quad (7-5)$$

性质 2: Laplace 变换具有解析性。

性质 3: 若 $f(t)$ 满足 Laplace 变换的充分条件, 则当 $\text{Re } p = s \rightarrow \infty$ 时, $F(p) \rightarrow 0$

性质 4: 原函数导数的 Laplace 变换。设 $f(t), f'(t)$ 的 Laplace 变换都存在, 则由于:

$$\int_0^\infty f'(t)e^{-pt} dt = f(t)e^{-pt} \Big|_0^\infty + p \int_0^\infty f(t)e^{-pt} dt$$

因此则有:

$$\mathcal{L}\{f'(t)\} = pF(p) - f(0) \quad (7-6)$$

$$\mathcal{L}\{f^{(n)}(t)\} = p^n f(t) - p^{n-1} f(0) - p^{n-2} f'(0) - \dots - pf^{(n-2)}(0) - f^{(n-1)}(0) \quad (7-7)$$

性质 5: 原函数积分的 Laplace 变换。若原函数 $f(t)$ 满足 Laplace 变换的充分条件。则:

$$\mathcal{L}\left\{\int_0^t f(\tau) d\tau\right\} = \frac{F(p)}{p} \quad (7-8)$$

性质 4,5 可以解微分方程。我们在介绍完反演之后来做两道例题感受一下,

7.2 Laplace 变换的反演

原函数如果是连续函数, 那么 Laplace 变换的反演具有唯一性。我们介绍两个性质:

性质 1: 像函数导数的反演。设 $f(t)$ 满足 Laplace 变换存在的充分条件, 则 $F(p)$ 在 $\text{Re } p \geq s_1 > s_0$ 的半平面上解析。因而可以在积分号下求导:

$$F^{(n)}(p) = \frac{d^n}{dp^n} \int_0^\infty f(t)e^{-pt} dt = \int_0^\infty (-t)^n f(t)e^{-pt} dt$$

因此我们就有:

$$\mathcal{L}^{-1}\{F^{(n)}(p)\} = (-t)^n f(t) \quad (7-9)$$

$$\mathcal{L}^{-1}\left\{\frac{1}{p^2}\right\} = t \quad (7-10)$$

7-10 是利用 1 的 Laplace 变换是 $\frac{1}{p}$ 。因此对 7-10 两侧反复求导就可以得到 p 的任意负幂次方的反演, 因此我们可以求有理函数的反演公式。(记住公式 7-2 是有用的)

性质 2: 像函数积分的反演。如果 $G(p) = \int_p^\infty F(q) dq$ 存在, 当 $t \rightarrow 0$ 时 $|f(t)/t|$ 有界, 则:

$$\mathcal{L}^{-1} \left\{ \int_p^\infty F(q) dq \right\} = \frac{f(t)}{t} \quad (7-11)$$

基于此我们可以求出更多的 Laplace 变换, 例如:

$$\mathcal{L}^{-1} \left\{ \frac{\sin \omega t}{t} \right\} = \int_p^\infty \frac{\omega}{q^2 + \omega^2} dq = \frac{\pi}{2} - \arctan \frac{p}{\omega} \quad (7-12)$$

当然, 由 7-11 我们可以得出, $\int_p^\infty F(q) dq = \int_0^\infty \frac{f(t)}{t} e^{-pt} dt$, 如果 p 趋近于 0 的时候两边积分仍然存在, 我们就可以得到公式:

$$\int_0^\infty F(p) dp = \int_0^\infty \frac{f(t)}{t} dt \quad (7-13)$$

利用 7-11 我们可以计算 $\int_0^\infty \frac{f(t)}{t} dt$, 例如:

$$\int_0^\infty \frac{\cos at - \cos bt}{t} dt = \int_0^\infty \left(\frac{p}{p^2 + a^2} + \frac{p}{p^2 + b^2} \right) dp = \ln b - \ln a \quad (7-14)$$

下边我们来做两道例题:

example: (1) LR 串联电路, 开关关上前没有电流, 求关掉开关的电流。 (2) LC 串联电路电流。

解: (1) 根据基尔霍夫定律我们列出方程:

$$L \frac{di}{dt} + Ri = E \quad i(0) = 0$$

做 Laplace 变换到 $I(p)$, 则根据 7-6 有:

$$\begin{aligned} \mathcal{L} \{i'(t)\} &= pI(p) - i(0) = pI(p) \\ LpI(p) + RI(p) &= \frac{E}{p} \quad \text{左右两边都要变换!!!} \\ I(p) &= \frac{E}{p} \left(\frac{1}{p} - \frac{L}{Lp + R} \right) \\ i(t) &= \frac{E}{R} [1 - e^{-(R/L)t}] \end{aligned}$$

解: (2) 利用基尔霍夫定律可得:

$$\begin{aligned} \frac{q(t)}{C} &= L \frac{di}{dt} \\ q(t) &= - \int_0^t i(\tau) d\tau + q_0 \\ \Rightarrow L \frac{di}{dt} + \frac{1}{C} \int_0^t i(\tau) d\tau &= \frac{q_0}{C} \end{aligned}$$

做 Laplace 变换到 $I(p)$, 则根据 7-8 有:

$$\begin{aligned} LpI(p) + \frac{1}{C} \frac{I(p)}{p} &= \frac{q_0}{Cp} \\ I(p) &= \frac{q_0}{LCp^2 + 1} \\ i(t) &= \frac{q_0}{\sqrt{LC}} \sin \frac{t}{\sqrt{LC}} \end{aligned}$$

如果 $F(p) = F_1(p) \cdot F_2(p)$, 我们介绍**卷积定理** (在书 P126 -P127 有证明, 这里不再介绍证明):

$$\mathcal{L}^{-1}\{F_1(p)F_2(p)\} = \int_0^t f_1(\tau)f_2(t-\tau)d\tau \quad (7-15)$$

卷积定理可以避免我们求像函数的具体表达式。例如在上面的例题的第一问中设输入电压为 $\mathcal{E}(t)$, 我们可以得到:

$$\begin{aligned} LpI(p) + RI(p) &= E(p) \\ I(p) &= \frac{1}{Lp + R}E(p) \\ i(t) &= \int_0^t \mathcal{E}(\tau) \frac{1}{L} e^{-R(t-\tau)/L} d\tau \end{aligned}$$

7.3 普遍反演公式

我们不加证明的介绍: 若函数 $F(p) = F(s+i\sigma)$ 在区域 $\text{Re } p > s_0$ 满足: (1) $F(p)$ 解析, (2) $|p| \rightarrow \infty, F(p) \rightarrow 0$ (3) 对于所有的 $\text{Re } p = s > s_0$, 沿着直线 $L: \text{Re } p = s$ 的无穷积分 $\int_{s-i\infty}^{s+i\infty} |F(p)| d\sigma$ 收敛, 则 $F(p)$ 的原函数为:

$$f(t) = \frac{1}{2\pi i} \int_{s-i\infty}^{s+i\infty} F(p) e^{pt} dp \quad (7-16)$$

example: 计算 $F(p) = 1/(p^2 + \omega^2)^2$ 的原函数。解: 利用普遍反演公式, 原函数为:

$$f(t) = \frac{1}{2\pi i} \int_{s-i\infty}^{s+i\infty} \frac{1}{(p^2 + \omega^2)^2} e^{pt} dp$$

孤立奇点是 $\pm i\omega$ 且是二阶极点, 所以取 $s > 0$ 即可。然后构造一个围道: $s-i\omega \rightarrow s+i\omega \rightarrow$ 右半平面的半圆。由**推广的 Jordan 引理** (这里我们不在说明) $\lim_{R \rightarrow \infty} \int_{C_R} \frac{1}{(p^2 + \omega^2)^2} e^{pt} dp = 0$, 根据**留数定理**可得:

$$\begin{aligned} f(t) &= \sum_{p=\pm i\omega} \text{res} \frac{1}{(p^2 + \omega^2)^2} e^{pt} \\ &= \left[\frac{t}{(p+i\omega)^2} - \frac{2}{(p+i\omega)^3} \right] e^{pt} \Big|_{p=i\omega} + \left[\frac{t}{(p-i\omega)^2} - \frac{2}{(p-i\omega)^3} \right] e^{pt} \Big|_{p=-i\omega} \\ &= \frac{1}{2\omega^3} (\sin \omega t - \omega t \cos \omega t) \end{aligned}$$

7.4 习题补充

首先我们再次介绍我们的工具:

延迟定理 $\mathcal{L}\{f(t-\tau)\} = e^{-p\tau} F(p)$

平移定理 $F(p-p_0) = \mathcal{L}\{f(t)e^{p_0 t}\}$

导数变换 $\mathcal{L}\{f'(t)\} = pF(p) - f(0)$

含参变换 $\mathcal{L}\left\{\int_0^\infty f(t;\tau)d\tau\right\} = \int_0^\infty F(p;\tau)d\tau$

积分变换 $\mathcal{L}\left\{\int_0^t f(t)dt\right\} = \frac{F(p)}{p}$

导数反演 $\mathcal{L}^{-1}\{F^{(n)}(p)\} = (-t)^n f(t)$

积分反演 $\mathcal{L}^{-1}\left\{\int_p^\infty F(p)dp\right\} = \frac{f(t)}{t}$

一个推论 $\int_0^\infty F(p)dp = \int_0^\infty \frac{f(t)}{t} dt$

例 1: (求像函数) 若以下函数都可以做 Laplace 变换, 求解之。

$$e^{-\lambda t} \sin^2(t/2) \qquad \frac{1 - e^{-wt}}{t} \qquad \int_0^\infty \frac{\sin tx}{x} dx$$

解: 这 3 个函数代表 3 类。第一个: 利用了平移定理。第二个: 利用积分反演。第三个: 利用积分反演。

$$\begin{aligned} (1) \sin^2(t/2) &= \frac{1 - \cos t}{2} = \frac{1}{2} \left(\frac{1}{p} - \frac{p}{(1+p^2)} \right) = \frac{1}{2} \frac{1}{2p(1+p^2)} \\ e^{-\lambda t} \sin^2(t/2) &= \frac{1}{2} \frac{1}{2(p+\lambda)(1+(p+\lambda)^2)} \\ (2) 1 - e^{-wt} &= \frac{1}{p} - \frac{1}{p+w} \\ \frac{1 - e^{-wt}}{t} &= \int_p^\infty \frac{1}{p} - \frac{1}{p+w} = \ln(1+w/p) \\ (3) \int_0^\infty \frac{\sin tx}{x} dx &= \int_0^\infty \frac{1}{(x^2+p^2)} dx = \pi/2p \end{aligned}$$

例 2: (求原函数) 写出下列函数反演的结果。

$$\frac{1}{(p-1)p(p+1)} \qquad \frac{p^2}{(p^2+a^2)(p^2+b^2)} \qquad \frac{e^{-p\tau}}{(p+a)^3}$$

解: 这三个函数代表三类, 第一类是有理分式, 第二类是留数定理, 第三类是平移定理和导数反演的复合。

$$\begin{aligned} (1) \frac{1}{(p-1)p(p+1)} &= \frac{1}{4} \left[\frac{1}{p-1} - \frac{4}{p} + \frac{3}{p+1} + \frac{2}{(p+1)^2} \right] \\ &= \frac{1}{4} [e^t - 4 + 3e^{-t} + 2te^{-t}] \\ (2) \frac{p^2}{(p^2+a^2)(p^2+b^2)} &= \int_0^t \cos a\tau \cos b(t-\tau) d\tau \\ &= \frac{1}{2} \int_0^t \cos(a\tau + bt - b\tau) + \cos(a\tau - bt + b\tau) d\tau = \frac{a \sin at - b \sin bt}{a^2 - b^2} \\ (3) \frac{1}{(p+a)^3} &= \frac{1}{2} t^2 e^{-at} \\ \frac{e^{-p\tau}}{(p+a)^3} &= \frac{1}{2} t^2 e^{-(a-\tau)t} \end{aligned}$$

例 3: (计算积分) 利用 Laplace 变换计算积分:

$$\int_0^\infty \frac{\sin xt}{t} dt \qquad \int_0^\infty \frac{\sin xt}{\sqrt{x}} dx = \pi/\sqrt{2p} = \sqrt{\pi/2t}$$

解: 注意这两个积分的区别, 第一个是对 t 积分的, 因此我们需要利用积分反演的推论; 第二个积分是对 x 积分的因此我们利用含参积分的变换。第二个注意是变换相等的关系而不是数值相等的关系, 所以变换之后还要反演。

$$\begin{aligned} \int_0^\infty \frac{\sin xt}{t} dt &= \int_0^\infty \frac{x}{x^2+p^2} dp = \frac{\pi}{2} \operatorname{sgn}(x) \text{瑕积分} \\ \int_0^\infty \frac{\sin xt}{\sqrt{x}} dx &= \int_0^\infty 2 \sin x^2 t dx = 2 \int_0^\infty \frac{x^2}{p^2+x^4} dx \end{aligned}$$

例 4: (解微分方程) 求解以下的微分方程:

$$\begin{cases} f(t) = g(t) + \int_0^t f(t-\tau)e^{-\tau}d\tau \\ f'(t) + g'(t) = 2 \\ f(0) = g(0) = 1 \end{cases}$$

解: 我们对原微分方程进行变换和反演, 来消除积分和求导的影响, 因此将前两个等式进行反演可以得到:

$$\begin{aligned} F(p) &= G(p) + F(p)\frac{1}{p+\tau} \\ pF(p) - 1 + pG(p) - 1 &= 2 \end{aligned}$$

然后再反演即可。这里我们不再写。

例 5: 我们定义函数 $J_0(t) = \frac{1}{\pi} \int_0^\pi \cos(t \cos \theta) d\theta$

(1) 求像函数; (2) 利用卷积定理证明: $\int_0^t J_0(\tau)J_0(t-\tau) = \sin t$

解 (1) 根据像函数的定义我们知道:

$$\begin{aligned} \mathcal{L}J_0(t) &= \frac{1}{\pi} \int_0^\infty \int_0^\pi e^{-pt} \cos(t \cos \theta) d\theta dt \\ &= \frac{1}{2\pi} \int_{-\pi}^\pi d\theta \int_0^\infty e^{it \cos \theta - pt} dt \\ &= \frac{1}{2\pi} \int_{-\pi}^\pi \frac{1}{p - i \cos \theta} d\theta \\ &= \frac{1}{\pi} \oint_{|z|=1} \frac{dz}{z^2 + 2ipz + 1} \\ &= 2i \cdot \text{res} \frac{1}{z^2 + 2ipz + 1} \Big|_{z=-ip+i\sqrt{p^2+1}} = \frac{1}{\sqrt{p^2+1}} \end{aligned}$$

这里留数定理作为非常普遍的工具。第二问的像函数是 $\frac{1}{p^2+1}$, 得证。

8 二阶线性常微分方程的幂级数解法

8.1 二阶线性常微分方程的常点和奇点

在数学物理方程中, 经常出现一些二阶线性齐次常微分方程, 它们的标准形式是:

$$\frac{d^2w}{dz^2} + p(z)\frac{dw}{dz} + q(z)w = 0 \quad (8-1)$$

$p(z)$ 与 $q(z)$ 称作**方程的系数**。如果方程的系数都在 z_0 解析, 则 z_0 称作方程的常点; 若至少有一个不解析, 则 z_0 称作方程的奇点。

如何判断无穷远点是奇点呢? 我们做变换 $z = 1/t$, 则 9-1 变为:

$$\frac{d^2w}{dt^2} + \left[\frac{2}{t} - \frac{1}{t^2}p\left(\frac{1}{t}\right)\right]\frac{dw}{dt} + \frac{1}{t^4}q\left(\frac{1}{t}\right) = 0 \quad (8-2)$$

8.2 方程常点邻域内的解

我们不加证明的介绍如下定理：若 $p(z), q(z)$ 在圆 $|z - z_0| < R$ 内单值解析，则在圆内二阶线性齐次常微分方程的初值问题

$$\begin{aligned} \frac{d^2 w}{dz^2} + p(z) \frac{dw}{dz} + q(z)w &= 0 \\ w(z_0) &= c_0 \quad w'(z_0) = c_1 \end{aligned}$$

有唯一的解并且在圆内单值解析。这就意味着我们可以把解展开成 Taylor 级数，也就是解的形式为：

$$w(z) = \sum_{k=0}^{\infty} c_k (z - z_0)^k$$

example: Legendre 方程的形式为：

$$(1 - z^2) \frac{d^2 w}{dz^2} - 2z \frac{dw}{dz} + l(l - 1)w = 0 \quad (8-3)$$

求解：(1) $z = \infty$ 是否为 8-3 的奇点。(2) 8-3 在 $z = 0$ 邻域内的解。

解：(1) 做代换 $z = 1/t$, 易证其为奇点。

(2) 利用 Taylor 展开和系数递推关系

$$\begin{aligned} w &= \sum_{k=0}^{\infty} c_k z^k, \quad |z| < 1 \\ \sum_{k=0}^{\infty} \{ (k+2)(k+1)c_{k+2} - [k(k+1) - l(l+1)]c_k \} z^k &= 0 \\ \{ (k+2)(k+1)c_{k+2} - [k(k+1) - l(l+1)]c_k \} z^k &= 0 \\ c_{k+2} &= \frac{k(k+1) - l(l+1)}{(k+2)(k+1)} c_k = \frac{(k-l)(k+l+1)}{(k+2)(k+1)} c_k \end{aligned}$$

因此通过递推可以得到：

$$\begin{aligned} c_{2n} &= \frac{c_0}{(2n)!} (2n-l-2)(2n-l-4)\dots(-l)(2n+l+1)(2n+l+3)\dots(l+1) \\ &= \frac{2^{2n} c_0}{(2n)!} (n - \frac{1}{2}l - 1)(n - \frac{1}{2}l - 2)\dots(-\frac{l}{2})(n + \frac{1}{2}l - \frac{1}{2})(n + \frac{1}{2}l - \frac{3}{2})\dots(\frac{l}{2} + \frac{1}{2}) \\ &= \frac{2^{2n}}{(2n)!} \frac{\Gamma(n - \frac{l}{2})}{\Gamma(-\frac{l}{2})} \frac{\Gamma(\frac{l+1}{2} + n)}{\Gamma(\frac{l+1}{2})} c_0 \\ c_{2n+1} &= \frac{c_1}{(2n+1)!} (2n-l-1)(2n-l-3)\dots(-l+1)(2n+l)(2n+l-2)\dots(l+2) \\ &= \frac{2^{2n}}{(2n+1)!} \frac{\Gamma(n - \frac{l-1}{2})}{\Gamma(-\frac{l}{2})} \frac{\Gamma(\frac{l}{2} + 1 + n)}{\Gamma(\frac{l+1}{2})} c_1 \end{aligned}$$

这里我们利用了 Γ 函数来化简阶乘的表达。因此 Legendre 方程在 $|z| < 1$ 的解为：

$$\begin{aligned} w(z) &= c_0 w_1(z) + c_1 w_2(z) \quad (8-4) \\ w_1(z) &= \sum_{n=0}^{\infty} \frac{2^{2n}}{(2n)!} \frac{\Gamma(n - \frac{l}{2})}{\Gamma(-\frac{l}{2})} \frac{\Gamma(\frac{l+1}{2} + n)}{\Gamma(\frac{l+1}{2})} z^{2n} \\ w_2(z) &= \sum_{n=0}^{\infty} \frac{2^{2n}}{(2n+1)!} \frac{\Gamma(n - \frac{l-1}{2})}{\Gamma(-\frac{l}{2})} \frac{\Gamma(\frac{l}{2} + 1 + n)}{\Gamma(\frac{l+1}{2})} z^{2n+1} \end{aligned}$$

这里当给定初值 c_0, c_1 时, 我们就能得出 $w(z)$ 。对 $w_1(z)$ 而言, 所有偶数次项的系数都由 c_0 控制; 对 $w_2(z)$ 而言, 所有偶数次项的系数都由 c_1 控制。且这两个解是线性无关的。因此解常点邻域的幂级数解的过程就是: **Taylor 展开——代入——系数为 0——递推关系寻找——线性无关解的得出**。。8-4 的结论是非常重要的。

而且根据常微分方程的理论, 如果我们知道 $w_1(z)$ 是 8-1 的一个解, 那么 $w_2(z)$ (不一定线性无关) 也是 8-1 的一个解, 且满足:

$$w_2(z) = Aw_1(z) \int^z \frac{1}{w_1^2(z)} \exp \left[- \int^z p(\varepsilon) d\varepsilon \right] dz \quad (8-5)$$

proof: 由于 $w_1(z)$ 与 $w_2(z)$ 都是 8-1 的解, 则有:

$$\frac{d^2 w_1}{dz^2} + p(z) \frac{dw_1}{dz} + q(z) w_1 = 0 \quad (A)$$

$$\frac{d^2 w_2}{dz^2} + p(z) \frac{dw_2}{dz} + q(z) w_2 = 0 \quad (B)$$

$A \times w_2 - B \times w_1$, 得到:

$$\begin{aligned} w_1 \frac{d^2 w_2}{dz^2} - w_2 \frac{d^2 w_1}{dz^2} + p(z) \left(w_1 \frac{dw_2}{dz} - w_2 \frac{dw_1}{dz} \right) &= 0 \\ \frac{d}{dz} \left(w_1 \frac{dw_2}{dz} - w_2 \frac{dw_1}{dz} \right) + p(z) \left(w_1 \frac{dw_2}{dz} - w_2 \frac{dw_1}{dz} \right) &= 0 \\ w_1 \frac{dw_2}{dz} - w_2 \frac{dw_1}{dz} &= A \exp \left[- \int^z p(\varepsilon) d\varepsilon \right] \\ \frac{d}{dz} \left(\frac{w_2}{w_1} \right) &= \frac{A}{w_1^2} \exp \left[- \int^z p(\varepsilon) d\varepsilon \right] \end{aligned}$$

两边再积分一次即可。

8.3 方程正则奇点邻域内的解

如果我们讨论方程的奇点是极点型 (**Laurent 展开的负幂次方有限**), 我们不加证明介绍如下定理:

如果 z_0 是 8-1 的奇点, 但在方程的系数 $p(z)$ 与 $q(z)$ 在环形区域内 $0 < |z - z_0| < R$ 解析, 那么在这个范围的两个线性无关解为:

$$\begin{aligned} w_1(z) &= (z - z_0)^{\rho_1} \sum_{k=-\infty}^{\infty} c_k (z - z_0)^k \\ w_2(z) &= g w_1(z) \ln(z - z_0) + (z - z_0)^{\rho_2} \sum_{k=-\infty}^{\infty} d_k (z - z_0)^k \end{aligned}$$

但是我们发现, 无论带入哪个解, 幂级数解有无限多个正幂项和负幂项, 递推将无穷无尽。但如果只有有限个负幂项, 我们可以调整 ρ 的值, 使得级数中没有负幂项: 此时解的形式为:

$$w_1(z) = (z - z_0)^{\rho_1} \sum_{k=0}^{\infty} c_k (z - z_0)^k \quad (8-6)$$

$$w_2(z) = g w_1(z) \ln(z - z_0) + (z - z_0)^{\rho_2} \sum_{k=0}^{\infty} d_k (z - z_0)^k \quad (8-7)$$

这种形式的解称作正则解，我们不加说明的介绍正则解存在的充要条件：\$(z - z_0)p(z)\$ 与 \$(z - z_0)^2q(z)\$ 在 \$z_0\$ 解析。这样的奇点称作正则奇点。\$\rho_1, \rho_2\$ 称作方程在正则奇点处的指标。显然，\$z = \pm 1\$ 是 Legendre 方程的正则奇点。

下面我们来分析求解过程。为了书写方便，假设正则奇点为 0。根据正则奇点的性质，我们令：

$$p(z) = \sum_{l=0}^{\infty} a_l z^{l-1} \quad q(z) = \sum_{l=0}^{\infty} b_l z^{l-2}$$

$$w(z) = z^{\rho} \sum_{k=0}^{\infty} c_k z^k$$

代入方程则有：

$$\sum_{k=0}^{\infty} c_k (k + \rho)(k + \rho - 1) z^{k+\rho-2} + \sum_{l=0}^{\infty} a_l z^{l-1} \sum_{k=0}^{\infty} c_k (k + \rho) z^{k+\rho-1} + \sum_{l=0}^{\infty} b_l z^{l-2} \sum_{k=0}^{\infty} c_k z^{k+\rho} = 0$$

经过化简（一点都不简单）得到：

$$\sum_{k=0}^{\infty} \left\{ (k + \rho)(k + \rho - 1) c_k + \sum_{l=0}^k [a_{k-l}(l + \rho) + b_{k-l}] c_l \right\} z^k = 0 \quad (8-8)$$

我们比较 0 次幂的系数，可以得到：

$$c_0 [\rho(\rho - 1) + a_0 \rho + b_0] = 0$$

两边同时除以 \$c_0\$ 就得到了指标方程，解出来两个解 \$\rho_1, \rho_2\$，规定 \$\text{Re} \rho_1 \geq \text{Re} \rho_2\$。

由 8-8 的关系可得，系数递推关系为：

$$(n + \rho)(n + \rho - 1) c_n + \sum_{l=0}^n [a_{n-l}(l + \rho) + b_{n-l}] c_l = 0 \quad (8-9)$$

代入不同的 \$\rho\$ 值，得出 \$c_k, d_k\$，那我们相当于得到了两个解，它们的形式为：

$$w_1(z) = (z - z_0)^{\rho_1} \sum_{k=0}^{\infty} c_k (z - z_0)^k$$

$$w_2(z) = (z - z_0)^{\rho_2} \sum_{k=0}^{\infty} d_k (z - z_0)^k$$

这两个解是否是线性无关的呢？如果说 \$\rho_1 = \rho_2\$，那么 \$w_1(z) = w_2(z)\$，这两个方程一定是线性相关的，第二解有对数项；如果 \$\rho_1 - \rho_2\$ 不为整数，二者一定线性无关，我们就不用求第二解了。若上述两种情况都不是，我们无法确定是否线性无关。如果两个解线性无关，我们只保留 \$w_1(z)\$，\$w_2(z)\$ 可由 8-5 推导出来。

8.4 Bessel 方程的解

我们先介绍 Bessel 方程的形式；

$$\frac{d^2 w}{dz^2} + \frac{1}{z} \frac{dw}{dz} + \left(1 - \frac{\nu^2}{z^2}\right) w = 0 \quad (8-10)$$

其中 ν 是常数, $\operatorname{Re} \nu \geq 0, z = 0$ 是方程的正则奇点, $z = \infty$ 是非正则奇点。我们来研究 $|z| > 0$ 空心邻域的解。设:

$$w(z) = z^\rho \sum_{k=0}^{\infty} c_k z^k$$

$$\sum_{k=0}^{\infty} c_k (k + \rho)(k + \rho + 1) z^{k+\rho-2} + \sum_{k=0}^{\infty} c_k (k + \rho) z^{k+\rho-2} + \sum_{k=0}^{\infty} c_k z^{k+\rho} - \nu^2 \sum_{k=0}^{\infty} c_k z^{k+\rho-2} = 0$$

约去 $z^{\rho-2}$ 可以得到:

$$\sum_{k=0}^{\infty} c_k [(k + \rho)^2 - \nu^2] z^k + \sum_{k=0}^{\infty} c_k z^{k+2} = 0$$

取 0 次幂得到指标方程, 解出 $\rho_1 = \nu, \rho_2 = -\nu$ 。下面我们取 1 次幂的系数:

$$c_1 [(\rho + 1)^2 - \nu^2] = 0$$

$$c_1 = \begin{cases} 0 & \rho \neq \frac{1}{2} \\ \text{任意值} & \rho = -\frac{1}{2} \end{cases}$$

下面我们来求系数的递推关系, 比较 n 次方的系数:

$$c_n [(\rho + 1)^2 - \nu^2] + c_{n-2} = 0$$

$$c_n = -\frac{1}{n(n + 2\rho)} c_{n+2}$$

因此利用递推关系:

$$c_{2n} = \frac{(-1)^n}{n!} \frac{\Gamma(\rho + 1)}{\Gamma(\rho + 1 + n)} \frac{1}{2^{2n}} c_0$$

$$c_{2n+1} = 0 (\text{because } c_1 = 0)$$

这里我们发现, 我们没有分类讨论, 因为当 $\rho = \frac{1}{2}$ 的时候 $c_1 = 0$ 也可以取到, 证明过程在 P147。我们代入 $\rho_1 = \nu, c_0 = 1/2^\nu \Gamma(\nu + 1)$ 与 $\rho_2 = -\nu, c_0 = 1/2^\nu \Gamma(-\nu + 1)$ 可以得到两个解: (后者只是为了答案更美观):

$$J_\nu(z) = \sum_{k=0}^{\infty} \frac{(-1)^k}{k! \Gamma(k + \nu + 1)} \left(\frac{z}{2}\right)^{2k+\nu}$$

$$J_{-\nu}(z) = \sum_{k=0}^{\infty} \frac{(-1)^k}{k! \Gamma(k - \nu + 1)} \left(\frac{z}{2}\right)^{2k-\nu}$$

当 $\nu = 0$ 时, $\rho_1 - \rho_2 = 0$ 时, 这两个解一定线性相关!

当 ν 为正整数时, 这两个解也是线性相关的。(注意: 第二解在 $k < \nu$ 且 ν 为负整数时, $\Gamma(k + \nu + 1) = \infty$, 因此求和可以从 $k = \nu$ 开始求, 然后发现它们每一项都成倍数!)

其余情况下两个解线性无关, 直接就出来了。那么如果两个解线性相关的话, 则 $w_2(z)$ 的形式为:

$$w_2(z) = g J_n(z) \ln z + \sum_{k=0}^{\infty} d_k z^{k-n}$$

, 然后经过复杂的化简整理即可。

9 数学物理方程与定解条件

9.1 物理中的数学物理方程

我们会面对很多形式的数学物理方程。首先我们来介绍**弦振动方程**：有一个完全柔软的均匀弦沿水平方向绷紧，然后使得弦沿同一平面做一小振动，求弦振动方程。

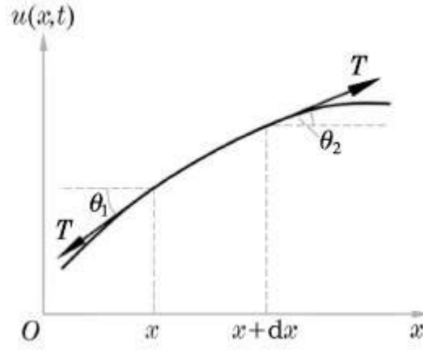


图 1: 弦振动方程图解

取弦的平衡位置为 x 轴，弦两端的位置为 $x = 0$ 与 $x = l$, $u(x; t)$ 表示离原点距离 x 的弦元在时间 t 的位移。弦是完全柔软的，因此只受切向拉力的作用，法向不受力。略去重力的作用，我们可以列出方程：

$$\begin{aligned} (T \sin \theta)_{x+\Delta x} - (T \sin \theta)_{x+\Delta x} &= dm \frac{\partial^2 u}{\partial t^2} \\ (T \cos \theta)_{x+\Delta x} - (T \cos \theta)_{x+\Delta x} &= 0 \end{aligned} \quad (9-1)$$

我们再做一个小振动近似：由于我们假设振动幅度小，因此 $u(x + \Delta x; t) - u(x; t)$ 的幅度应该远小于 Δx ，即就是：

$$\left| \frac{\partial u}{\partial x} \right| \ll 1 \quad (9-2)$$

根据 9-2 的小振动假设，则 θ 是一个很小的值，则 $\sin \theta \approx \tan \theta \approx \frac{\partial u}{\partial x}$ ，并且 $\cos \theta \approx 1$ ，因此根据方程 9-1 第二式得到**拉力大小处处相等**。设绳子的线密度是 ρ 则原方程可化简为：

$$\begin{aligned} \rho dx \frac{\partial^2 u}{\partial t^2} &= T \left[\left(\frac{\partial u}{\partial x} \right)_{x+\Delta x} - \left(\frac{\partial u}{\partial x} \right)_x \right] = T dx \frac{\partial^2 u}{\partial x^2} \\ \frac{\partial^2 u}{\partial t^2} - a^2 \frac{\partial^2 u}{\partial x^2} &= 0 \quad (a = \sqrt{\frac{T}{\rho}}) \end{aligned} \quad (9-3)$$

我们进一步讨论有外力的情形；如果弦在沿 u 的正向上受到一个外力的作用，单位长度受力大小为 f ，则把 9-3 改写为：

$$\frac{\partial^2 u}{\partial t^2} - a^2 \frac{\partial^2 u}{\partial x^2} = \frac{f}{\rho} \quad (9-4)$$

我们同理看**杆的振动方程**；均匀细杆沿杆长方向做小振动，各质点振动位移完全相同。取杆长方向为 x 轴方向，垂直于杆长做截面， $u(x; t)$ 表示杆在 x 长度的截面在时间 t 的位移。隔离一

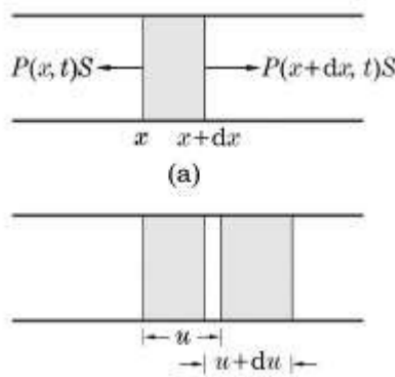


图 2: 杆振动方程图解

段杆微元, 分析其受力如图 2, 受到两侧弹性力的作用。弹性力是应力, 根据牛顿第二定律分析得到:

$$dm \frac{\partial^2 u}{\partial t^2} = [P(x + \Delta x; t) - P(x; t)] S \quad (9-5)$$

令杆的线密度为 ρS , 忽略垂直杆长的形变, 根据 Hooke 定律 (E 代表杨氏模量, 和材料性质有关)

$$P = E \frac{\partial u}{\partial x} \quad (9-6)$$

我们可以得到类似 9-3 的振动方程:

$$\frac{\partial^2 u}{\partial t^2} - a^2 \frac{\partial^2 u}{\partial x^2} = 0 (a = \sqrt{\frac{E}{\rho}}) \quad (9-7)$$

9-3 和 9-7 的形式完全一样, 我们称这一类方程为**波动方程**。在三维空间中, 波动方程的形式也是类似的。令 $u(x; y; z; t)$ 表示三维状态, 则波动方程可写为:

$$\frac{\partial^2 u}{\partial t^2} - a^2 \nabla^2 u = 0 \quad (9-8)$$

其中 ∇ 算符的意义我们在 δ 函数一部分讲过, 这里不再赘述。

接下来我们来介绍热传导方程。我们需要了解能量守恒定律与**热传导的 Fourier 定律**: 后者是指一块均匀的介质, 取一定的坐标系, 用 $u(x; y; z; t)$ 表示某一点的温度。若沿着某一坐标系 x 方向有温度差, 则也有热量的传递。**单位时间沿着垂直 x 的单位面积的热量 q 与温度变化率成正比**。即就是:

$$q = -k \frac{\partial u}{\partial x} \quad (9-9)$$

q 称为热流密度, k 成为导热率。在温度变化不大的时候, k 近似不变。负号表示热量从温度高的一侧传递到温度低的一侧。因此把 9-9 写作三维矢量形式为:

$$\mathbf{q} = -k \nabla u \quad (9-10)$$

我们现在看一个均匀介质的热传导现象, 分析这个平行六面体在 Δt 的时候流入的热量:

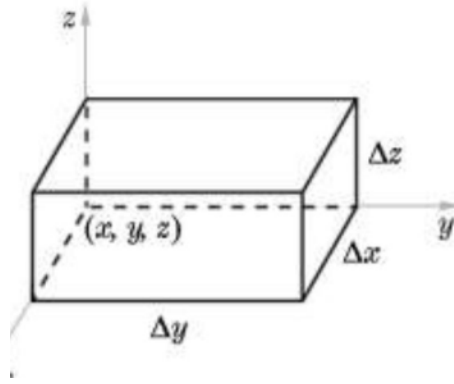


图 3: 热传导方程图解

$$\begin{aligned}
 [(q_x)_x - (q_x)_{x+\Delta x}] \Delta y \Delta z \Delta t &= k \frac{\partial^2 u}{\partial x^2} \Delta x \Delta y \Delta z \Delta t \\
 [(q_y)_y - (q_y)_{y+\Delta y}] \Delta x \Delta z \Delta t &= k \frac{\partial^2 u}{\partial y^2} \Delta x \Delta y \Delta z \Delta t \\
 [(q_z)_z - (q_z)_{z+\Delta z}] \Delta x \Delta y \Delta t &= k \frac{\partial^2 u}{\partial z^2} \Delta x \Delta y \Delta z \Delta t \\
 Q_{in} &= k \nabla^2 u \Delta x \Delta y \Delta z \Delta t
 \end{aligned} \tag{9-11}$$

Q_{in} 代表这一段时间获得的能量总和。而根据能量守恒定律，净流入能量等于温度升高需要的能量 Q_{up} ，因此：

$$\begin{aligned}
 Q_{up} &= \rho \Delta x \Delta y \Delta z \cdot c \cdot \Delta u \\
 &= k \nabla^2 u \Delta x \Delta y \Delta z \Delta t \\
 \frac{\partial u}{\partial t} - \kappa \nabla^2 u &= 0 \quad (\kappa = \frac{k}{\rho c})
 \end{aligned} \tag{9-12}$$

其中 κ 称作扩散率。如果介质中有热量产生，单位时间单位体积产生的热量记作 $F(x; y; z; t)$ ，则 9-12 改写为：

$$\frac{\partial u}{\partial t} - \kappa \nabla^2 u = \frac{1}{\rho c} F(x; y; z; t) = f(x; y; z; t) \tag{9-13}$$

我们也会关注一些稳定问题。如果在 9-13 中，物体温度达到稳定，则有 $-\kappa \nabla^2 u = f(x; y; z; t)$ ，这个方程我们称作 **Poisson 方程**。若没有外部热源，则 $\nabla^2 u = 0$ ，称作 **Laplace 方程**。

这两个方程有很广泛的应用。在静电场中，Gauss 定理有： $\nabla \cdot \mathbf{E} = \frac{\rho}{\epsilon_0}$ ，电场强度和电势的关系满足 $\mathbf{E} = -\nabla u$ ，因此静电势满足 poisson 方程 $\nabla^2 u = -\frac{\rho}{\epsilon_0}$ 。

单色波的波动方程满足 Helmholtz 方程： $\nabla^2 v(x; y; z; t) + k^2 v(x; y; z; t) = 0$ 。解决上述方程将是未来我们讨论的话题。

9.2 定解条件

为了描述一个物理现象是有唯一一个解的，除了微分方程外，我们在数学上还需要**初始条件**和**边界条件**。初始条件应该满足能提供初始时刻介质内任意一点和边界的情况。对于波动方程来说，就是给出初始时刻的位移和速度；对于热传导来说，需要给出初始时刻的温度。

边界条件给出的形式就比较多样化,但总体来说需要能说明边界上的点在任意一刻的情况。若在弦振动时两端固定,则边界条件就是任意时刻两端位移为 0;若杆初始一端固定,则边界条件就是初始点位移为 0。那如果杆的末端 $x=l$ 处受到沿杆方向向着杆内的外力 $F(t) \cdot S$ 呢?这个边界条件是什么呢?我们仍然取一小段杆元分析,令 $\varepsilon \rightarrow 0$,结合 Hooke 定律得到:

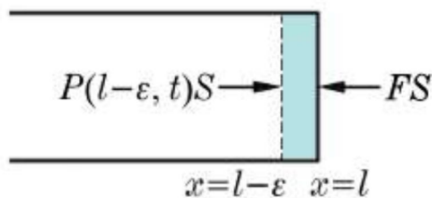


图 4: 杆末端受力边界条件

$$\begin{aligned} \rho \varepsilon S \frac{\partial^2 u}{\partial t^2} \Big|_{x=l-\varepsilon} &= P(l-\varepsilon; t)S - F(t)S \\ \frac{\partial u}{\partial x} \Big|_{x=l} &= \frac{1}{E} F(t) \end{aligned} \quad (9-14)$$

假设外力是有一个弹簧提供受力,也就是 $F(t) = -k[u(l; t) - u_0]$, 9-14 可以化简:

$$\left[\frac{\partial u}{\partial x} + \frac{k}{E} u \right] \Big|_{x=l} = \frac{k}{E} u_0 \quad (9-15)$$

热传导的边界条件有三类。我们接下来专门分类介绍:

第一类边界条件: 边界的温度已知。即就是:

$$u|_{\Sigma} = \phi(\Sigma; t) \quad (9-16)$$

第二类: 若单位时间单位面积流入内部的热量已知;我们取表面的一小层薄层,由介质表面流入的热量,应当全部通过薄层底面流入内部,所以边界条件为:

$$\frac{\partial u}{\partial n} \Big|_{\Sigma} = \frac{1}{k} \psi(\Sigma; t) \quad (9-17)$$

其中我们应用了“方向导数”的概念,即就是对任意一个向量 \mathbf{t} , 函数沿着这个方向的全微分满足: $du = \nabla u \cdot \mathbf{t}$, 在高数上册有所说明,这里不再赘述。如果**边界绝热**,则 $\psi \equiv 0$

第三类: 介质通过边界按照牛顿冷却定律散热;单位时间通过单位面积与外界交换的热量与介质表面温度 $u|_{\Sigma}$ 和外界温度差 u_0 成正比,比例系数为 H ,则:

$$-k \frac{\partial u}{\partial n} \Big|_{\Sigma} = H(u|_{\Sigma} - u_0) \quad \left[\frac{\partial u}{\partial n} + hu \right]_{\Sigma} = hu_0 \quad (9-18)$$

对于无界空间的边界问题,边界条件应该给出趋近于无穷时的极限条件。在有界空间在一些坐标系中,可能偏导在某些点没有意义,因此我们也要补上有界条件。

定解问题要满足有偏微分方程和定解条件。如果定解条件过多且互相矛盾,那么定解问题可能无解。因此我们希望定解问题的解存在、唯一、稳定(条件改变微小时候解的改变也很微小),因此我们做的近似要合理,合适。

10 线性偏微分方程的通解

10.1 解的基本性质

我们先复习上一章学到的三个方程：

$$\begin{aligned}\text{波动方程 } \frac{\partial^2 u}{\partial t^2} - a^2 \nabla^2 u &= f \\ \text{热传导方程 } \frac{\partial u}{\partial t} - \kappa \nabla^2 u &= f \\ \text{poisson 方程 } \nabla^2 u &= f\end{aligned}$$

这三个方程左侧都可以理解是函数 u 受到了一个**线性算子**的计算。例如在波动方程中，线性算子 $L \equiv \frac{\partial^2}{\partial t^2} - a^2 \nabla^2$ 。而线性算子则就满足：

$$L[\alpha_1 u_1 + \alpha_2 u_2] = \alpha_1 L(u_1) + \alpha_2 L(u_2) \quad (10-1)$$

因此我们可以把偏微分方程写作 $L[u] = f$ 的形式，若 $f \equiv 0$ ，我们就称方程是**齐次的**。

解具有叠加性。若 u_1 与 u_2 都是齐次方程 $L[u] = 0$ 的解，那么 $c_1 u_1 + c_2 u_2$ 也是齐次方程的解。

若 u_1 与 u_2 都是非齐次方程 $L[u] = f$ 的解，那么 $u_1 - u_2$ 就是齐次方程 $L[u] = 0$ 的解。**因此非齐次方程的通解 = 齐次方程的通解 + 一个非齐次方程的特解**。以此推广，若 $L[u_1] = f_1$ 且 $L[u_2] = f_2$ ，则 $L[c_1 u_1 + c_2 u_2] = c_1 f_1 + c_2 f_2$ 。

在二阶常微分方程中，通解包含了两个任意常数；以此类推在二阶偏微分方程中，通解包含了两个任意函数，如 10-2 所示：

$$\frac{\partial^2 u}{\partial x \partial y} = 0 \quad u = f(x) + g(y) \quad (10-2)$$

10.2 无界弦上波的传播

我们来考虑一个一维齐次波动方程的解： $\frac{\partial^2 u}{\partial t^2} - a^2 \frac{\partial^2 u}{\partial x^2} = 0$ 。我们考虑做变换： $\xi = x + at$ $\eta = x - at$ ，这个波动方程则有：

$$\begin{aligned}\frac{\partial u}{\partial x} &= \frac{\partial u}{\partial \xi} + \frac{\partial u}{\partial \eta} & \frac{\partial^2 u}{\partial x^2} &= \frac{\partial^2 u}{\partial \xi^2} + 2 \frac{\partial^2 u}{\partial \xi \partial \eta} + \frac{\partial^2 u}{\partial \eta^2} \\ \frac{\partial u}{\partial t} &= a \frac{\partial u}{\partial \xi} - a \frac{\partial u}{\partial \eta} & \frac{\partial^2 u}{\partial t^2} &= a^2 \frac{\partial^2 u}{\partial \xi^2} - 2a^2 \frac{\partial^2 u}{\partial \xi \partial \eta} + a^2 \frac{\partial^2 u}{\partial \eta^2}\end{aligned}$$

因此原方程变为：

$$\begin{aligned}\frac{\partial^2 u}{\partial \xi \partial \eta} &= 0 \\ u(x; t) &= f(\xi) + g(\eta) = f(x - at) + g(x + at)\end{aligned} \quad (10-3)$$

这个解表明波动方程的解由两个独立的波组成，它们相互不干扰。这也就证明了解的线性性。

而对于无界定解问题我们加上初始条件 $u(x; t)|_{t=0} = \phi(x)$ $\frac{\partial u}{\partial t}|_{t=0} = \psi(x)$, 我们将通解带入可得:

$$\begin{aligned}
 f(x) + g(x) &= \phi(x) & a[f'(x) - g'(x)] &= -\psi(x) \\
 f(x) - g(x) &= \frac{-1}{a} \int_0^x \psi(\xi) d\xi + C \\
 f(x) &= \frac{1}{2}\phi(x) - \frac{1}{2a} \int_0^x \psi(\xi) d\xi + \frac{C}{2} \\
 g(x) &= \frac{1}{2}\phi(x) + \frac{1}{2a} \int_0^x \psi(\xi) d\xi - \frac{C}{2} \\
 u(x; t) &= f(x + at) + g(x - at) = \frac{1}{2}[\phi(x + at) + \phi(x - at)] + \frac{1}{2a} \int_{x-at}^{x+at} \psi(\xi) d\xi
 \end{aligned} \tag{10-4}$$

11 分离变量法

11.1 两端固定弦的自由振动

以两端固定的自由振动为例, 我们研究方程:

$$\begin{aligned}
 \frac{\partial^2 u}{\partial t^2} - a^2 \frac{\partial^2 u}{\partial x^2} &= 0 & 0 < x < l & \quad t > 0 \\
 u(x = 0) &= 0 & u(x = l) &= 0 & \quad t \geq 0 \\
 u|_{t=0} &= \phi(x) & \frac{\partial u}{\partial x} \Big|_{t=0} &= \psi(x) & \quad 0 \leq x \leq l
 \end{aligned} \tag{11-1}$$

考虑 11-1 的定解条件, 我们希望解的变量是分离的, 即就是:

$$u(x; t) = X(x)T(t) \tag{11-2}$$

我们把 11-2 带入 11-1, 可以得到的条件为

$$\begin{aligned}
 X''(x) + \lambda X(x) &= 0 \\
 T''(x) + \lambda a^2 T(x) &= 0 \\
 X(0) = X(l) &= 0
 \end{aligned} \tag{11-3}$$

其中第三行的条件无法分离变量。我们发现这要求边界条件和偏微分方程都是齐次的。 λ 是一个待定常数, 也不是所有的 λ 都符合条件。我们把符合条件的 λ 称作**本征值**, 相应的非零解称作**本征值问题**。

我们看 11-3 的第一个式子是一个齐次常微分方程。它的解的形式取决于 Δ 的正负。有两种情况。1: $\lambda = 0$, 此时解的形式为 $X(x) = A_0x + B_0$ 。再结合第三行边界条件得到 $A_0 = B_0 = 0$, 因此这只有零解, 舍去。2. $\lambda \neq 0$, 通解为 $x(x) = A \sin \sqrt{\lambda}x + b \cos \sqrt{\lambda}x$ 。由边界条件得到 $B = 0$ $A \sin \sqrt{\lambda}l = 0$ 。因此我们根据方程能得到满足条件的本征值和相应的函数为:

$$\begin{aligned}
 \lambda_n &= \left(\frac{n\pi}{l}\right)^2 \quad n \in \mathbb{N}^+ \\
 X_n(x) &= \sin \frac{n\pi}{l}x
 \end{aligned} \tag{11-4}$$

而对于每一个本征值 λ_n 都有 $T_n(t) = C_n \sin \frac{n\pi}{l}at + D_n \cos \frac{n\pi}{l}at$ 。因此我们研究的特解为:

$$u(x; t) = (C_n \sin \frac{n\pi}{l}at + D_n \cos \frac{n\pi}{l}at) \sin \frac{n\pi}{l}x \tag{11-5}$$

一般来说，**单独的一个特解也无法满足定解条件**。因此我们选择把这些特解叠加起来：11-5 改写为：

$$u(x; t) = \sum_{n=1}^{\infty} (C_n \sin \frac{n\pi}{l} at + D_n \cos \frac{n\pi}{l} at) \sin \frac{n\pi}{l} x \quad (11-6)$$

这种解称为一般解。一般解不只满足偏微分方程，还满足边界条件。那么是否满足初始条件呢？我们把 11-6 的带入 11-1 第三行，得到：

$$\sum_{n=1}^{\infty} D_n \sin \frac{n\pi}{l} x = \phi(x) \quad (11-7-1)$$

$$\sum_{n=1}^{\infty} C_n \frac{n\pi a}{l} \sin \frac{n\pi}{l} x = \psi(x) \quad (11-7-2)$$

而且我们又发现，**本征函数有正交性**，即就是 $\int_0^l X_n(x) X_m(x) dx = 0 (n \neq m)$ 。因此我们对 11-7-1 变形得到：

$$\begin{aligned} \int_0^l \phi(x) \sin \frac{m\pi}{l} x dx &= \sum_{n=1}^{\infty} D_n \int_0^l \sin \frac{m\pi}{l} x \sin \frac{n\pi}{l} x dx \\ &= \frac{l}{2} D_m \\ D_n &= \frac{2}{l} \int_0^l \phi(x) \sin \frac{n\pi}{l} x \\ \text{同理 } C_n &= \frac{2}{n\pi a} \int_0^l \psi(x) \sin \frac{n\pi}{l} x \end{aligned} \quad (11-8)$$

那么解的形式为：

$$u(x; t) = \sum_{n=1}^{\infty} \left(\frac{2}{n\pi a} \int_0^l \psi(x) \sin \frac{n\pi}{l} x \sin \frac{n\pi}{l} at + \frac{2}{l} \int_0^l \phi(x) \sin \frac{n\pi}{l} x \cos \frac{n\pi}{l} at \right) \sin \frac{n\pi}{l} x$$

因此求解此类偏微分方程的一般过程为：1. 分离变量（因为边界条件和偏微分方程都是齐次的）2. 求解本征值问题 3. 求特解并叠加出一般解 4. 利用本征函数的叠加性来求系数

11.2 关于两端固定弦自由振动的评述

第一个我们来讨论本征函数的正交性。我们把 11-3 做变形可以得到：

$$\begin{aligned} X_m(x)[X_n''(x) + \lambda_n X_n(x)] - X_n(x)[X_m''(x) + \lambda_m X_m(x)] &= 0 \\ [X_m(x)X_n''(x) - X_n(x)X_m''(x)] + (\lambda_n - \lambda_m)X_n(x)X_m(x) &= 0 \\ (\lambda_n - \lambda_m) \int_0^l X_n(x)X_m(x)dx &= [X_n(x)X_m'(x) - X_m(x)X_n'(x)] \Big|_0^l \\ \int_0^l X_n(x)X_m(x)dx &= 0 \end{aligned}$$

而在第一，二，三类边界条件中，**本征函数都具有正交性**（证明见书）。因此**这些本征函数是相应线性空间的一组基**。为证明这是一个欧几里得空间，我们还需证明每个元素具有**正定性**。于是我们求模方：

$$\|X_n(x)\| = \int_0^l X_n^2(x) dx = \frac{l}{2}$$

这个结果只在**第一类边界条件**成立。我们把正定性和正交性合称为**本征函数的正交归一性**。我们继续计算弦的总能量，弦的能量分作动能和势能，因此：

$$\begin{aligned} E &= \frac{1}{2} \int_0^l \rho \left(\frac{\partial u}{\partial t} \right)^2 dx + \frac{1}{2} \int_0^l T \left(\frac{\partial u}{\partial x} \right)^2 dx \\ &= \frac{m\pi a^2}{4l^2} \sum_{n=1}^{\infty} n^2 [(C_n)^2 + (D_n)^2] \end{aligned}$$

我们通过分离变量求出的解是**唯一的**。利用反证法可轻易证明（假设 u_1 与 u_2 是解，证明 $u_1 - u_2 = 0$ ）

小补充：什么是齐次边界条件和非齐次边界条件。**齐次边界条件**是指在边界上的解值为零或其导数为零。（要把边界条件和初始条件区分开）

11.3 矩形区域内的稳定问题

我们看热传导方程的一个稳定问题：

$$\begin{aligned} \frac{\partial^2 u}{\partial x^2} + \frac{\partial^2 u}{\partial y^2} &= 0 \quad 0 < x < a \quad 0 < y < b \\ u|_{x=0} &= 0 \quad \frac{\partial u}{\partial x} \Big|_{x=a} = 0 \quad 0 \leq y \leq b \\ u|_{y=0} &= f(x) \quad \frac{\partial u}{\partial y} \Big|_{y=b} = 0 \quad 0 \leq x \leq a \end{aligned} \quad (11-9)$$

我们继续利用分离变量法。 $u(x; y) = X(x)Y(y)$ ，继续分离变量法得到本征方程。

$$\begin{aligned} X(x)'' + \lambda X(x) &= 0 \quad Y(y)'' - \lambda Y(y) = 0 \\ X(0) &= 0 \quad X'(a) = 0 \\ \lambda_n &= \left(\frac{2n+1}{2a} \pi \right)^2 \\ X_n &= \sin \frac{2n+1}{2a} \pi x \end{aligned} \quad (11-10)$$

我们再观察 $Y_n''(y) - \lambda_n Y_n''(y) = 0$ 并将 λ 带入得到：

$$\begin{aligned} u_n(x; y) &= (C_n \sinh \frac{2n+1}{2a} \pi y + D_n \cosh \frac{2n+1}{2n} \pi y) \times \sin \frac{2n+1}{2a} \pi x \\ u(x; y) &= \sum_{n=0}^{\infty} (C_n \sinh \frac{2n+1}{2a} \pi y + D_n \cosh \frac{2n+1}{2n} \pi y) \times \sin \frac{2n+1}{2a} \pi x \end{aligned} \quad (11-11)$$

然后根据本征函数的正交归一性计算系数：

$$D_n = \frac{2}{a} \int_0^a f(x) \sinh \frac{2n+1}{2a} \pi x dx \quad C_n = -D_n \tanh \frac{2n+1}{2a} \pi b \quad (11-12)$$

此问题与时间无关，因此没有初始条件。

11.4 两端固定弦的受迫振动

方程和边界条件都是齐次的才能直接运用分离变量法。因此我们先来看一个方程不齐次的条件：

$$\begin{aligned} \frac{\partial^2 u}{\partial t^2} - a^2 \frac{\partial^2 u}{\partial x^2} &= f(x; t) & 0 < x < l \quad t > 0 \\ u(x=0) &= 0 & u(x=l) &= 0 & t \geq 0 \\ u|_{t=0} &= 0 & \left. \frac{\partial u}{\partial t} \right|_{t=0} &= 0 & 0 \leq x \leq l \end{aligned} \quad (11-13)$$

因此我们可以做变化 $u(x; t) = v(x; t) + w(x; t)$ ，因此原条件变成：

$$\begin{aligned} \frac{\partial^2 v}{\partial t^2} - a^2 \frac{\partial^2 v}{\partial x^2} &= f(x; t) & \frac{\partial^2 w}{\partial t^2} - a^2 \frac{\partial^2 w}{\partial x^2} &= 0 \\ v(x=0) &= w(x=0) = 0 & v(x=l) &= w(x=l) = 0 \\ v|_{t=0} + w|_{t=0} &= 0 & \left. \frac{\partial v}{\partial t} \right|_{t=0} + \left. \frac{\partial w}{\partial t} \right|_{t=0} &= 0 \end{aligned} \quad (11-14)$$

对于相应的齐次解我们不再赘述它的做法。我们主要来看非齐次部分怎么解。非齐次部分则是它的特解。

示例 1： $f(x; t) = f(x)$ ，与时间无关。则特解 $v(t)$ 也与时间无关。则关于时间的偏导数都是 0，直接带入即可。

示例 2： $f(x; t) = A_0 \sin wt$ 。这里我们不能把 $v(x; t)$ 设成只和时间有关的函数。因此我们令 $v(x; t) = f(x) \sin wt$ ，代入 11-13：

$$\begin{aligned} -w^2 f(x) - a^2 f''(x) &= A_0 \\ f(0) = f(l) &= 0 \end{aligned}$$

这是一个非齐次常微分方程，利用相关知识解得：

$$\begin{aligned} f(x) &= \frac{-A_0}{w^2} + \frac{A_0}{w^2} \tan \frac{wl}{2a} \sin \frac{w}{a} x + \frac{A_0}{w^2} \cos \frac{w}{a} x \\ &= -\frac{A_0}{w^2} \left[1 - \frac{\cos \frac{w(x-l/2)}{a}}{\cos \frac{wl}{2a}} \right] \end{aligned}$$

因此我们求出了 $v(x; t)$ 。在计算 $w(x; t)$ 时最后一步的参数需要用到 $v(x; t)$ 的表达式，代入即可，具体数值不再赘述。 $u(x; t)$ 的结果为：

$$-\frac{A_0}{w^2} \left[1 - \frac{\cos \frac{w(x-l/2)}{a}}{\cos \frac{wl}{2a}} \right] \sin wt - \frac{4A_0 w l^3}{\pi^2 a} \sum_{n=0}^{\infty} \left[\frac{1}{(2n+1)^2} \frac{1}{[(2n+1)\pi a]^2 - (wl)^2} \sin \frac{2n+1}{l} \pi x \sin \frac{2n+1}{l} \pi at \right]$$

特解一般要靠猜.... 如果 $f(x; t)$ 的形式比较复杂，特解猜不出来怎么办？我们介绍一种解法：**按相应齐次问题的本征函数展开法**。对于一组本征函数，我们可以发现 11-11 的通解形式 $u(x; t) = \sum_{n=1}^{\infty} T_n(t) X_n(x)$ ，同理我们也把 $f(x; t)$ 分解成 $f(x; t) = \sum_{n=1}^{\infty} g_n(t) X_n(x)$ ，代入 11-14 的偏微分方程就会变成：

$$\sum_{n=1}^{\infty} T_n''(t) X_n(x) - a^2 \sum_{n=1}^{\infty} T_n(t) X_n''(x) = \sum_{n=1}^{\infty} g_n(t) X_n(x) \quad (11-15)$$

再套入**初始条件**, $T_n(0) = 0$ $T'_n(0) = 0$ 。我们比较本征方程的参数, 可以发现这是一个常微分方程:

$$\begin{aligned} T''_n(t) + \lambda_n a^2 T_n(t) &= g_n(t) \\ T_n(t) &= \frac{l}{n\pi a} \int_0^t g_n(\tau) \sin \frac{n\pi}{l} a(t-\tau) d\tau \end{aligned} \quad (11-16)$$

因此对于示例 2 的 $A_0 \sin wt$ 而言, 我们根据本征函数 $\sin \frac{n\pi}{l} x$ 展开, **两边对本征函数积分就可以分界处参数函数**, 其答案为: $A_0 \sin wt = \frac{2A_0}{\pi} \sum_{n=1}^{\infty} \frac{1-(-1)^n}{n} \sin \frac{n\pi}{l} x \sin wt$

11.5 本征函数解非齐次偏微分方程的进一步讨论

我们回头看 11-9 的问题, 如果我们令偏微分方右边是不齐次的, 由于这里我们可以以本征函数组 $X_n(x)$ 展开, 也可以用本征函数组 $Y_n(y)$ 展开, 理论上都没问题。但是我们也可以按照二重级数展开, 即就是:

$$\begin{aligned} u(x; y) &= \sum_{n=1}^{\infty} \sum_{m=1}^{\infty} c_{nm} \sin \frac{n\pi}{a} x \sin \frac{m\pi}{b} y \\ f(x; y) &= \sum_{n=1}^{\infty} \sum_{m=1}^{\infty} d_{nm} \sin \frac{n\pi}{a} x \sin \frac{m\pi}{b} y \end{aligned} \quad (11-17)$$

代入方程得到:

$$\begin{aligned} - \sum_{n=1}^{\infty} \sum_{m=1}^{\infty} c_{nm} \left[\left(\frac{n\pi}{a} \right)^2 + \left(\frac{m\pi}{b} \right)^2 \right] \sin \frac{n\pi}{a} x \sin \frac{m\pi}{b} y &= \sum_{n=1}^{\infty} \sum_{m=1}^{\infty} d_{nm} \sin \frac{n\pi}{a} x \sin \frac{m\pi}{b} y \\ c_{nm} &= \frac{-d_{nm}}{\left(\frac{n\pi}{a} \right)^2 + \left(\frac{m\pi}{b} \right)^2} \end{aligned} \quad (11-18)$$

好消息是我们不要求其次常微分方程了, 坏消息就是, 我们还要求和。且 d_{nm} 不是那么好算。

11.6 非齐次边界的齐次化

我们讨论这样的定解问题, 它由 11-1 而来:

$$\begin{aligned} \frac{\partial^2 u}{\partial t^2} - a^2 \frac{\partial^2 u}{\partial x^2} &= 0 & 0 < x < l \quad t > 0 \\ u(x=0) &= \mu(t) & u(x=l) &= v(t) & t \geq 0 \\ u|_{t=0} &= 0 & \frac{\partial u}{\partial x} \Big|_{t=0} &= 0 & 0 \leq x \leq l \end{aligned} \quad (11-18)$$

因此我们可以做变化 $u(x; t) = v(x; t) + w(x; t)$, 其中 $w(x; t)$ 是齐次边界方程的解, 形式如同 11-14 (因为我们没有要求 v 满足齐次方程的解, 因此可能代换后 w 的方程不齐次)。 $v(x; t)$ 满足并且只需要满足非齐次边界条件。且这个函数的选择有很大的空间。我们这么想: 把 $v(x; t)$ 看做一个 x 的函数, 它过 $(0, \mu(t)) (l, v(t))$, 因此构造的函数要过这两点。手段多样, 可以直线拟合, 也可以抛物线拟合等等。选择不同的 v , 导出的 w 也不同。我们想让 w 尽可能简单。最理想的结果就是不管 u 的方程是否齐次, **我们想让 w 的方程齐次, 则 v 也要满足 11-18 原方程的解 (注意:**

原方程不一定齐次, 我们只是希望 w 齐次)。这叫做“方程和边界条件同时齐次化”。我们看一个具体例子:

$$\begin{aligned} \frac{\partial^2 u}{\partial t^2} - a^2 \frac{\partial^2 u}{\partial x^2} &= 0 & 0 < x < l \quad t > 0 \\ u(x=0) &= 0 & \left. \frac{\partial u}{\partial x} \right|_{x=l} &= A \sin wt & t \geq 0 \\ u|_{t=0} &= 0 & \left. \frac{\partial u}{\partial t} \right|_{t=0} &= 0 & 0 \leq x \leq l \end{aligned}$$

我们取 $v(x; t) = f(x) \sin wt$, 则:

$$\begin{aligned} \frac{\partial^2 v}{\partial t^2} - a^2 \frac{\partial^2 v}{\partial x^2} &= 0 & 0 < x < l \quad t > 0 \\ v(x=0) &= 0 & \left. \frac{\partial v}{\partial x} \right|_{x=l} &= A \sin wt & t \geq 0 \end{aligned}$$

代入可求:

$$\begin{aligned} f(x) &= \frac{Aa}{w} \frac{1}{\cos wl/a} \sin \frac{w}{a} x \\ v(x; t) &= \frac{Aa}{w} \frac{1}{\cos wl/a} \sin \frac{w}{a} x \sin wt \end{aligned} \quad (11-19)$$

则此时 $w(x, t)$ 满足:

$$\begin{aligned} \frac{\partial^2 w}{\partial t^2} - a^2 \frac{\partial^2 w}{\partial x^2} &= 0 & 0 < x < l \quad t > 0 \\ w(x=0) &= 0 & \left. \frac{\partial w}{\partial x} \right|_{x=l} &= 0 & t \geq 0 \\ w|_{t=0} &= 0 & \left. \frac{\partial w}{\partial t} \right|_{t=0} &= -\frac{Aa}{\cos wl/a} \sin \frac{w}{a} x & 0 \leq x \leq l \end{aligned}$$

因此解得:

$$\begin{aligned} w(x; t) &= \sum_{n=1}^{\infty} (C_n \sin \frac{(2n+1)\pi}{2l} at + D_n \cos \frac{(2n+1)\pi}{2l} at) \sin \frac{(2n+1)\pi}{2l} x \\ D_n &= 0 \\ C_n &= (-1)^n \frac{4Awa}{(2n+1)\pi a} \frac{1}{w^2 - [(2n+1)\pi a/(2l)]^2} \end{aligned} \quad (11-20)$$

因此原方程的解 $u(x; t)$ 为:

$$\sum_{n=1}^{\infty} (-1)^n \frac{4Awa}{(2n+1)\pi a} \frac{1}{w^2 - [(2n+1)\pi a/(2l)]^2} \sin \frac{(2n+1)\pi}{2l} at \sin \frac{(2n+1)\pi}{2l} x + \frac{Aa}{w} \frac{1}{\cos wl/a} \sin \frac{w}{a} x \sin wt \quad (11-21)$$

11.7 正交曲面下的 Laplace 算符

我们知道在平面直角坐标系下的 Laplace 算子, 不难推导在极坐标系下, Laplace 算子可以写作:

$$\begin{aligned}\nabla^2 &\equiv \frac{\partial^2}{\partial r^2} + \frac{1}{r} \frac{\partial}{\partial r} + \frac{1}{r^2} \frac{\partial^2}{\partial \phi^2} \\ &\equiv \frac{1}{r} \frac{\partial}{\partial r} \left(r \frac{\partial}{\partial r} \right) + \frac{1}{r^2} \frac{\partial^2}{\partial \phi^2}\end{aligned}\quad (11-22)$$

在三维柱坐标系下, 只需要加上一项即可, 即就是:

$$\nabla^2 \equiv \frac{\partial^2}{\partial r^2} + \frac{1}{r} \frac{\partial}{\partial r} + \frac{1}{r^2} \frac{\partial^2}{\partial \phi^2} + \frac{\partial^2}{\partial z^2} \quad (11-22)$$

而在球坐标下略显复杂。

$$\nabla^2 \equiv \frac{\partial^2}{\partial r^2} + \frac{2}{r} \frac{\partial}{\partial r} + \frac{1}{r^2} \frac{\partial^2}{\partial \theta^2} + \frac{\cos \theta}{r^2 \sin \theta} \frac{\partial}{\partial \theta} + \frac{1}{r^2 \sin^2 \theta} \frac{\partial^2}{\partial \phi^2} \quad (11-23)$$

11.8 圆域内 Laplace 方程的第一类边值问题

我们考虑下面的一个定解问题:

$$\begin{aligned}\nabla^2 u &= 0 \quad x^2 + y^2 < a^2 \\ u|_{x^2+y^2=a^2} &= f\end{aligned}\quad (11-24)$$

这个边界是圆形的, 因此我们不能在平面直角坐标系下进行边界条件分解。因此我们换成极坐标系。令 $u = u(r, \phi)$ 则有:

$$\begin{aligned}\frac{1}{r} \frac{\partial}{\partial r} \left(r \frac{\partial u}{\partial r} \right) + \frac{1}{r^2} \frac{\partial^2 u}{\partial \phi^2} &= 0 \\ u|_{r=a} &= f(\phi)\end{aligned}\quad (11-25)$$

我们再分离变量 $u(r, \phi) = R(r)\Phi(\phi)$, 上式变为:

$$\begin{aligned}r \frac{d}{dr} \left(r \frac{dR}{dr} \right) - \lambda R &= 0 \\ \frac{d^2 \Phi}{d\phi^2} + \lambda \Phi &= 0 \\ R(a)\Phi(\phi) &= f(\phi)\end{aligned}\quad (11-26)$$

但是我们发现, 11-25 极坐标换元后与原方程 11-24 并不等价。还原到极坐标后在角度为 0 与 2π 的时候不成立。因为 u 在这两个地方没有偏导数, 我们最多也只能定义在这两个端点的单侧偏导数。而这两个端点只是极坐标参数的取值范围, 并不是真正意义上的边界条件。由于 $(r, 0)(r, 2\pi)$ 是同一点, 因此在 11-24 后还要补上周期条件:

$$\begin{aligned}u(r, 0) &= u(r, 2\pi) \\ \frac{\partial u}{\partial \phi} \Big|_{\phi=0} &= \frac{\partial u}{\partial \phi} \Big|_{\phi=2\pi}\end{aligned}\quad (11-27)$$

我们还发现, 在平面极坐标系中, 函数在原点没有偏导数。因此我们要补充: **函数在区域上有界**。补充之后, 我们发现:

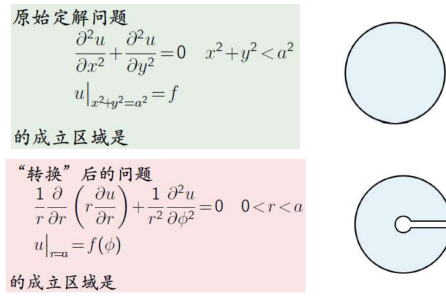


图 5: 圆域内第一类边值问题的正确换元条件

$$\Phi'' + \lambda \Phi = 0$$

$$\Phi(0) = \Phi(2\pi) \quad \Phi'(0) = \Phi'(2\pi)$$

如果 $\lambda = 0$, 则 $\Phi(\phi) = A_0\phi + B_0$, 代入初始条件得到 $A_0 = 0$ B_0 任意。因此 **0 是本征值, 本征函数是 $\Phi = 1$ 。**

如果 $\lambda \neq 0$, 则 $\Phi = A \sin \sqrt{\lambda}\phi + B \cos \sqrt{\lambda}\phi$, 代入初始条件并要求其有非零解, 则得到 $\lambda_m = m^2$, A 与 B 任意。因此**本征函数为 $\Phi_{m1} = \sin m\phi$ $\Phi_{m2} = \cos m\phi$ 。**我们发现 0 也可以合并进去。

接下来我们研究 11-26 第一个方程怎么解。我们令 $t = \ln r$, 则有 $R'' - \lambda R = 0$, 因此:

$$R(r) = \begin{cases} C_0 + D_0 \ln r & \lambda = 0 \\ C_m r^m + D_m r^{-m} & \lambda = m^2 \end{cases}$$

因此我们得到了所有特解, 叠加得到一般解:

$$u(r; \phi) = (C_0 + D_0) \ln r + \sum_{m=1}^{\infty} (C_{m1} r^m + D_{m1} r^{-m}) \sin m\phi + \sum_{m=1}^{\infty} (C_{m2} r^m + D_{m2} r^{-m}) \cos m\phi \quad (11-28)$$

根据有界条件, 则 $D_0 = D_{m1} = D_{m2} = 0$ 。根据周期条件得到:

$$C_0 + \sum_{r=1}^{\infty} r^m (C_{m1} \sin m\phi + C_{m2} \cos m\phi) = \sum_{r=0}^{\infty} r^m (C_{m1} \sin m\phi + C_{m2} \cos m\phi)$$

根据边界条件得到:

$$C_0 + \sum_{r=1}^{\infty} a^m (C_{m1} \sin m\phi + C_{m2} \cos m\phi) = f(\phi)$$

可解得:

$$\begin{aligned} C_0 &= \frac{1}{2\pi} \int_0^{2\pi} f(\phi) d\phi \\ C_{m1} &= \frac{1}{a^m \pi} \int_0^{2\pi} f(\phi) \sin m\phi d\phi \\ C_{m2} &= \frac{1}{a^m \pi} \int_0^{2\pi} f(\phi) \cos m\phi d\phi \end{aligned} \quad (11-29)$$

在这个例子中，我们发现一个本征值有两个线性无关的本征函数。我们把这种现象叫做兼并。只有边界条件是周期的时候，才会出现兼并的可能。二姐偏微分方程简并度最大为 2。对应不同本征值的本征函数一定正交，对应同一本征值的本征函数不一定正交，但可以找到一组基使得所有本征函数都可由这组基线性叠加。

因此原函数经历复杂的化简（见 PPT 或课本）可以得到 $u(r; \phi)$:

$$u(r; \phi) = \frac{a^2 - r^2}{2\pi} \int_0^{2\pi} \frac{f(\alpha) d\alpha}{r^2 + a^2 - 2ar \cos(\phi - \alpha)} \quad (11-30)$$

称作 poisson 积分公式。

11.9 正交曲面坐标系下 Helmholtz 方程的分离变量法

对于 Helmholtz 方程: $\nabla^2 u + k^2 u = 0$ 。我们可以在柱坐标和球坐标去看。在柱坐标时 $u = u(r; \theta; z)$ 。我们习惯于现将其分离为 $v(r; \theta)Z(z)$ ，再把 v 分离成 $R(r)\Theta(\theta)$ ，计算过程略。我们可以得到结论：

$$\begin{aligned} \frac{1}{r} \frac{d}{dr} \left(r \frac{dR}{dr} \right) + (k^2 - \lambda - \frac{\mu}{r^2}) R &= 0 \\ \frac{d^2 \Theta}{d\theta^2} + \mu \Theta &= 0 \\ \frac{d^2 Z}{dz^2} + \lambda Z &= 0 \end{aligned} \quad (11-31)$$

在球坐标时 $u = u(r; \theta; \phi)$ 。我们习惯于现将其分离为 $S(\theta \phi)R(r)$ ，再把 S 分离成 $\Theta(\theta)\Phi(\phi)$ ，计算过程略。我们可以得到结论：

$$\begin{aligned} \frac{1}{r^2} \frac{d}{dr} \left(r^2 \frac{dR}{dr} \right) + (k^2 - \frac{\lambda}{r^2}) R &= 0 \\ \frac{1}{\sin \theta} \frac{d}{d\theta} \left(\sin \theta \frac{d\Theta}{d\theta} \right) + (\lambda - \frac{\mu}{\sin^2 \theta}) \Theta &= 0 \\ \frac{d^2 \Phi}{d\phi^2} + \mu \Phi &= 0 \end{aligned} \quad (11-32)$$

12 球函数

12.1 Legendre 多项式的引入

由 11-32 式可得，将 Helmholtz 在球坐标下分离变量，得到的连带 Legendre 多项式为 11-32 第二行。令 $x = \cos \theta$ $y(x) = \Theta(\theta)$ ，则：

$$\frac{d}{dx} \left[(1 - x^2) \frac{dy}{dx} \right] + \left[\lambda - \frac{\mu}{1 - x^2} \right] y = 0$$

当 $\mu = 0$ 时，得到两个方程：

$$\begin{aligned} \frac{1}{\sin \theta} \frac{d}{d\theta} \left(\sin \theta \frac{d\Theta}{d\theta} \right) + \lambda \Theta &= 0 \\ \frac{d}{dx} \left[(1 - x^2) \frac{dy}{dx} \right] + \lambda y &= 0 \end{aligned}$$

由此引出我们今天介绍的主角——**Legendre 方程**

$$\frac{d}{dz} \left[(1-z^2) \frac{dw}{dz} \right] + \lambda z = 0 \quad \lambda = \nu(\nu+1) \quad (12-1)$$

这个方程有三个正则奇点： $\pm 1, \infty$ ，除此之外解在全平面解析。并且 0 是方程的常点，因此方程在圆 $|z| < 1$ 解析，可以展开成 Taylor 级数。根据第 8 章的知识，得到 Legendre 方程的两个解为：

$$\begin{aligned} w_1(z) &= \sum_{n=0}^{\infty} \frac{2^{2n}}{(2n)!} \frac{\Gamma(n-l)\Gamma(n+\frac{l+1}{2})}{\Gamma(-\frac{l}{2})\Gamma(\frac{l+1}{2})} z^{2n} \\ w_2(z) &= \sum_{n=0}^{\infty} \frac{2^{2n}}{(2n+1)!} \frac{\Gamma(n-\frac{l-1}{2})\Gamma(n+1+\frac{l}{2})}{\Gamma(-\frac{l-1}{2})\Gamma(1+\frac{l}{2})} z^{2n+1} \end{aligned} \quad (12-2)$$

根据 string 公式，对于 $w_1(z)$ 当 $z = \pm 1$ 的时候， $c_{2n} \approx \frac{k}{n} (k = \text{Const})$ ，因此在这两点对数发散，这两点是枝点，第一解延拓到全平面上是多值函数。第二解同理。

而在 $|z-1| < 2$ 的范围，利用 Laurent 展开得到两个解为：

$$\begin{aligned} P_v(z) &= \sum_{n=0}^{\infty} \frac{1}{(n!)^2} \frac{\Gamma(v+n+1)}{\Gamma(v-n+1)} \left(\frac{z-1}{2}\right)^n \\ Q_v(z) &= \frac{1}{2} P_v(z) \left[\ln \frac{z+1}{z-1} - 2\gamma - 2\psi(v+1) \right] + \sum_{n=0}^{\infty} \frac{1}{(n!)^2} \frac{\Gamma(v+n+1)}{\Gamma(v-n+1)} \left(1 + \frac{1}{2} + \dots + \frac{1}{n}\right) \left(\frac{z-1}{2}\right)^n \end{aligned} \quad (12-3)$$

对于球内的 Laplace 方程轴对称边值问题，这指的是**边界条件具有绕着过球心某一个对称轴旋转不变的对称性**，那我们把这个轴作为极轴，因此就只剩下了两个变量。。但是我们要注意：在 $\theta = 0, \pi$ 不成立，这里充其量只存在单侧导数。在坐标原点 $r = 0$ 也不成立。因此我们需要补充有**界条件**。化简分离变量，换元后便能得到 Legendre 方程。即就是类似 12-1 的形式，加上 $y(\pm 1)$ 有界的条件。而为了使这个方程有非零解，那就要要求 **12-2, 12-3 要有解在 $y = 1$ 有界**。显然我们介绍了 12-2 的解不满足条件。而 12-3 的 $Q_v(x)$ 有对数项，也不可以。因此我们只能寄希望于 $P_v(x)$ 。当 $n \rightarrow \infty$ 时，则 $P_v(x)$ 利用 string 公式约有对数项。**因此必 $P_v(x)$ 必须是截断多项式**。我们现在介绍 Legendre 多项式：

$$P_l(x) = \sum_{n=0}^l \frac{1}{(n!)^2} \frac{(l+n)!}{(l-n)!} \left(\frac{x-1}{2}\right)^n \quad (12-4)$$

12.2 Legendre 多项式的性质

Legendre 多项式的微分表示为：

$$P_l(x) = \frac{1}{2^l l!} \frac{d^l}{dx^l} (x^2 - 1)^l \quad (12-5)$$

证明不再赘述。我们容易发现， l 为偶数时，多项式函数是偶函数； l 为奇数时，多项式函数为奇函数。即就是：

$$P_l(-x) = (-1)^l P_l(x)$$

我们同时发现, 如果将 12-5 继续展开, 则:

$$\begin{aligned}
 (x^2 - 1)^l &= \sum_{r=0}^l (-1)^r \frac{l!}{r!(l-r)!} x^{2l-2r} \\
 \frac{d^l}{dx^l} (x^2 - 1)^l &= \sum_{r=0}^{[l/2]} (-1)^r \frac{l!}{l!(l-r)!} \frac{(2l-2r)!}{(l-2r)!} x^{l-2r} \\
 P_l(x) &= \sum_{r=0}^{[l/2]} (-1)^r \frac{1}{2^l l! (l-r)!} \frac{(2l-2r)!}{(l-2r)!} x^{l-2r}
 \end{aligned} \tag{12-6}$$

因此在 $x = 0$ 的时候, 则有:

$$\begin{aligned}
 P_{2l+1}(0) &= 0 \\
 P_{2l}(0) &= (-1)^l \frac{(2l)!}{2^l l! l!}
 \end{aligned}$$

而本质上 Legendre 多项式是 12-1 的本征值问题的解, 因此它应该具备着正交性。即就是**不同次数的 Legendre 多项式在 $[-1, 1]$ 上正交**。要证明这个问题就需要证明 $\int_{-1}^1 P_k(x) P_l(x) dx = 0 (k \neq l)$, 因此不妨证明 $\int_{-1}^1 x^k P_l(x) dx = 0 (k < l)$ 。当 $(k \pm l) \% 2 = 1$ 时, 则有:

$$x^k P_l(x) = (-1)^{k+l} (-x)^k P_l(-x) = -(-x)^k P_l(-x)$$

函数是奇函数, 因此积分为 0。当 $l \pm k \% 2 = 0$ 时, 利用微分形式:

$$\begin{aligned}
 \int_{-1}^1 x^k P_l(x) dx &= \frac{1}{2^l l!} \int_{-1}^1 x^k \frac{d^l}{dx^l} (x^2 - 1)^l dx \\
 &= \frac{1}{2^l l!} \left[x^k \frac{d^{l-1}}{dx^{l-1}} (x^2 - 1)^l \Big|_{-1}^1 - \int_{-1}^1 \frac{dx^k}{dx} \frac{d^l}{dx^l} (x^2 - 1)^l dx \right] \\
 &= -\frac{1}{2^l l!} \int_{-1}^1 \frac{dx^k}{dx} \frac{d^l}{dx^l} (x^2 - 1)^l dx \\
 &= \frac{(-1)^l}{2^l l!} \int_{-1}^1 \frac{d^l x^k}{dx^l} (x^2 - 1)^l dx
 \end{aligned}$$

显然 $k < l$ 的时候积分为 0。那么当 $k > l$ 的时候, 是否积分值还为 0? 实际上是不是的。不妨令 $k = l + 2n$, 则有:

$$\begin{aligned}
 \frac{(-1)^l}{2^l l!} \int_{-1}^1 \frac{d^l x^k}{dx^l} (x^2 - 1)^l dx &= \frac{(-1)^l}{2^l l!} \int_{-1}^1 \frac{d^l x^{l+2n}}{dx^l} (x^2 - 1)^l dx \\
 &= \frac{1}{2^l l!} \frac{(l+2n)!}{(2n)!} \int_{-1}^1 x^{2n} (1-x^2)^l dx \quad (t = x^2) \\
 &= \frac{1}{2^l l!} \frac{(l+2n)!}{(2n)!} \int_0^1 t^{n-\frac{1}{2}} (1-t)^l dt \\
 &= \frac{1}{2^l l!} \frac{(l+2n)!}{(2n)!} B\left(n + \frac{1}{2}, l+1\right) \\
 &= \frac{1}{2^l l!} \frac{(l+2n)!}{(2n)!} \frac{\Gamma(n + \frac{1}{2}) \Gamma(l+1)}{\Gamma(n + l + \frac{3}{2})} \\
 &= 2^{l+1} \frac{(l+2n)! (l+n)!}{n! (2l+2n+1)!}
 \end{aligned} \tag{12-7}$$

因此我们可以推算模方。其中 c_l 可由 12-6 得出，积分值可由 12-7 得出。

$$\int_{-1}^1 P_l(x)P_l(x)dx = c_l \int_{-1}^1 x^l P_l(x)dx = \frac{2}{2l+1} \quad (12-8)$$

并且我们换元 $x = \cos \theta$ ，就是：

$$\int_0^\pi P_k(\cos \theta)P_l(\cos \theta) \sin \theta d\theta = 0$$

我们称： $P_k(\cos \theta)$ 和 $P_l(\cos \theta)$ 在区间 $[0, \pi]$ 以权函数 $\sin \theta$ 正交。

因此我们称 Legendre 多项式有正交归一性。我们现在可以对任意在区间 $[-1, 1]$ 分段连续的函数进行展开；

$$\begin{aligned} f(x) &= \sum_{l=0}^{\infty} c_l P_l(x) \\ c_l &= \frac{2l+1}{2} \int_{-1}^1 f(x) P_l(x) dx \\ &= \frac{2l+1}{2} \int_0^\pi f(\cos \theta) P_l(\cos \theta) \sin \theta d\theta \end{aligned} \quad (12-9)$$

第二个等式相当于采用了 θ 作为自变量。当 $f(x) = x^n$ ，我们同时也可以使用待定系数法，因为 $n+l$ 为奇数的项与 $l > n$ 的项系数一定为 0。

Legendre 多项式还具有生成函数，生成函数的物理意义看书。这里我们只说明其数学意义。生成函数就是下列方程：

$$\frac{1}{\sqrt{1-2xt+t^2}} = \sum_{l=0}^{\infty} P_l(x) t^l \quad |t| < |x \pm \sqrt{x^2-1}| \quad (12-10)$$

在证明这个结论之前，我们先说明 Talyor 展开的一个式子：

$$\frac{1}{(1-x)^s} = \sum_{k=0}^{\infty} C_{s+k-1}^k x^k$$

因此我们可以做如下推导：

$$\begin{aligned} \frac{1}{\sqrt{1-2xt+t^2}} &= \frac{1}{\sqrt{t^2-2t+1-2t(x-1)}} = \frac{1}{1-t} \left[1 - \frac{2(x-1)t}{(1-t)^2} \right]^{-1/2} \\ &= \sum_{k=0}^{\infty} \frac{(2k-1)!!}{k!} (x-1)^k t^k (1-t)^{-(2k+1)} \\ &= \sum_{k=0}^{\infty} \frac{(2k-1)!!}{k!} (x-1)^k t^k \sum_{n=0}^{\infty} \frac{(2k+n)!}{(2k)!n!} t^n \\ &= \sum_{l=0}^{\infty} \left[\sum_{k=0}^l \frac{(l+k)!}{(l-k)!k!} \left(\frac{x-1}{2} \right)^k \right] t^l \end{aligned}$$

利用生成函数，我们也可以反推之前我们证明的性质。我们也可以因此证明 Legendre 多项

式的递推性质。我们把 12-10 左右对 t 微商, 则得到:

$$\begin{aligned}
 -\frac{1}{2} \frac{-2x+2t}{(1-2xt+t^2)^{\frac{3}{2}}} &= \sum_{l=0}^{\infty} l P_l(x) t^{l-1} \\
 \frac{x-t}{(1-2xt+t^2)^{\frac{1}{2}}} &= (1-2xt+t^2) \sum_{l=0}^{\infty} l P_l(x) t^{l-1} \\
 (x-t) \sum_{l=0}^{\infty} P_l(x) t^l &= (1-2xt+t^2) \sum_{l=0}^{\infty} l P_l(x) t^{l-1} \\
 (2l+1)x P_l(x) &= (l+1)P_{l+1}(x) + l P_{l-1}(x)
 \end{aligned} \tag{12-11}$$

如果我们将 12-10 两边对 x 微商, 可以得到第二个递推关系:

$$P_l(x) = P'_{l+1}(x) - 2x P'_l(x) + P'_{l-1}(x) \tag{12-12}$$

12.3 Legendre 多项式的应用

这里我们讨论两个较为复杂的物理问题。

示例 1: 设在电场强度为 E_0 的均匀电场放一个半径为 a 的均匀导体球, 求球外任一点的电势。

由于静电感应, 球表面会产生感生电荷使得整个球是等势体。球外任意一点就是均匀电场电势和感生电势的叠加。球体接地的含义就是球体的电势为 0, 而球外没有电荷, 则满足 Laplace 方程。采用球坐标系, 原点是球心, 极轴方向是电场方向。由于球上的电荷与电场都是绕着极轴旋转对称的, 因此总电势是绕着极轴旋转对称的, 因此可以说明电势与 ψ 无关。令电场电势为 $u_1(r, \theta)$, 感生电势为 $u_2(r, \theta)$ 。则总电势为二者的叠加。电场电势的表达式为:

$$u_1(r, \theta) = -E_0 z + u_0 = -E_0 r \cos \theta + u_0$$

其中 u_0 是原点电势。对于感生电势, 感生电荷只在球面上, 球面外没有感生电势。而在第 10 章我们提过一句。电势满足 Laplace 方程。因此我们得到以下的定解问题:

$$\begin{aligned}
 \frac{1}{r^2} \frac{\partial}{\partial r} (r^2 \frac{\partial u_2}{\partial r}) + \frac{1}{r^2 \sin \theta} \frac{\partial}{\partial \theta} (\sin \theta \frac{\partial u_2}{\partial \theta}) &= 0 \\
 u_2|_{\theta=0} \text{ 有界} \quad u_2|_{\theta=\pi} \text{ 有界} \\
 u_2|_{r=a} &= E_0 a \cos \theta - u_0 \quad u_2|_{r \rightarrow \infty} = 0
 \end{aligned}$$

然后我们分离变量, 令 $u_2(r, \theta) = R(r)\Theta(\theta)$, 则有:

$$\begin{aligned}
 \frac{1}{\sin \theta} \frac{d}{d\theta} (\sin \theta \frac{d\Theta}{d\theta}) + \lambda \Theta &= 0 \\
 \frac{d}{dr} \left[\frac{dR(r)}{dr} r^2 \right] - \lambda R(r) &= 0
 \end{aligned}$$

回想我们本章开始的引入, 我们可以知道 $\lambda_l = l(l+1)$, $y_l(x) = P_l(x)$ (其中 $x = \cos \theta$, $y(x) = \Theta(\theta)$)。将本征值带入第二个方程, 并做换元 $t = \ln r$ 则有:

$$\begin{aligned}
 \frac{d^2 R_l}{dt^2} + \frac{dR_l}{dt} - l(l+1)R_l &= 0 \\
 R_l &= A_l e^{lt} + B_l e^{-(l+1)t} = A_l r^l + B_l r^{-l-1} \\
 u_2(r, \theta) &= \sum_{l=0}^{\infty} (A_l r^l + B_l r^{-l-1}) P_l(\cos \theta)
 \end{aligned}$$

这是满足 Laplace 方程的一般解！代入定解条件，便可以得到：

$$\begin{aligned} u_2(r, \theta) &= -u_0 \frac{a}{r} + \frac{E_0 a^3}{r^2} \cos \theta \\ u(r, \theta) &= u_0 \left(1 - \frac{a}{r}\right) - E_0 \left(1 - \frac{a^3}{r^2}\right) \cos \theta \end{aligned}$$

示例 2：有一半径为 a ，带电量为 Q 的细圆环。求空间里的电势。电势满足泊松方程。我们继续取环心为原点，环为赤道面做球坐标系。同样电势 u 与 ψ 无关。因此我们得到：

$$\begin{aligned} \frac{1}{r^2} \frac{\partial}{\partial r} (r^2 \frac{\partial u}{\partial r}) + \frac{1}{r^2 \sin \theta} \frac{\partial}{\partial \theta} (\sin \theta \frac{\partial u}{\partial \theta}) &= -\frac{\rho}{\varepsilon_0} \\ u|_{\theta=0} \text{ 有界} \quad u|_{\theta=\pi} \text{ 有界} \\ u|_{r=a} \text{ 有界} \quad u|_{r \rightarrow \infty} &= 0 \end{aligned}$$

其中，电荷密度为 $C\delta(a)\delta(\theta - \frac{\pi}{2})$ ，并且满足：

$$\iiint C\delta(a)\delta(\theta - \frac{\pi}{2}) \sin^2 \theta dr d\theta d\phi = Q$$

解出 $C = \frac{Q}{2\pi a}$ 。同时我们要知道在球面 $r = a$ 上静电势连续，即就是 $u|_{r=a+0} = u|_{r=a-0}$ 。一般解可以叠加出有：

$$u(r, \theta) = \begin{cases} \sum_{l=0}^{\infty} A_l r^l P_l(\cos \theta) & r < a \\ \sum_{l=0}^{\infty} B_l r^{-l-1} P_l(\cos \theta) & r > a \end{cases}$$

根据连续性条件， $A_l a^l = B_l a^{-l-1}$ 。而径向导数不连续则有：

$$r^2 \frac{\partial u}{\partial r} \Big|_{a-0}^{a+0} = -\frac{Q}{2\pi\varepsilon_0} \delta(\theta - \frac{\pi}{2})$$

对 δ 函数进行 Legendre 展开，并且在左边代入一般解，可以得到：

$$\sum_{l=0}^{\infty} (A_l l a^{l-1} + B_l a^{-l-1} (l+1)) P_l(\cos \theta) = \frac{Q}{2\pi\varepsilon_0} \sum_{n=0}^{\infty} \frac{2l+1}{2} P_l(0) P_l(\cos \theta)$$

联立导数条件和连续条件，则有：

$$A_l = \frac{Q}{4\pi\varepsilon_0} a^{-l-1} P_l(0) \quad B_l = \frac{Q}{4\pi\varepsilon_0} a^l P_l(0)$$

代入回一般解即可。

13 柱函数

13.1 Bessel 函数与 Neumann 函数

对于 11-31 中，我们令 $x = \sqrt{k^2 - \lambda} r \neq 0, y(x) = R(r), \mu = v^2$ ，则方程变为：

$$\frac{1}{x} \frac{d}{dx} \left[x \frac{dy}{dx} \right] + \left(1 - \frac{v^2}{x^2}\right) y = 0 \quad (13-1)$$

我们称这个方程为 ν 阶 Bessel 方程。我们在之前得到了 Bessel 方程的两个解 $J_\nu(z), J_{-\nu}(z)$ 。当 ν 是整数的时候, 这两个解线性相关。我们现在利用 Wronski 行列式求第二解。在课本 148-149 页有详细地阐述。第二解的形式为:

$$N_\nu(z) = \frac{\cos \pi \nu J_\nu(z) - J_{-\nu}(z)}{\sin \pi \nu} \quad (13-2)$$

其中,

$$J_\nu(z) = \sum_{k=0}^{\infty} \frac{(-1)^k}{k! \Gamma(k + \nu + 1)} \left(\frac{z}{2}\right)^{2k+\nu} \quad (13-3)$$

下面介绍求贝塞耳方程第二解的另一种方法。为此, 先计算 $J_\nu(z)$ 和 $J_{-\nu}(z)$ 的朗斯基行列式以分析它们的线性相关性。考虑到贝塞耳方程的系数 $p(z) = 1/z$, 从 (6.31) 式就可得到

$$W[J_\nu(z), J_{-\nu}(z)] \equiv \begin{vmatrix} J_\nu(z) & J_{-\nu}(z) \\ J'_\nu(z) & J'_{-\nu}(z) \end{vmatrix} = A \exp \left[- \int^z \frac{d\zeta}{\zeta} \right] = \frac{A}{z}.$$

为了定出积分常数 A , 只需将 $J_\nu(z)$ 和 $J_{-\nu}(z)$ 的级数解 (6.41) 和 (6.43) 代入, 找出

$$W[J_\nu(z), J_{-\nu}(z)] \equiv J_\nu(z)J'_{-\nu}(z) - J_{-\nu}(z)J'_\nu(z)$$

中 z^{-1} 项的系数即可。这只来自各级数中的第一项。因此,

$$\begin{aligned} A &= \frac{1}{\Gamma(1+\nu)} \frac{1}{2^\nu} \frac{1}{\Gamma(1-\nu)} \frac{-\nu}{2^{-\nu}} - \frac{1}{\Gamma(1-\nu)} \frac{1}{2^\nu} \frac{1}{\Gamma(1+\nu)} \frac{\nu}{2^\nu} \\ &= -\frac{2\nu}{\Gamma(1+\nu)\Gamma(1-\nu)} = -\frac{2}{\Gamma(\nu)\Gamma(1-\nu)} = -\frac{2}{\pi} \sin \pi \nu. \end{aligned}$$

这样就得到

$$W[J_\nu(z), J_{-\nu}(z)] = -\frac{2}{\pi z} \sin \pi \nu. \quad (6.47)$$

上面的计算中用到了 Γ 函数的性质 (见 (8.11) 式)

$$\Gamma(\nu)\Gamma(1-\nu) = \frac{\pi}{\sin \pi \nu}.$$

(6.47) 式再次表明, 当 $\nu = n, n = 0, 1, 2, \dots$ 时 $J_\nu(z)$ 和 $J_{-\nu}(z)$ 线性相关。但是如果将贝塞耳方程的第二解取为 $J_\nu(z)$ 和 $J_{-\nu}(z)$ 的线性组合,

$$w_2(z) = c_1 J_\nu(z) + c_2 J_{-\nu}(z),$$

只要选择适当的组合系数, 使得 $W[J_\nu(z), w_2(z)]$ 对任何 ν 均不为 0, 这样的 $w_2(z)$ 就一定 (对任何 ν 均) 与 $J_\nu(z)$ 线性无关。为此, 我们就取第二解为

$$w_2(z) = \frac{cJ_\nu(z) - J_{-\nu}(z)}{\sin \pi \nu},$$

这样便有

$$W[J_\nu(z), w_2(z)] = \frac{2}{\pi z}. \quad (6.48)$$

为了保证这样定义的 $w_2(z)$ 有意义 ($\sin n\pi = 0$, 分母为 0), 并注意到 $J_{-n}(z) = (-1)^n J_n(z)$, 我们应当进一步选取系数 c , 使得 $w_2(z)$ 中的分子在 $\nu = n$ 时也为 0, 例如取 $c = \cos \pi \nu$ 即可。这样得到贝塞耳方程的第二解便是

$$N_\nu(z) = \frac{\cos \pi \nu J_\nu(z) - J_{-\nu}(z)}{\sin \pi \nu}, \quad (6.49)$$

图 6: Bessel 方程第二解

例: 计算 $\int_0^\infty e^{-ax} J_0(bx) dx \quad \text{Re } a > 0$

代入 Bessel 函数的级数形式并且逐项积分。这类问题最难的是级数求和部分。

$$\begin{aligned}
 \int_0^\infty e^{-ax} J_0(bx) dx &= \int_0^\infty e^{-ax} \sum_{k=0}^\infty \frac{(-1)^k}{k!k!} \left(\frac{bx}{2}\right)^{2k} dx \\
 &= \sum_{k=0}^\infty \frac{(-1)^k}{k!k!} \left(\frac{b}{2}\right)^{2k} \int_0^\infty e^{-ax} x^{2k} dx \\
 &= \sum_{k=0}^\infty \frac{(-1)^k}{k!k!} \left(\frac{b}{2}\right)^{2k} \frac{(2k)!}{a^{2k+1}} \\
 &= \frac{1}{a} \sum_{k=0}^\infty \frac{1}{k!} \frac{-1}{2} \frac{-3}{2} \cdots \frac{-(2k-1)}{2} \left(\frac{b}{a}\right)^{2k} \\
 &= \frac{1}{a} \left[1 + \left(\frac{b}{a}\right)^2\right]^{-\frac{1}{2}} = \frac{1}{\sqrt{a^2 + b^2}}
 \end{aligned}$$

这里最后一步按道理我们需要要求 $|b/a| < 1$ 。但实际上，这个函数在全平面解析延拓，因此我们可以扩展到全平面上。

Bessel 函数也有一些递推性质。例如：

$$\frac{d}{dz}[z^v J_v(z)] = z^v J_{v-1}(z) \quad (13-4)$$

$$\frac{d}{dz}[z^{-v} J_v(z)] = -z^{-v} J_{v+1}(z) \quad (13-5)$$

把这两个式子直接展开消元可以得到新的递推式：

$$J_{v-1}(z) - J_{v+1}(z) = J'_v(z) \quad (13-6)$$

$$J_{v-1}(z) + J_{v+1}(z) = \frac{2v}{z} J_v(z) \quad (13-7)$$

13-6 和 13-7 的意义在于**对于任意整数阶的 Bessel 函数，都可以用 0 阶和 1 阶的 Bessel 函数表示。**

Neuman 函数的递推关系完全和 13-4,13-5 形式一致。

例：计算 $\int_0^1 (1-x^2) J_0(\mu x) x dx$ ，其中 $J_0(\mu) = 0$

$$\begin{aligned}
 \int_0^1 (1-x^2) J_0(\mu x) x dx &= \frac{1}{\mu} \int_0^1 (1-x^2) \frac{d}{dx} [x J_1(\mu) x] dx \\
 &= \frac{1}{\mu} (1-x^2) x J_1(\mu x) \Big|_0^1 + \frac{2}{\mu} \int_0^1 x^2 J_1(\mu x) dx \\
 &= \frac{2}{\mu^2} x^2 J_2(\mu x) \Big|_0^1 = \frac{2}{\mu^2} J_2(\mu) = \frac{4}{\mu^3} J_1(\mu)
 \end{aligned}$$

13.2 整数阶 Bessel 函数的性质

我们来看 Bessel 函数的生成方程：

$$\exp\left[\frac{z}{2}\left(t - \frac{1}{t}\right)\right] = \sum_{n=-\infty}^{\infty} J_n(z) t^n \quad 0 < |t| < \infty \quad (13-8)$$

如果令 $t = ie^{i\theta}$ ，就可继续推导出：

$$e^{iz \cos \theta} = J_0(z) + 2 \sum_{n=1}^{\infty} i^n J_n(z) \cos n\theta \quad (13-9)$$

如果令 $t = e^{i\theta}$, 就可继续推导出:

$$e^{iz \sin \theta} = \sum_{-\infty}^{\infty} J_n(z) e^{in\theta} \quad (13-10)$$

这便是 $e^{iz \sin \theta}$ 的 Fourier 展开。根据系数计算公式可得到:

$$\begin{aligned} J_n(z) &= \frac{1}{2\pi} \int_{-\pi}^{\pi} e^{iz \sin \theta} e^{-in\theta} d\theta \\ &= \frac{1}{2\pi} \int_{-\pi}^{\pi} e^{iz \sin \theta} [\cos(z \sin \theta - n\theta) + i \sin(z \sin \theta - n\theta)] d\theta \end{aligned}$$

而在有段被积函数中虚部是奇函数, 积分为 0, 实部是偶函数。因此我们得到 Bessel 函数的积分形式。

$$J_n(z) = \frac{1}{\pi} \int_0^{\pi} e^{iz \sin \theta} \cos(z \sin \theta - n\theta) d\theta \quad (13-11)$$

这个办法使我们摆脱了先前计算积分的时候代入 Bessel 函数级数形式最后求和的精巧性。我们只需要代入积分形式, 使用留数定理即可。我们重新计算第一个例题的积分。

$$\begin{aligned} \int_0^{\infty} e^{-ax} J_0(bx) dx &= \int_0^{\infty} e^{-ax} \left[\frac{1}{2\pi} \int_{-\pi}^{\pi} e^{ibx \sin \theta} d\theta \right] dx \\ &= \frac{1}{2\pi} \int_{-\pi}^{\pi} d\theta \int_0^{\infty} e^{-(a-ib \sin \theta)x} dx \\ &= \frac{1}{2\pi} \int_{-\pi}^{\pi} \frac{d\theta}{a - ib \sin \theta} \\ &= \frac{1}{2\pi i} \oint_{|z|=1} \frac{2dz}{-bz^2 + 2az + b} \end{aligned}$$

13.3 柱函数, Hankel 函数

我们之前说, Bessel 函数和 Neuman 函数都满足 13-4, 13-5 的递推性质。那么我们现在定义: 满足 13-4, 13-5 的函数就叫做**柱函数**。Bessel 函数和 Neuman 函数称作**第一类柱函数**和**第二类柱函数**。而**柱函数一定是 Bessel 方程的解**。那么它们的线性组合 Hankel 函数是否是柱函数?

在介绍 Hankel 函数前, 我们先引入一些物理背景。由于 Bessel 函数和 Neuman 函数的渐进展开有:

$$\begin{aligned} J_v(z) &\sim \sqrt{\frac{2}{\pi z}} \cos\left(z - \frac{v\pi}{2} - \frac{\pi}{4}\right) \\ N_v(z) &\sim \sqrt{\frac{2}{\pi z}} \sin\left(z - \frac{v\pi}{2} - \frac{\pi}{4}\right) \end{aligned}$$

它们描述的柱面波既有发散波也有汇聚波。因此我们做线性组合, 定义:

$$\begin{aligned} H_v^{(1)}(z) &\equiv J_v(z) + iN_v(z) \sim \sqrt{\frac{2}{\pi z}} \exp\left[i\left(z - \frac{v\pi}{2} - \frac{\pi}{4}\right)\right] \\ H_v^{(2)}(z) &\equiv J_v(z) - iN_v(z) \sim \sqrt{\frac{2}{\pi z}} \exp\left[-i\left(z - \frac{v\pi}{2} - \frac{\pi}{4}\right)\right] \end{aligned}$$

被称为 Hankel 函数。Hankel 函数是第三类柱函数。如果配上相应的时间因子 $e^{-i\omega t}$ 。那么第一种 Hankel 函数代表的是发散波, 第二种 Hankel 函数代表的是会聚波。

13.4 Bessel 函数的应用

例：求四周固定圆形薄膜的固有频率。

注意这个题没有给出初始条件，因此不能得到与角度无关的结论。去平面极坐标系，薄膜中心就是极点，可以得到偏微分方程和边界条件：

$$\begin{aligned} \frac{\partial^2 u}{\partial t^2} - c^2 \left[\frac{1}{r} \frac{\partial}{\partial r} \left(r \frac{\partial u}{\partial r} \right) + \frac{1}{r^2} \frac{\partial^2 u}{\partial \phi^2} \right] &= 0 \\ u|_{r=0} \text{ 有界} \quad u|_{r=a} &= 0 \\ u|_{\phi=0} = u|_{\phi=2\pi} \quad \frac{\partial u}{\partial \phi} \Big|_{\phi=0} &= \frac{\partial u}{\partial \phi} \Big|_{\phi=2\pi} \end{aligned}$$

图 7: 四周固定圆形薄膜

现在的要求就是，寻找合适的 w ，使得 $u(r, \phi, t) = v(r, \phi)e^{iwt}$ 满足上述的偏微分方程和边界条件。代入后，后两行格式不变，第一行的偏微分方程变为：

$$\frac{1}{r} \frac{\partial}{\partial r} \left(r \frac{\partial v}{\partial r} \right) + \frac{1}{r^2} \frac{\partial^2 v}{\partial \phi^2} + k^2 v = 0 \quad (k = w/c)$$

然后分离变量可以得到：

$$\begin{aligned} \Phi'' + \mu \Phi &= 0 \\ \frac{1}{r} \frac{d}{dr} \left[r \frac{dR}{dr} \right] + \left(k^2 - \frac{\mu}{r^2} \right) R &= 0 \end{aligned}$$

再根据 $\Phi(0) = \Phi(2\pi), \Phi'(0) = \Phi'(2\pi)$ 可得： $\mu_m = m^2$ 。对第二个方程，通解为：

$$R_r = C J_m(kr) + D N_m(kr)$$

根据 $R(0)$ 有界， $D=0$ 。 $R(a) = 0$ ，则有 $J_m(ka) = 0$ 。因此本征值 $k_{mi}^2 = (\mu_i^{(m)}/a)^2$ ，本征函数 $R_{mi}(r) = J_m(k_{mi}r)$

因此圆环的频率为：

$$w = \frac{\mu_i^{(m)}}{a} c$$

$\mu_i^{(m)}$ 是 m 阶 Bessel 函数的第 i 个正零点。当 $v > -1, v \in \mathbb{Z}$ 时，Bessel 函数的零点无穷多且都是实数，对称的分布在实轴上。

我们接下来说 Bessel 方程具有正交归一性和完备性。证明的过程可以参考书本。我们这里直接给出结论：

$$\begin{aligned} \int_0^a J_m(k_{mi}r) J_m(k_{mj}r) r dr &= 0 \\ \int_0^a J_m(k_{mi}r) J_m(k_{mj}r) r dr &= \frac{a^2}{2} [J'_m(k_{mi}a)]^2 \end{aligned} \quad (13-12)$$

例：圆柱体冷却问题。有一个无限长的圆柱体，半径为 a ，选择柱坐标系。柱体表面温度维持为 0，初温为 $u_0 f(r)$ ，求温度分布。

温度与 ϕ, z 无关。因此令 $u(r, t)$ 由条件可知， u 在 r 为 0 有界，在 a 温度为 0，并且初温已知。偏微分方程为：

$$\frac{\partial u}{\partial t} - \frac{\kappa}{r} \frac{\partial}{\partial r} \left(r \frac{\partial u}{\partial r} \right) = 0$$

叠加出的一般解为：

$$u(r; t) = \sum_0^{\infty} c_i J_0(\mu_i \frac{r}{a}) \exp[-\kappa(\frac{\mu_i}{a})^2 t]$$

$$c_i = \frac{2u_0}{a^2 J_1^2(\mu_i)} \int_0^a f(r) J_0(\mu_i \frac{r}{a}) r dr \quad (13-13)$$

13.5 虚宗量 Bessel 方程与半奇数阶 Bessel 方程

对于一个圆柱体内柱坐标的 Laplace 边值问题，分离变量会得到：

$$\begin{aligned} \Phi''(\phi) + \mu \Phi(\phi) &= 0 \\ \Phi(0) &= \Phi(2\pi) \quad \Phi'(0) = \Phi'(2\pi) \end{aligned}$$

$$\begin{aligned} Z''(z) + \lambda Z(z) &= 0 \\ Z(0) &= 0 \quad Z(h) = 0 \end{aligned}$$

$$\frac{1}{r} \frac{d}{dr} \left(r \frac{dR}{dr} \right) + \left(-\lambda - \frac{\mu}{r^2} \right) R = 0$$

图 8: 圆柱 Laplace 边值问题

我们可以得到 $\mu_m = m^2, \lambda_n = (\frac{n\pi}{h})^2$, $Z_n = \sin \frac{n\pi}{h} z$ ，因此第三个方程变为：

$$\frac{1}{r} \frac{d}{dr} \left(r \frac{dR}{dr} \right) + \left(-\frac{n\pi^2}{h^2} - \frac{m^2}{r^2} \right) R = 0$$

我们做变换 $x = (n\pi/h)r, y(x) = R(r)$ ，再做变换 $z = ix, w(z) = y(x)$ ，这个方程写为：

$$\frac{1}{z} \frac{d}{dz} \left(z \frac{dw}{dz} \right) + \left(1 - \frac{m^2}{z^2} \right) w = 0$$

这个 Bessel 方程的解为： $w(z) = C J_m(z) + D N_m(z)$ ，还原回原方程就是：

$$R(r) = C J_m\left(\frac{in\pi}{h} r\right) + D N_m\left(\frac{in\pi}{h} r\right)$$

我们得到了以纯虚数为宗量的柱函数。我们定义：

$$I_v(z) = e^{-i\pi v/2} J_v(xe^{i\pi/2}) = \sum_{k=0}^{\infty} \frac{1}{k! \Gamma(k+v+1)} \left(\frac{x}{2}\right)^{2k+v} \quad (13-14)$$

称为第一虚宗量 Bessel 函数。方程：

$$\frac{1}{x} \frac{d}{dx} \left(x \frac{dy}{dx} \right) + \left(-1 - \frac{v^2}{x^2} \right) y = 0 \quad (13-15)$$

称作虚宗量 Bessel 方程。它的解就是虚宗量 Bessel 函数。当 $v \in \mathbb{Z}$ 时, $I_{\pm} v(z)$ 是线性相关的。否则线性无关。它的第二解形式如下：

$$K_v(x) = \frac{\pi}{2 \sin v\pi} [I_{-v}(x) - I_v(x)] \quad (13-16)$$

当 $x \rightarrow 0$ 时, $I_v(x)$ 有界 $K_v(x)$ 无界。当 $x \rightarrow \infty$ 时, $I_v(x) \sim \sqrt{\frac{1}{2\pi x}} e^x$ 而 $K_v(x) \sim \sqrt{\frac{\pi}{2x}} e^{-x}$, 实际问题可根据这些挑选需要的解。

对于半奇数阶的 Bessel 方程, 根据递推关系我们可以得到：

$$\begin{aligned} J_{1/2}(z) &= \sqrt{\frac{2}{\pi z}} \sin z \\ J_{-1/2}(z) &= \sqrt{\frac{2}{\pi}} \frac{\cos z}{z} \end{aligned} \quad (13-17)$$

它们都是初等函数。继续利用递推关系求更高阶的 Bessel 方程：

$$\begin{aligned} z^{-n+\frac{1}{2}} J_{-n+\frac{1}{2}}(z) &= \left(\frac{1}{z} \frac{d}{dz} \right)^n \sqrt{\frac{2}{\pi}} \sin z \\ z^{-n-\frac{1}{2}} J_{n+\frac{1}{2}}(z) &= \left(-\frac{1}{z} \frac{d}{dz} \right)^n \sqrt{\frac{2}{\pi}} \sin z \end{aligned} \quad (13-18)$$

半奇数阶 Neuman 函数定义为：

$$\begin{aligned} N_{n+\frac{1}{2}}(x) &= \frac{\cos(n+1/2)\pi \cdot J_{n+1/2}(x) - J_{-n-1/2}(x)}{\sin(n+1/2)\pi} \\ &= (-1)^{n+1} J_{-(n+1/2)}(x) \end{aligned} \quad (13-19)$$

13.6 球 Bessel 函数

我们在球坐标的 Helmholtz 方程分离变量可以得到：

$$\frac{1}{r^2} \frac{d}{dr} \left[r^2 \frac{dR}{dr} \right] + \left(k^2 - \frac{\lambda}{r^2} \right) R = 0$$

其中, $\lambda_l = l(l+1)$, 当 $k=0$ 的时候, 我们讨论过两个解为 r^l 与 r^{-l-1} 。当 k 不为 0 呢? 做 $x = kr$ 与 $y(x) = R(r)$ 变换得到球 Bessel 方程：

$$\frac{1}{x^2} \frac{d}{dx} \left[x^2 \frac{dy}{dx} \right] + \left(1 - \frac{l(l+1)}{x^2} \right) y = 0 \quad (13-20)$$

做变换 $w(z) = v(z)/\sqrt{z}$, 13-20 化成 Bessel 方程：

$$\frac{1}{z} \frac{d}{dz} \left[z \frac{dv}{dz} \right] + \left(1 - \frac{(l+1/2)^2}{z^2} \right) v = 0$$

这是 $(l+1/2)$ 的 Bessel 方程。线性无关解为 $J_{l+1/2}(z)$ 与 $N_{l+1/2}(z)$ 。我们定义 $j_l(z) = \sqrt{\frac{\pi}{2z}} J_{l+1/2}(z)$, $n_l(z) = \sqrt{\frac{\pi}{2z}} N_{l+1/2}(z)$

14 分离变量法总结

14.1 内积空间与函数空间

我们在线性代数中,学习过内积空间的定义。对于实 n 维空间矢量的内积,我们定义:在选定一组基 $\{\mathbf{e}_i, i = 1, 2, \dots, n\}$, 空间任意一个矢量 \mathbf{x} 都可以用这一组基表示:

$$\mathbf{x} = \sum_{i=1}^n x_i \mathbf{e}_i$$

对于两个矢量 \mathbf{x}, \mathbf{y} 定义内积:

$$(\mathbf{x}, \mathbf{y}) = \sum_{i=1}^n x_i y_i$$

内积的结果是一个实数。当两向量相同时,内积不小于 0。且当它们均为零向量时内积为 0。因此我们定义矢量长度 $\|\mathbf{x}\| = (\mathbf{x}, \mathbf{x})^{1/2}$

当我们讨论的空间变成复空间时,为了使得矢量长度仍然是一个实数,我们修改内积的定义:

$$(\mathbf{x}, \mathbf{y}) = \sum_{i=1}^n x_i^* y_i$$

其中 x_i^* 是 x_i 的复共轭。然而这样矢量的内积仍然取决于基的选取和空间的性质。因此我们需要概括出抽象化的**内积公理**: (定义在实数域或复数域 K 上的) 矢量空间中矢量 \mathbf{x}, \mathbf{y} 的内积是它们的**标量值函数**, 满足: $(\mathbf{x}, \mathbf{y}) = (\mathbf{y}, \mathbf{x})^*, (\alpha\mathbf{x} + \beta\mathbf{y}, \mathbf{z}) = \alpha(\mathbf{x}, \mathbf{z}) + \beta(\mathbf{y}, \mathbf{z})$ 。自身与自身内积不小于 0, 且只有零向量内积为 0。此时我们把矢量长度叫做矢量的**模**。定义了内积的矢量空间叫做内积空间。内积空间中实空间为欧几里得空间, 复空间称作酉空间。

正交的含义是: 两矢量内积为 0。若对任意的 i, j , 都有:

$$(\mathbf{x}_i, \mathbf{x}_j) = \delta_{ij}$$

称矢量组 $\mathbf{x}_1, \mathbf{x}_2, \dots$ 正交归一。 n 维空间任意 n 个正交归一的矢量都可以做这个空间的基, 称作正交归一基。而一组正交归一的矢量(正交归一矢量集)不被包含在一个更大的正交归一矢量集中, 称这个正交归一矢量集是完备的。

函数空间是一种特殊的矢量空间, 元素是**复值平方可积函数** ($\int_a^b |f(x)|^2 dx$ 存在), 则我们可以定义加法, 数乘, 内积:

$$(f_1 + f_2)(x) = f_1(x) + f_2(x)$$

$$(\alpha f)(x) = \alpha f(x)$$

$$(f_1, f_2) = \int_a^b f_1^* f_2 dx$$

我们可以证明平方可积函数空间是封闭的。这也是上式成立的基本前提。同时根据内积我们可以定义函数的长度。同理, 我们可定义函数的正交归一性和完备性。因此我们在一个空间中可以把函数用一个正交归一集表示(这里面的函数可以有限, 也可以无限):

$$\begin{aligned} f(x) &= \sum_{i=1} c_i f_i(x) \\ c_i &= \int_a^b f(x) f_i^*(x) dx = (f_i, f) \end{aligned} \quad (14-1)$$

我们继续定义：设 L, M 是定义在一定函数空间内的（微分）算符，对任意空间内的两个函数 u, v 都有：

$$(v, Lu) = (Mv, u)$$

称 M 是 L 的**伴算符**。容易证明：这种伴算符作用是相互的。我们举例：对于算符 L 一阶微分，因为：

$$\int_a^b v^* u' dx = v^* u \Big|_a^b + \int_b^a (-v^*)' u dx$$

因此当两个函数都满足**边界条件** $y(a) = y(b)$ 时，伴算符是负一阶导数。我们可以发现：这种伴算符前提是建立在一定的条件上的。而二阶微分的伴算符是它本身，称作**自伴算符**。而这要满足什么条件呢？

$$\begin{aligned} \int_a^b u^* v'' dx &= u^* v' - u^{*'} v \Big|_a^b + \int_a^b u^{*''} v dx \\ u^* v' - u^{*'} v \Big|_a^b &= 0 \\ y(a) = y(b) \quad y(a)' &= y(b)' \end{aligned} \tag{14-2}$$

对于**自伴算符** L ，自伴算符的本征值问题是指：方程

$$Ly(x) = \lambda y(x)$$

自伴算符本征值一定存在。且容易证明本征值一定是实数。本征函数一定具有正交性。下面证明：

$$\begin{aligned} Ly_i &= \lambda_i y_i & Ly_j &= \lambda_j y_j \\ \int_a^b [y_i^* Ly_j - (Ly_i)^* y_j] dx &= (\lambda_i - \lambda_j) \int_a^b y_i^* y_j dx \end{aligned}$$

本征函数是齐次微分方程在齐次边界条件下的解，本征函数乘一个非 0 因子仍然是本征函数。我们可以调节本征函数使其正交归一。即就是：

$$\begin{aligned} f(x) &= \sum_{i=1} c_i y_i(x) \\ c_i &= \frac{\int_a^b f(x) y_n(x)^* dx}{\int_a^b y_n(x) y_n(x)^* dx} \end{aligned} \tag{14-3}$$

14.2 Sturm-Liouville 型方程的本征值问题

会议之前我们谈论几个方程的本征值问题：

$$X'' + \lambda X = 0$$

$$\frac{d}{dx} \left[(1-x^2) \frac{dy}{dx} \right] + \left[\lambda - \frac{m^2}{1-x^2} \right] y = 0$$

$$\frac{1}{r} \frac{d}{dr} \left[r \frac{dR}{dr} \right] + \left(\lambda - \frac{m^2}{r^2} \right) R = 0$$

它们的一般形式可以写作:

$$\frac{d}{dx} \left[p(x) \frac{dy}{dx} \right] + [\lambda \rho(x) - q(x)] y = 0 \quad (14-4)$$

称作 **Sturm-Liouville 型方程**。其中它们都是实函数。 $\rho(x)$ 为权重函数。当权重函数不是常数时, 若我们定义微分算符 $\mathbf{L} \equiv -\frac{d}{dx} [p(x) \frac{d}{dx}] + q(x)$, 则 14-4 可以写作:

$$\mathbf{L}y(x) = \lambda \rho(x)y(x)$$

因此我们令 $\mathbf{L}' \equiv \frac{\mathbf{L}}{\rho(x)}$, 则方程形式为:

$$\mathbf{L}'y(x) = \lambda y(x) \quad (14-5)$$

我们采用新的内积定义:

$$(y_1, y_2)_\rho = \int_a^b y_1(x)^* y_2(x) \rho(x) dx$$

则可以说明, $(y_1, L'y_2)_\rho = (y_1, Ly_2), (L'y_1, y_2)_\rho = (Ly_1, y_2)$, 附加的边界条件为:

$$p(x)(y_1^* y_2' - y_2 y_1'^*)|_a^b = 0 \quad (14-6)$$

得到: $(y_1, Ly_2) = (Ly_1, y_2)$, 进一步 $(y_1, L'y_2) = (L'y_1, y_2)$, 因此算符 \mathbf{L}' 是自伴算符。

我们介绍定理: 若 S—L 方程的本征值问题的本征函数是复的, 且其实部和虚部线性无关, 则本征值问题二重简并。

我们介绍定理: 若 y_1, y_2 是 S——L 本征值问题两个实的线性无关的本征函数, 并且边界条件 14-6 在端点值为 0, 则它们不可能对应同一个本征值。